

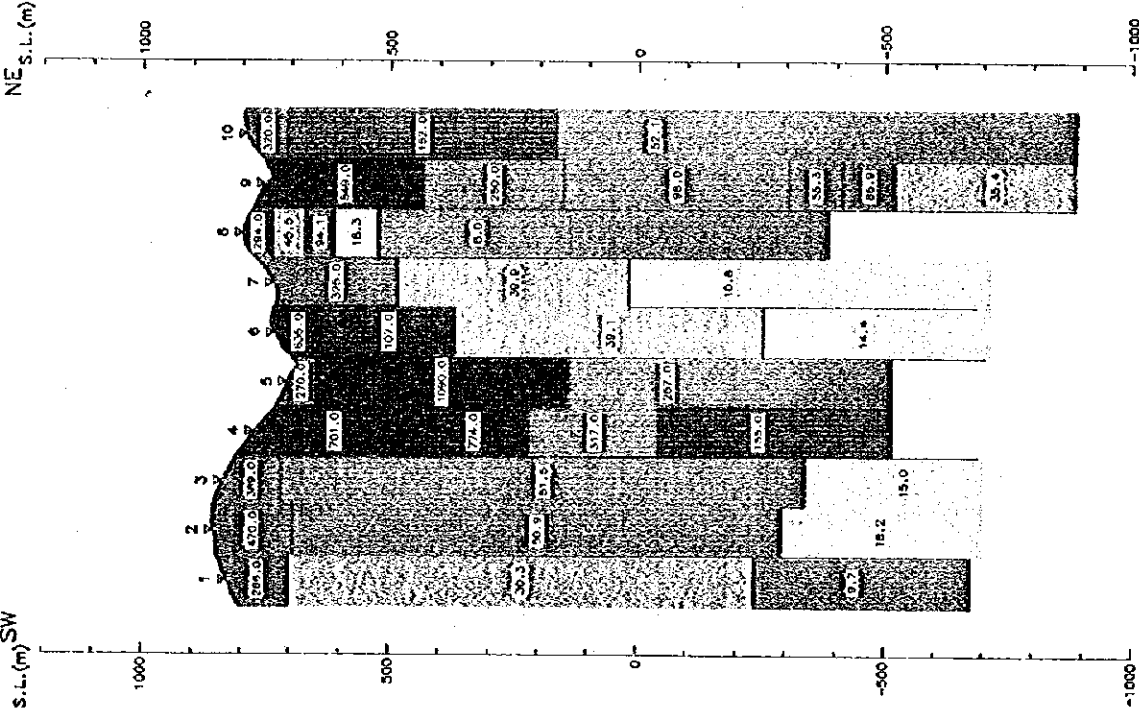


①

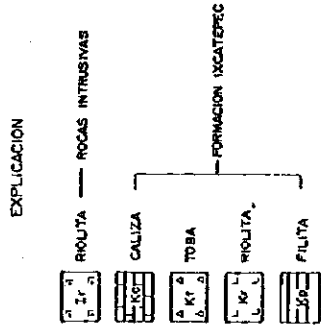
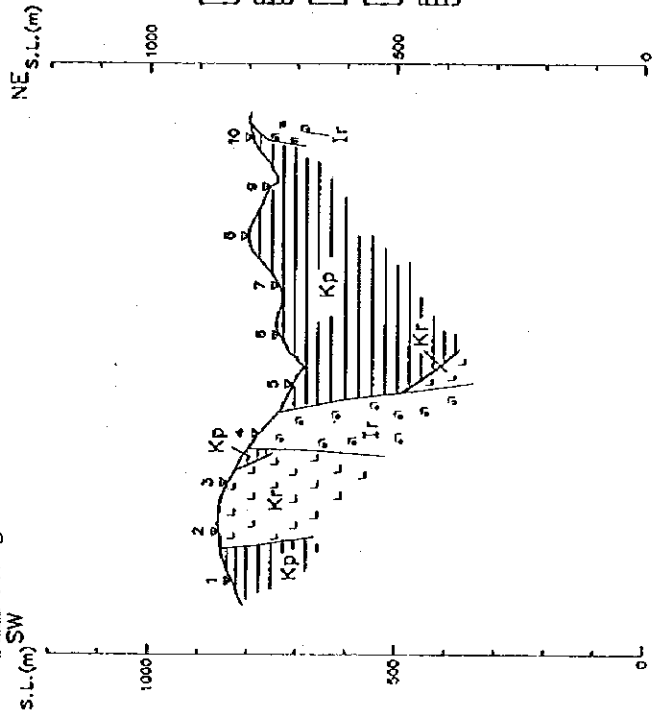
②

③

Seccion de Analisis de Estructura de Uno dimension



Perfil Geologico



Seudo seccion de Resistividad Aparente

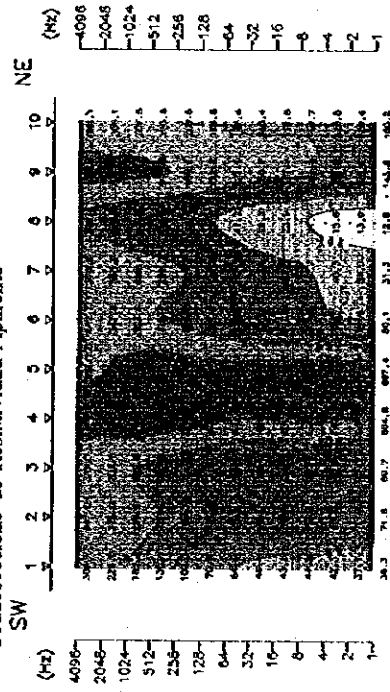


Fig.II-4-27 SECCION DE ESTRUCTURA RESISTIVIDAD (LINEA L)

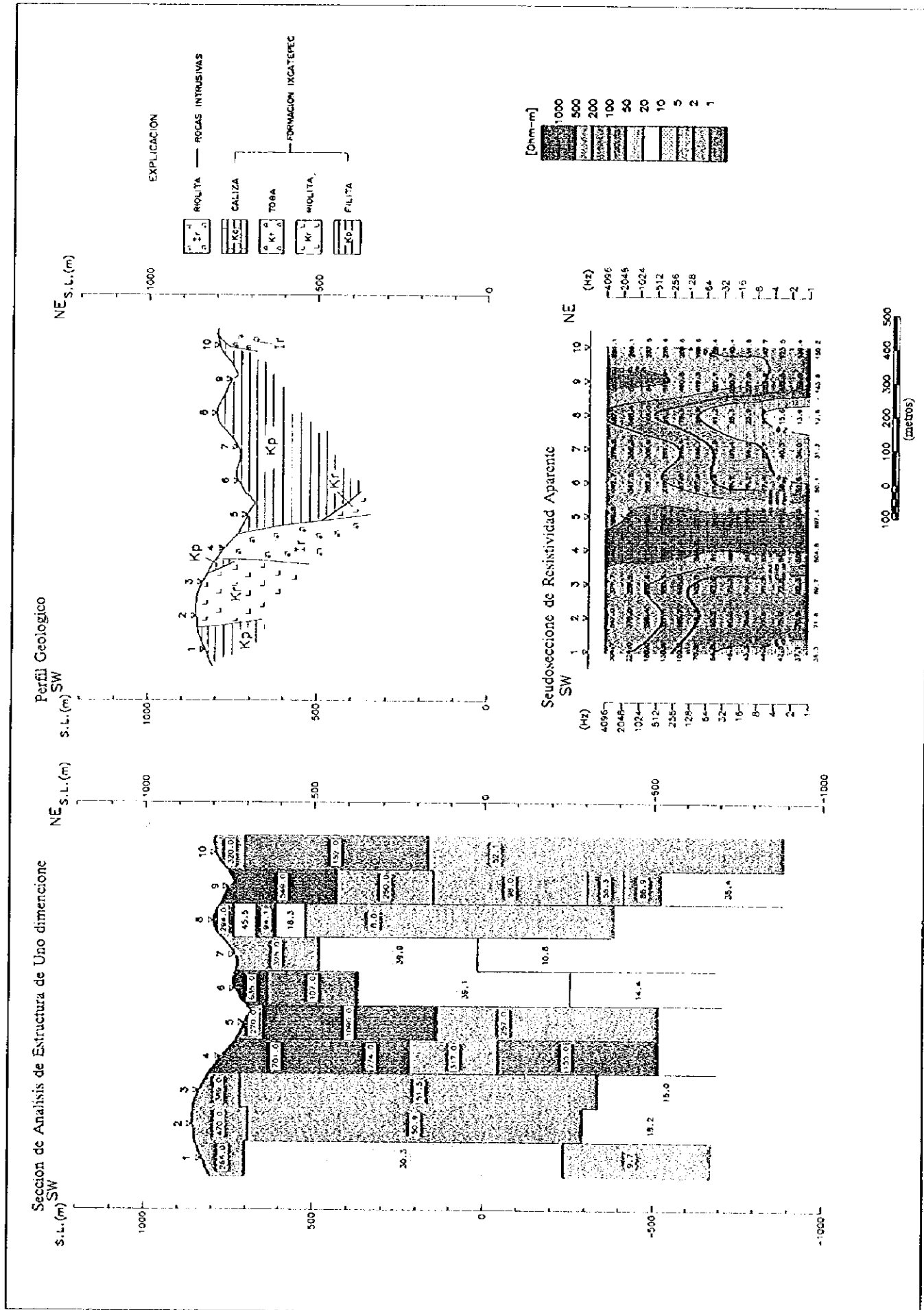


Fig.II-4-27 SECCION DE ESTRUCTURA RESISTIVIDAD (LINEA L)

0

0

0

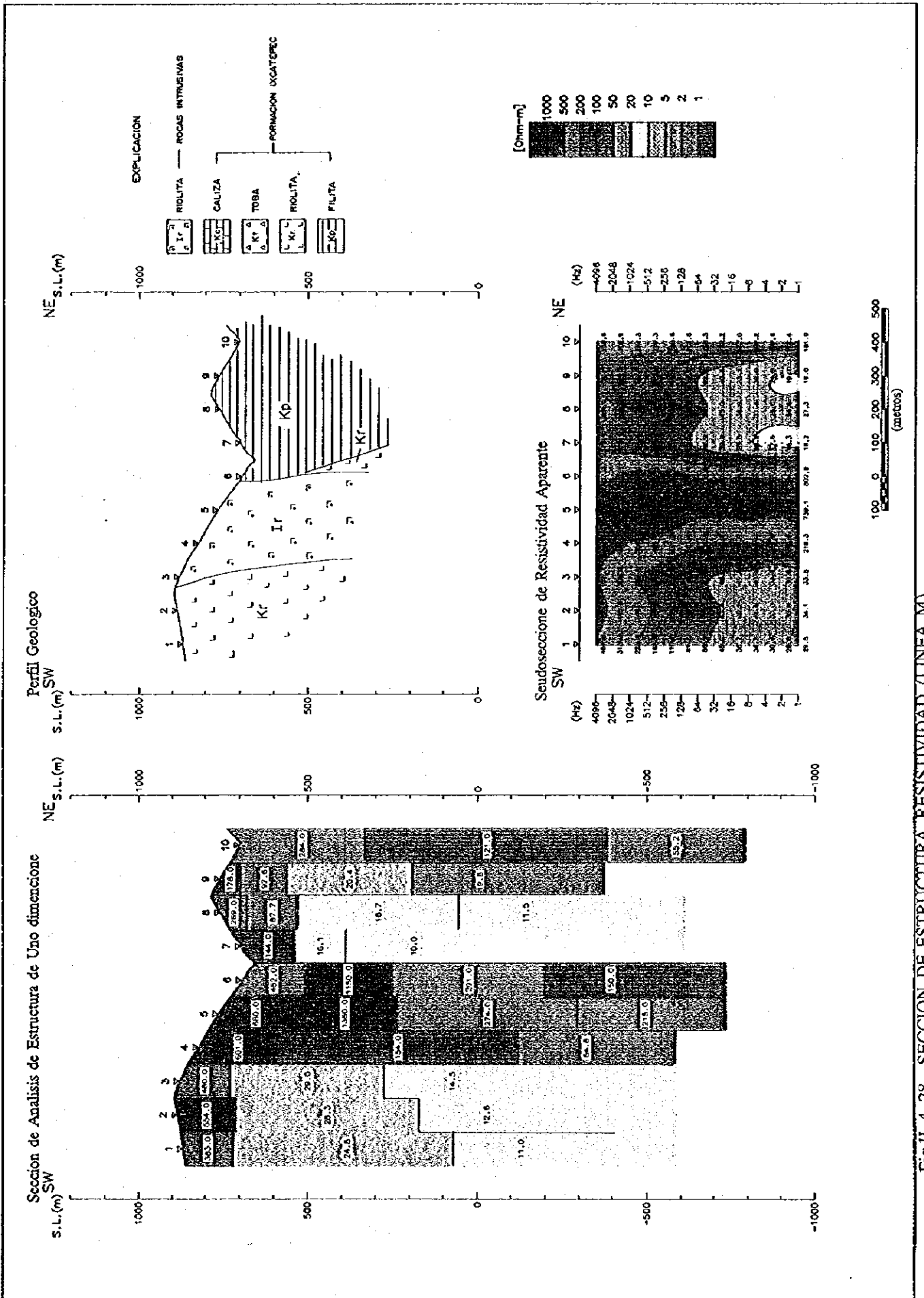
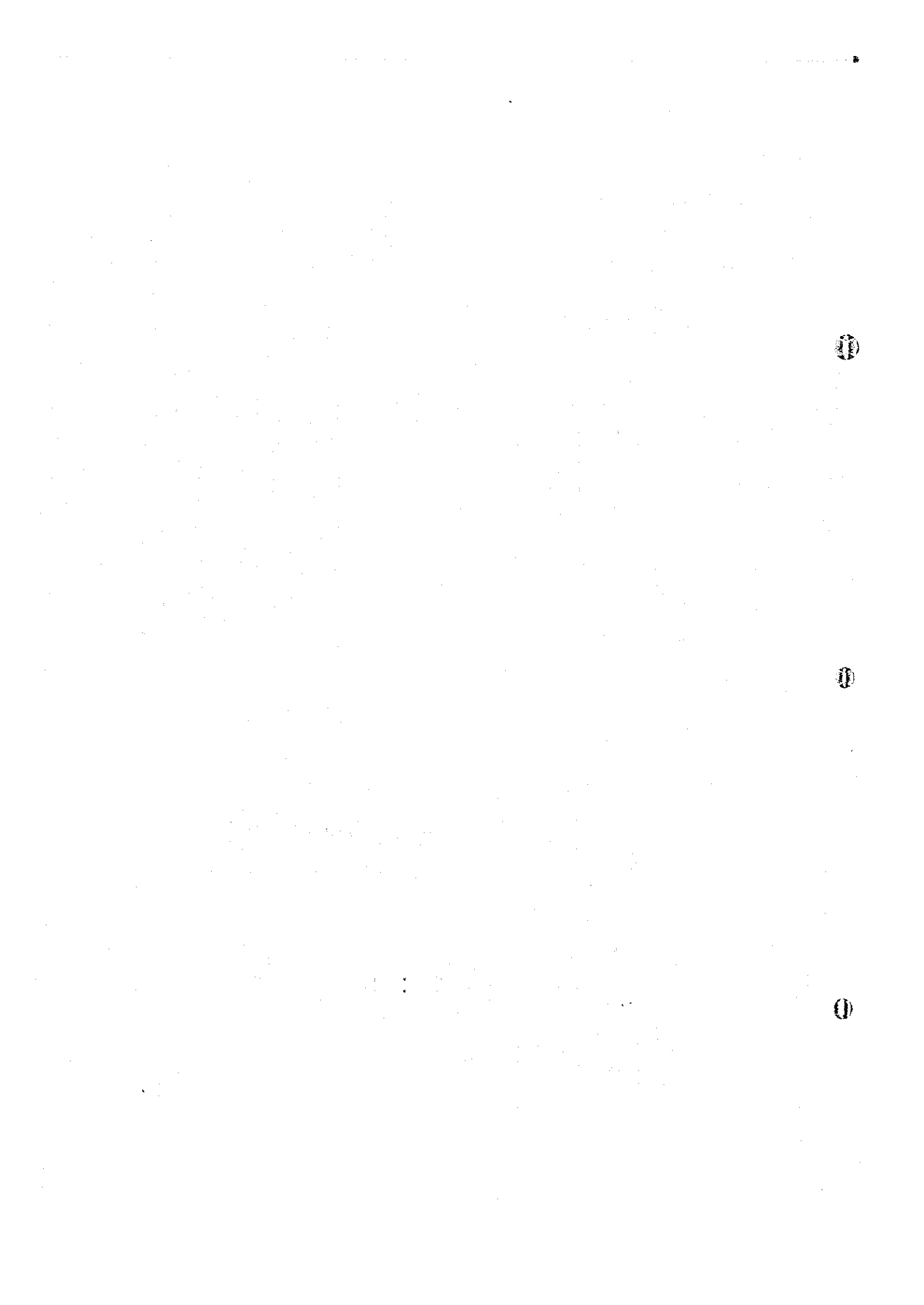


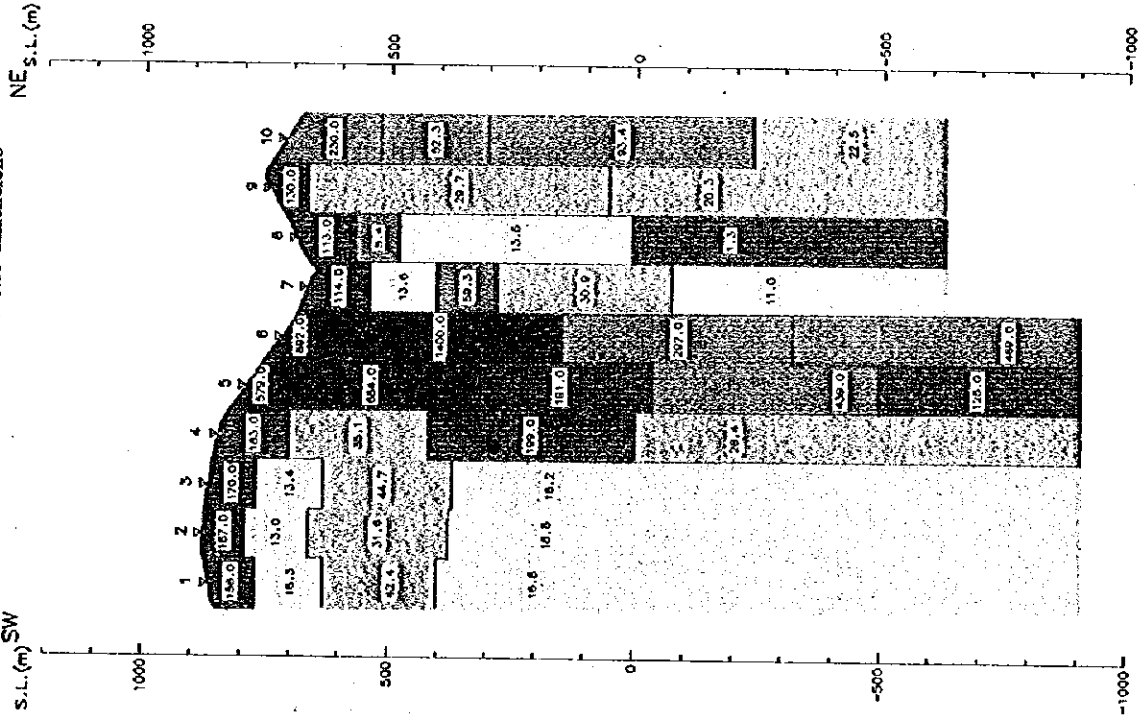
Fig.II-4-28 SECCION DE ESTRUCTURA RESISTIVIDAD (LINEA M)







Sección de Análisis de Estructura de Uso dimencione



Perfil Geológico

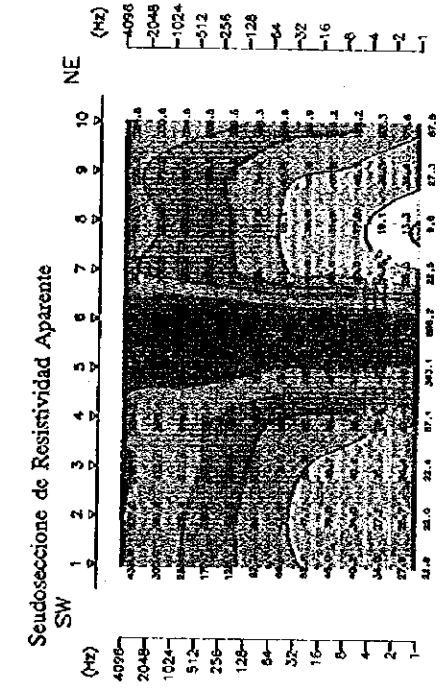
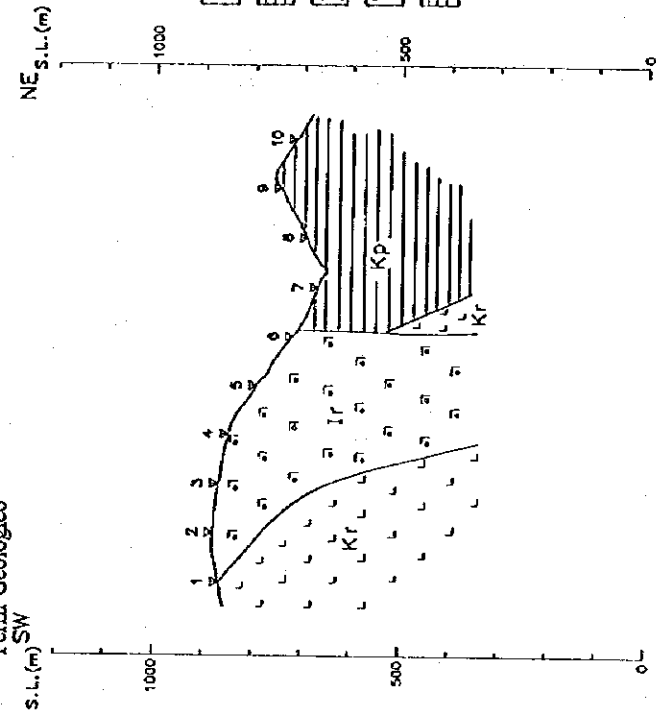


Fig.II-4-29 SECCION DE ESTRUCTURA RESISTIVIDAD (LINEA N)

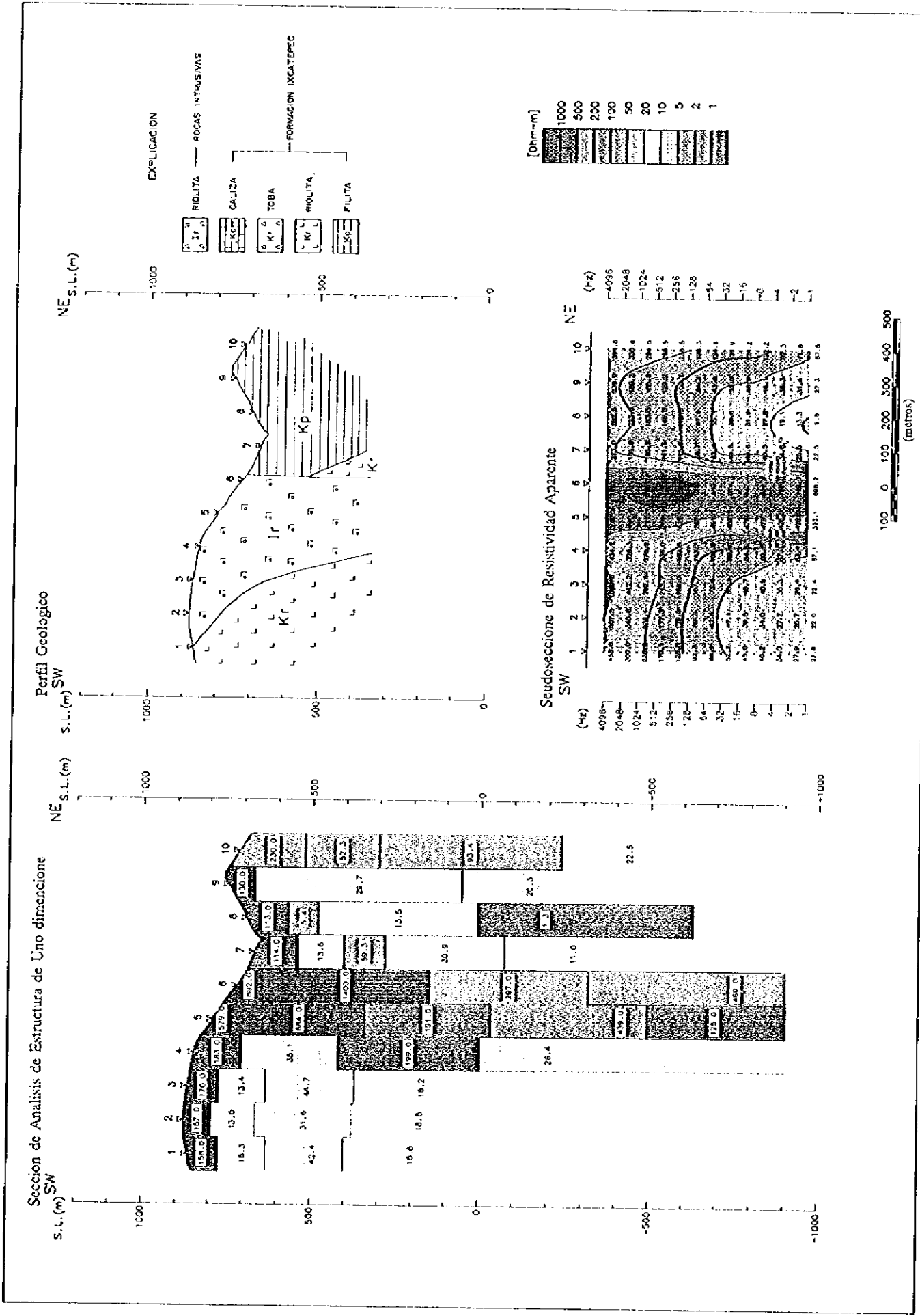


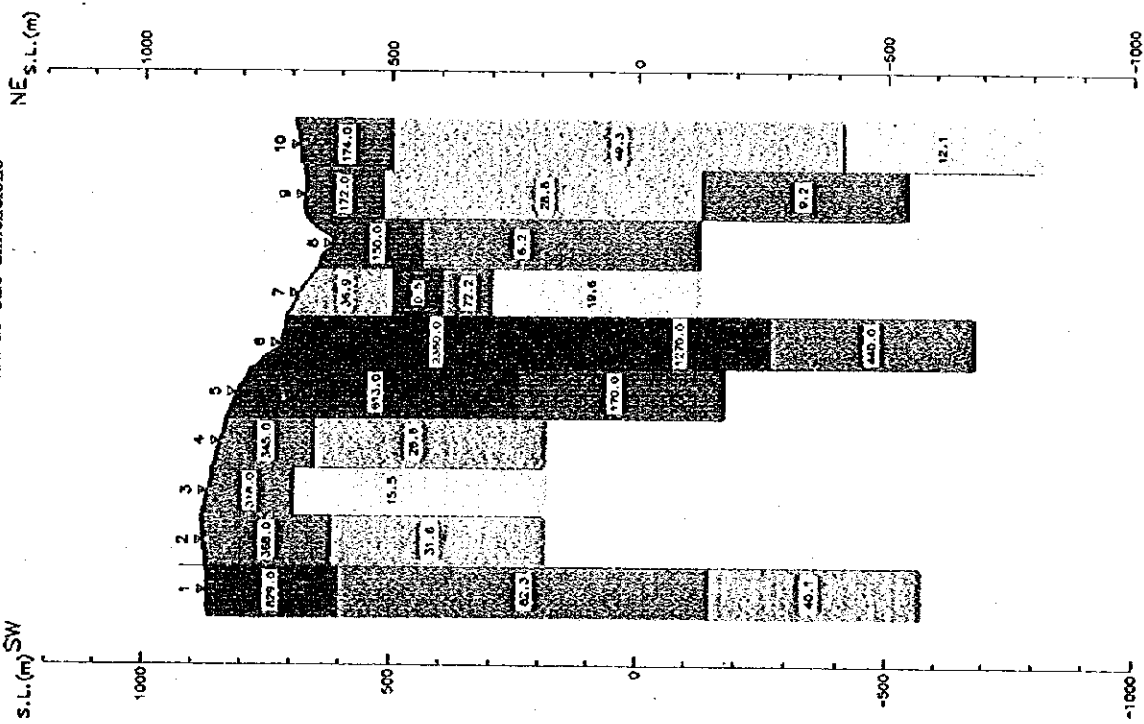
FIG.II-4-29 SECCION DE ESTRUCTURA RESISTIVIDAD (LINEA N)

0

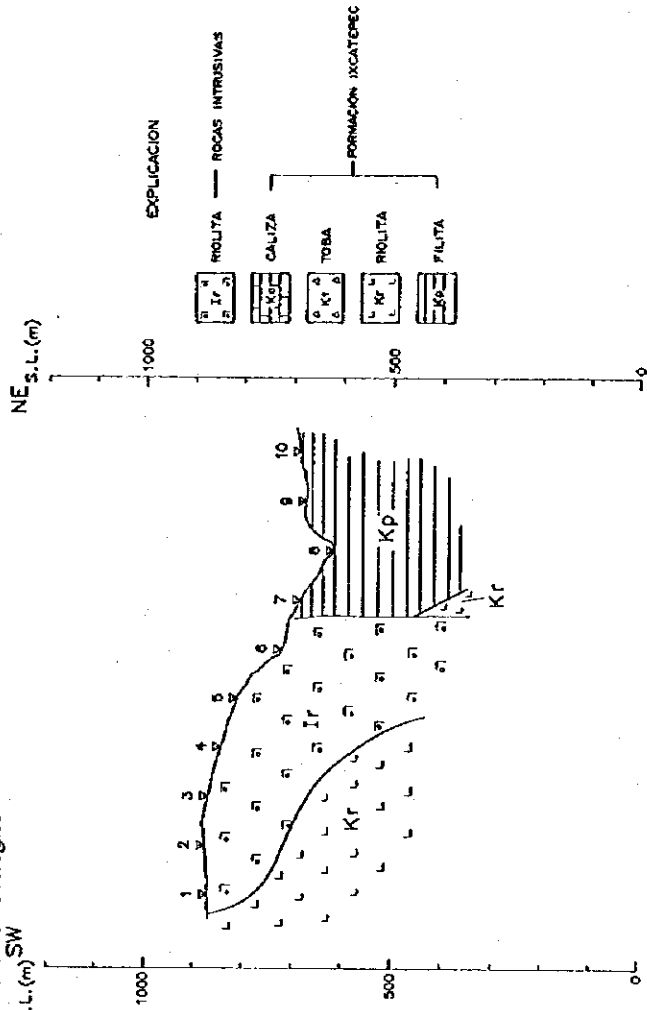
0

0

Seccion de Analisis de Estructura de Uno dimension



Perfil Geologico



Seudoseccion de Resistividad Aparente

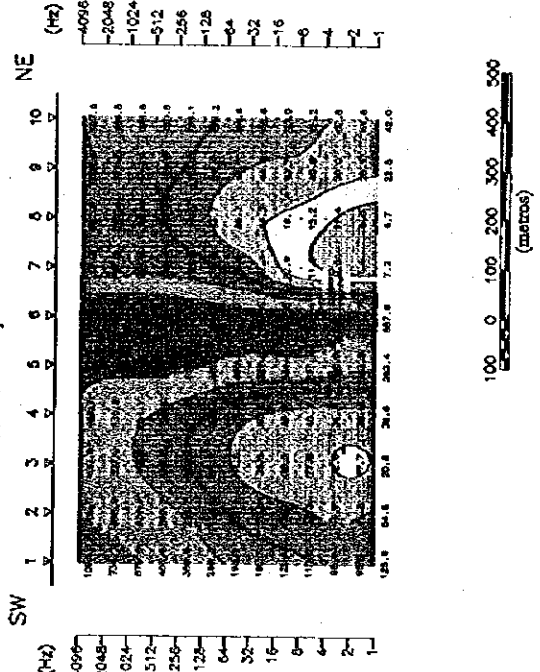


Fig.II-4-30 SECCION DE ESTRUCTURA RESISTIVIDAD (LINEA O)

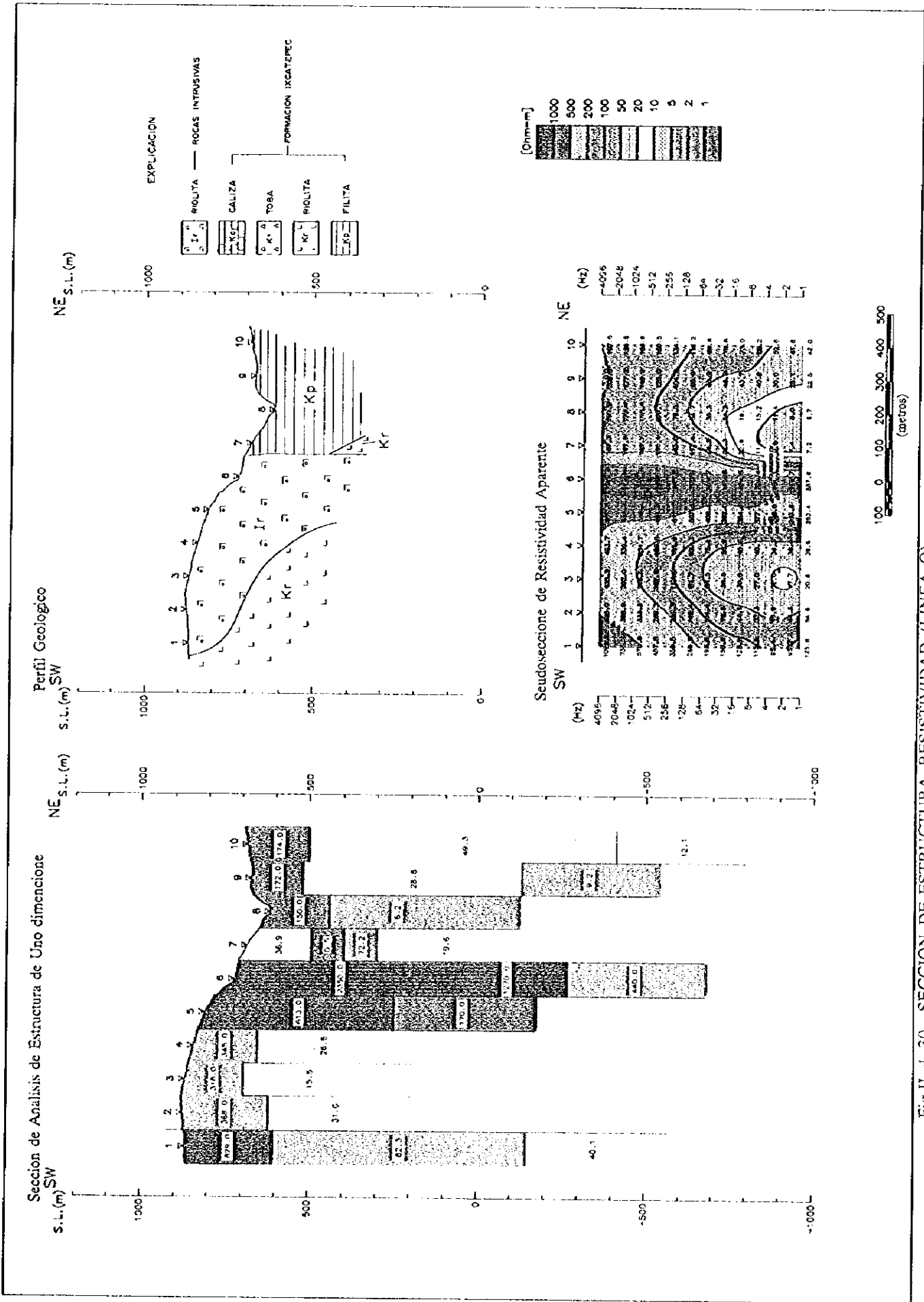


Fig.II-4-30 SECCION DE ESTRUCTURA RESISTIVIDAD (LINEA O)

0

0

0

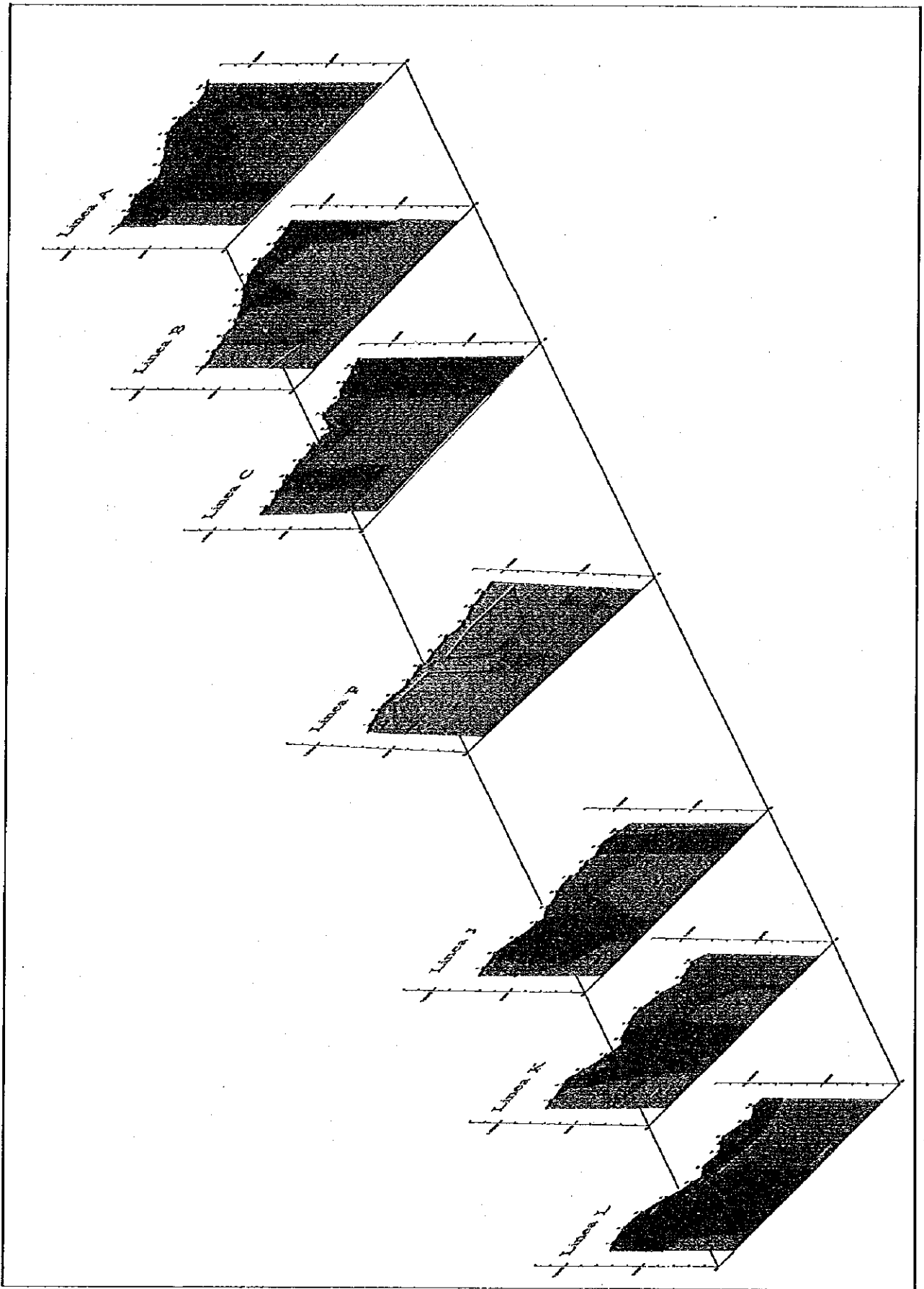


Fig.II-4-31 DIAGRAMA PANEL DE ESTRUCTURA RESISTIVIDAD DE DOS DEMENSIONES

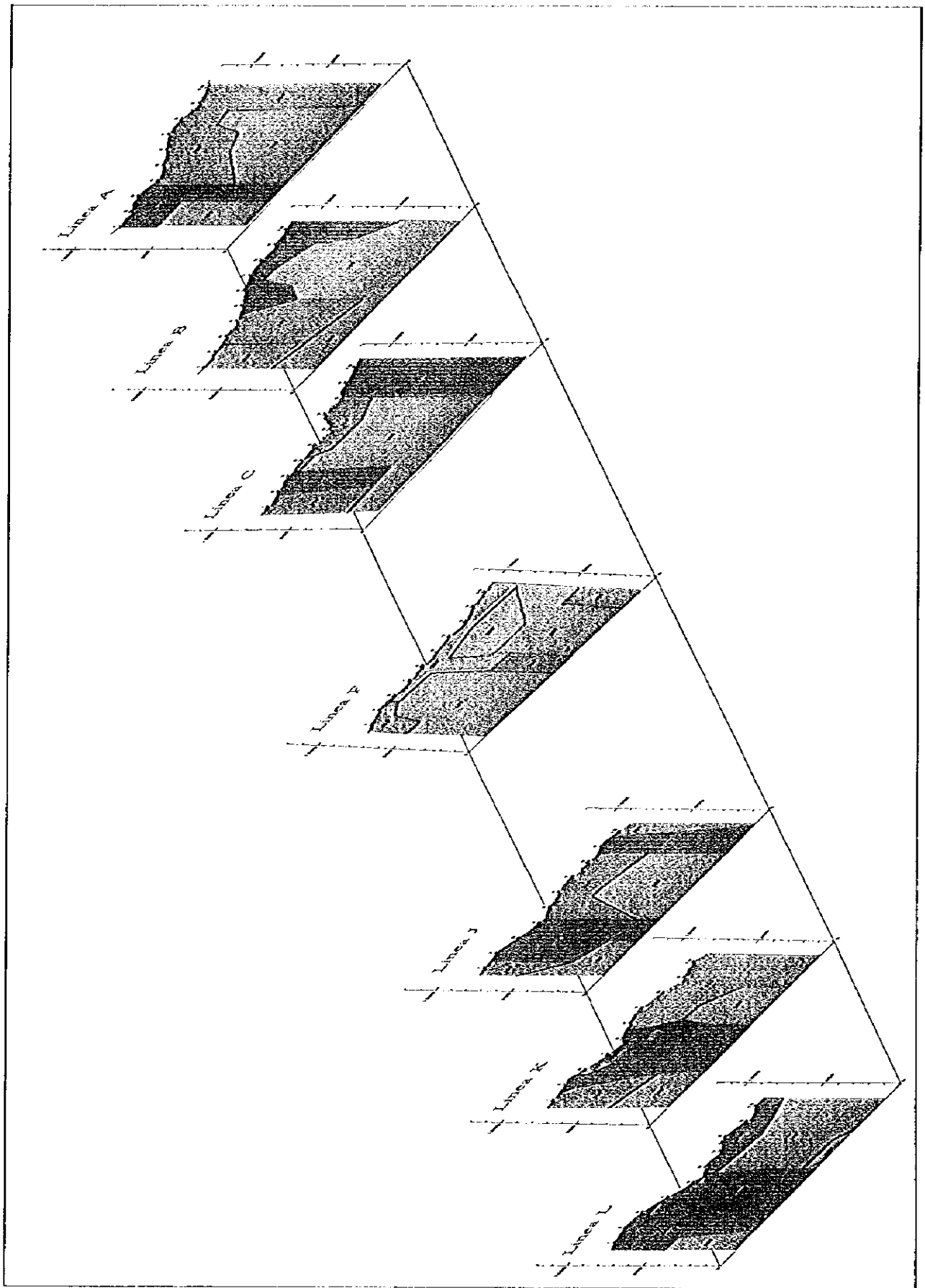


Fig.II-4-31 DIAGRAMA PANEL DE ESTRUCTURA RESISTIVIDAD DE DOS DIMENSIONES



0

0

0

#### 4 - 3 Consideraciones

En el área de esta exploración aflora ampliamente la Formación Ixcatepec del sistema Cretácico. En algunas partes se presenta la roca intrusiva de composición riolítica de del sistema Terciario. Las rocas afloran en esta área consisten principalmente en filitas ~ pizarras, metariolitas, piroclásticas riolíticas y roca intrusiva riolítica.

Con respecto a la distribución de la resistividad aparente, se considera mayor resistividad en la parte superficial siendo 4,096 Hz. Se efectuó la clasificación de la resistividad por diferencia de la fase de roca, Para lo que se utilizo el mapa de la distribución de la resistividad aparente de este ciclo. A continuación se muestra este resultado junto con el resultado del examen del laboratorio de la siguiente manera.

	Resultado de examen de laboratorio	Mapa de distribución de la resistividad aparente( 4,096 Hz )
Riolita( intrusiva )	: 316 ~ 2,142 $\Omega$ -m	300 ~ 1,000 $\Omega$ -m se correlaciona el área difundida
Metariolita	: 34.6 ~ 1,617 $\Omega$ -m	300 ~ 650 $\Omega$ -m se correlaciona el área difundida
Filita ~ Pizarra	: 59.6 ~ 5,171 $\Omega$ -m	50 ~ 600 $\Omega$ -m se correlaciona el área difundida

Estos resultados con excepción de las pruebas que indican el numero de alta resistividad notable debido a la alteración de silicificación, generalmente el examen del laboratorio y la clasificación de la resistividad de la diferencia de la resistividad de la roca y se confirma el coeficiente. En la clasificación de la resistividad por el tipo de la roca del área difundida de filita ~ pizarra indica generalmente la resistividad aproximada de 200  $\Omega$ -m, La zona de la alta resistividad de mas de 300  $\Omega$ -m esta difundiéndose lo mas cercano alrededor del área difundida de las rocas intrusivas riolíticas y metariolitas y sobre la línea K se considera que estas áreas difundidas corresponden con la alteración de silicificación relativamente fuerte.

En base al resultado del análisis de la una dimensión la mayor parte de la superficie del área de esta exploración esta cubierta de la zona de alta resistividad de mas de 100  $\Omega$ -m ( en algunas partes mas de 100  $\Omega$ -m ).

Esta causa depende de las características de la roca misma que esta difundiendo, otra causa que se considera es la que depende de la acción geométrica como : la resequedad del estrato de la superficie, la lixiviación del material electrolítico en la roca y la silicificación. O sea de acuerdo a la exploración geológica se difunde el estrato igual que la inclinación fuerte comparativamente, se presume que esta continua hasta la parte profunda. La resistividad de la parte superficial de la

exploración total indica una alta resistividad sin tener relación con la fase de la roca. En el plano de la estructura de resistividad de menos de 200 m de profundidad se confirmó la existencia de la estructura de la resistividad tipo faja reunida relativamente acompañados con la línea de la discontinuidad en dirección vertical, se presume que la estructura geológica del área de esta exploración indica una inclinación fuerte igual el resultado de la exploración geológica. También se considera la diferencia de la resistividad del estrato del sistema Cretácico y la roca intrusiva riolítica.

En el análisis de la una dimensión se confirmó la estructura principal en la parte inferior del estrato superficial de la siguiente manera.

- 1) La zona de alta resistividad del tipo faja que continua casi con rumbo N-S cubriendo el cuerpo Tehuehuetla corresponde a las siguientes rocas : intrusiva riolítica, metariolita y alteración de silicificación.
- 2) La zona de alta resistividad que continua en forma delgada y alargada con rumbo NNW-SSE en la parte central del área de exploración. Corresponde principalmente a rocas intrusivas de riolíticas y metariolitas etc.
- 3) La zona de alta resistividad de la porción NE del área de la exploración, corresponde a rocas intrusivas riolíticas y metariolitas, etc.
- 4) La zona de baja resistividad de tipo faja con rumbo N-S que se difunde entre la alta resistividad de 1) y 2) excepto en la parte del estrato superficial. Se considera que indica la alteración de la superficie y la zona de alteración mineralizada o la zona alterada de la roca intrusiva riolítica.
- 5) La zona de baja resistividad del lado oriente de la zona de la alta resistividad de 1) descrito arriba , se considera que indica la alteración de la superficie y la zona de alteración mineralizada o la zona alterada de la roca intrusiva riolítica.
- 6) La zona de baja resistividad del lado N-E del área de la exploración excepto en área de la exploración excepto en el área del estrato de la superficie. Se considera que indica la zona de la superficie y la zona de la alteración mineralizada o la zona alterada de la roca intrusiva riolítica.
- 7) La zona de baja resistividad continua con rumbo NNW-SSE alrededor del cuerpo Campo Seco excepto en la parte del estrato superficial. La zona de alta resistividad que proviene de la roca intrusiva no es notable, se considera la posibilidad de que depende de la mineralización.

Sin embargo esta zona de baja resistividad existe en forma delgada entre la falla de rumbo NE, se considera también la posibilidad de la influencia de la zona fracturada acompañando a la falla.

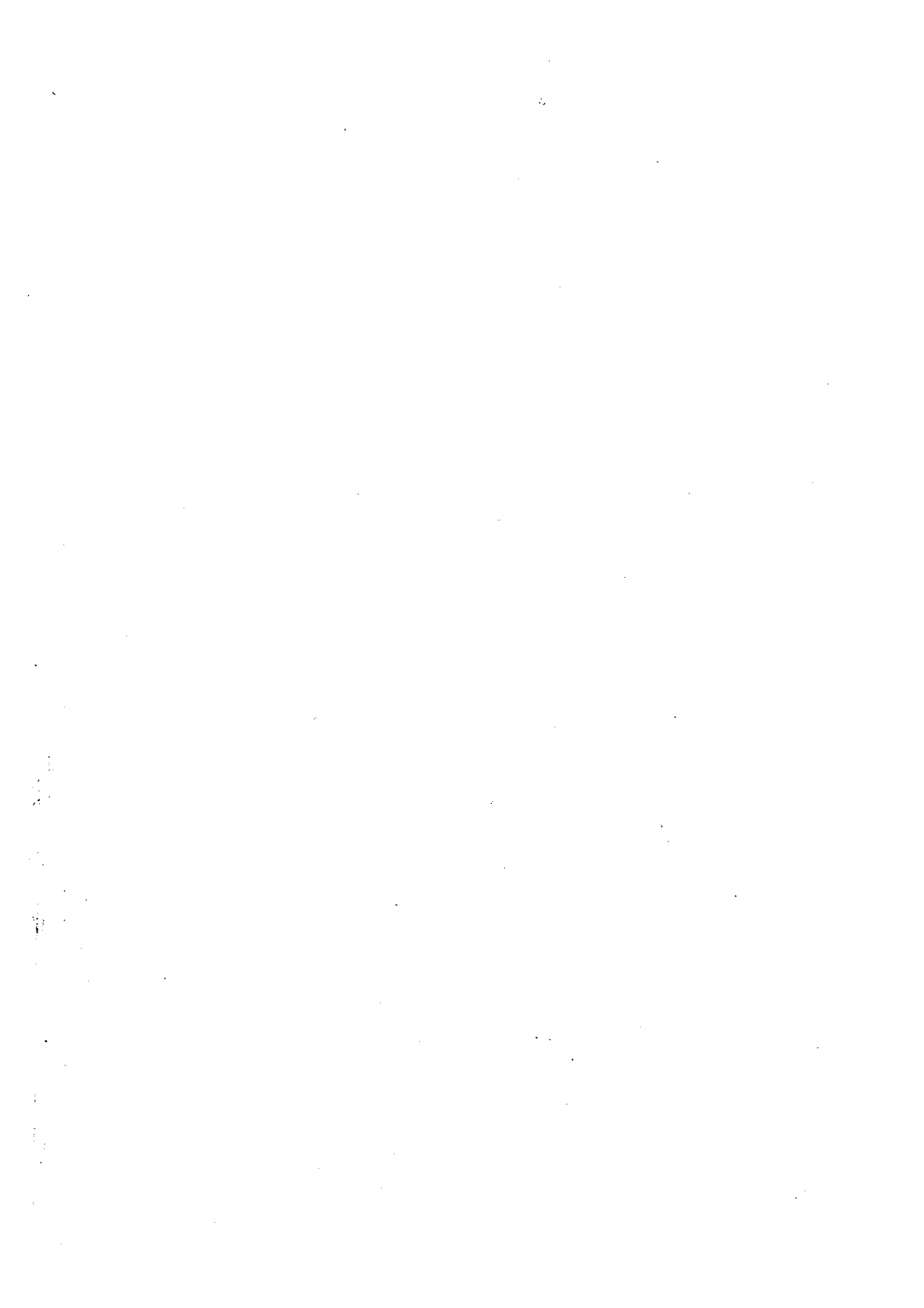
Generalmente la zona alterada argilizada se relaciona con la zona de baja resistividad. En esta exploración se relaciona con la zona de baja resistividad que se describió arriba y siendo considerándose posibilidad de que indiquen la zona de la alteración mineralizada.

En cuerpo Tehuchuetla dentro del área de la exploración tiene las características de alta resistividad ( se localiza alrededor de la parte del cambio fuerte de la dirección vertical de la estructura ) desde la superficie hasta la parte profunda. Se considera que el aumento de la resistividad por la presencia la silicificación tiendo una influencia muy fuerte que resistividad baja que depende de la alteración mineralizada.

①

②

③





## **PARTE III**

### **CONCLUSIONES Y RECOMENDACIONES**





## PARTE III CONCLUSIONES Y RECOMENDACIONES

### CAPITULO 1 CONCLUSIONES

Este año se efectuó el análisis de la imagen de satélite ( superficie de análisis : 5,000 km<sup>2</sup> ), El análisis de los datos existentes, la exploración geológica ( área de exploración detallada : 5km<sup>2</sup>, área de exploración general : 500 km<sup>2</sup> ) y la exploración geofísica ( El área de la exploración geofísica detallada : 5 km<sup>2</sup> ).

#### 1. Resultados de los Análisis de la Imagen de Satélite

Los lineamientos interpretados en el área elegida están indicado direcciones N-S y NW-SE.

Estas direcciones son iguales a la dirección del estrato del eje del pliegue y de la intrusión de la roca intrusiva. También de acuerdo a las imágenes de falso color se pudo interpretar la geología global de la distribución de los límites de tipos de roca metamórfica y de roca sedimentaria del período Cretácico, el tipo de roca volcanica del período Terciario que cubren en discordancia a las anteriores en discordancia y también las del período Cuaternario, fue difícil en estos componentes interpretar la diferencia de los tipos de la roca.

También de acuerdo a la correlación de los datos existentes el horizonte mineralizado del yacimiento de sulfuros masivos de esta área se encuentra en el lado este del área de la exploración. Especialmente se logró delimitar en el área la distribución del Permico-Cretacico y Cretacico inferior incluyendo Campo Seco.

El centro de Campo Morado es un lugar Favorable para la existencia de un yacimiento.

#### 2. Resultados del Análisis de los Datos Existentes

La mayor parte de los datos que se relacionan con el área de esta exploración están en el reporte del programa de la exploración del yacimiento Campo Seco del C.R.M. y además de la carta geológica hoja Tejupilco de la U.N.A.M.

La carta geológica que incluye el área de la exploración en total, no presento mucha información La geología de esta exploración se compone de los tipos de roca metamórfica-metamórfica de bajo grado de edad Paleozoico-Cretacico.

El tipo de yacimiento de sulfuro masivos es el principal, además se confirmo la existencia de yacimientos tipo vetas y tipo metasomatico de contacto.

Los yacimientos de sulfuros masivos se ubican en las minas de Campo Morado, Rey de Plata y afloramiento Campo Seco.

El yacimiento de Campo Morado se emplaza en el contacto de rocas félsicas con pizarras. La ley de mena es Au=1.2g/t; Ag=112g/t; Cu=0.68%; Pb=1.07% y Zn=3.12%, se estima que el volumen total de mena es de 9.5 millones de toneladas ( Lorinczi et al, 1978 ). El yacimiento Rey de Plata se encuentra en el contacto de la roca intermedia y la roca félsica. Las leyes de mena que presenta son:

Au=0.8g/t; Ag=275g/t; Cu=0.3%; Pb=1.7% y Zn=7.8%. Se estima un volumen total de mena de 1.7 millones de toneladas ( Javier et al, 1981 ). También alrededor del yacimiento Campo Seco se difunden ampliamente rocas de composición Riolita-Dacita. Por eso se considera que el yacimiento de sulfuro masivos tiene una intensa relación con la roca félsica. El área de la exploración detallada de Campo Seco es el lugar en donde se efectuó un programa de exploración por parte del C.R.M., confirmando de la exploración de C.R.M. los cuerpos de Campo Seco y Tehuchuetla.

También en el área Campo Seco aparte de la exploración geológica se efectuó la exploración geofísica (métodos de polarización inducida (PI), resistividad de potencial natural (SP), electromagnético (VLF) y magnetometría y exploración con perforación.

### 3. Resultado del Estudio Geológico

Se efectuó la exploración geológica, con exploración detallada, exploración general y exploración con la aplicación de la técnica isotópica.

La exploración detallada se efectuó en el área Campo Seco. En esta área se difunden metariolitas-dacitas y pizarras-filitas de la Formación Ixcatepec del período Cretácico, en algunas partes aflora la andesita Ayatochi y la roca intrusiva de composición riolita-dacita del período Terciario.

Los tipos de yacimientos son depósitos de sulfuros masivos, presentes en los cuerpos de Campo Seco y Tehuchuetla.

Estos cuerpos están en la parte mas superior del horizonte que esta compuesto por riolita y también en muchas partes de metariolita, se confirmó la alteración blanquizca, la silicificación y parcialmente el gossan, indicando la existencia de sulfuros como la pirita. La exploración general se efectuó en las áreas: Ixcatepec y Apaxtla. En estas áreas se presentan la formación Ixcatepec del período Cretácico, las formaciones Balsas del; riolita Tilzapotla, andesita Ayatochi del período Terciario; el sistema Cuaternario y la roca intrusiva. En la parte SE del área Ixcatepec se confirma el yacimiento La Libelula y La Luisa, aflorando riolitas alrededor del yacimiento, se confirmo la alteración de silicificación y el sombrero del hierro.

También la parte superior del horizonte mineralizado que se observo de acuerdo a los datos existentes del lugar, es favorable la existencia de un yacimiento de sulfuros masivos, se improbo que estas continúan desde el yacimiento La Libelula hasta el lado oriente del área de la exploración general.

Se confirmo el yacimiento El Billete en el área Apaxtla, en donde se presentan yacimientos tipo vetas y se considera que se presentan en poca escala.

Por otra parte de acuerdo al resultado de la exploración geoquímica que se efectuó paralela a la exploración geológica, alrededor de los cuerpos en el área Campo Seco se confirmaron las anomalías de Au, en otros elementos no se confirmó el aumento que indiquen elementos que se considera que





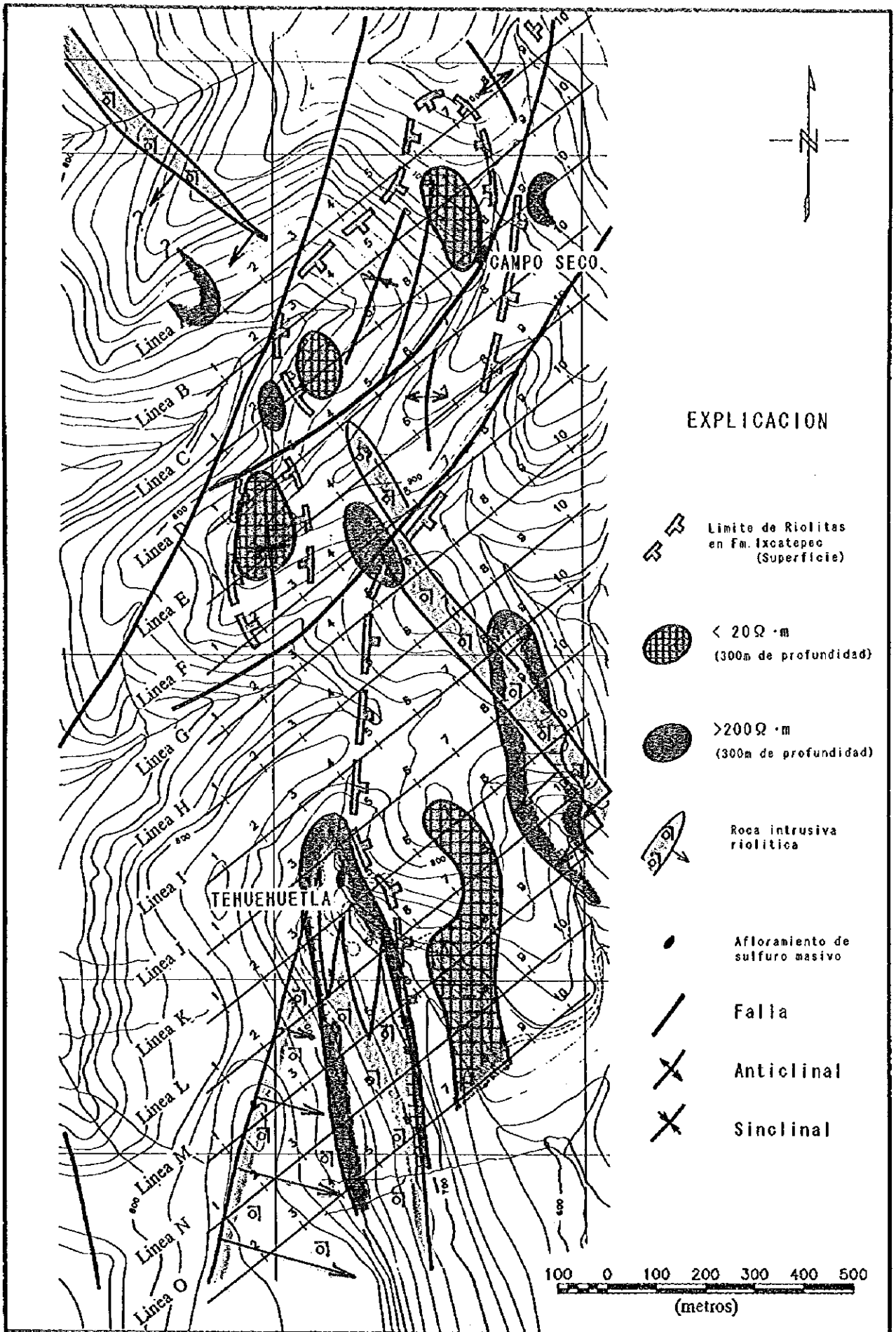


Fig.III-1-1 MAPA DE INTERPRETACION SINTETICA DE AREA CAMPO SECO

0

0

0

directamente la mineralización de: Ag, Cu, Pb y Zn.

Estos resultados no son muy claros y se considera que es necesario investigar otra vez. Sin embargo en la exploración con aplicación de la técnica isotópica de acuerdo al estudio de la composición isotópica de azufre ( $\delta^{34}\text{S}$ ), La mena que muestrearon en esta área tiene la similitud con el yacimiento de Tizapa, se aclaró la posibilidad de tener características similares. De acuerdo al estudio de la composición isotópica de estroncio ( $^{87}\text{Sr}/^{86}\text{Sr}$ ), las rocas metavolcanicas indican relativamente un número pesado, las rocas metasedimentarias indican relativamente un número ligero, además indican un número similar al del agua del Mar.

De acuerdo a que la mena presenta un número medio de estos y el origen hidrotermal de la mineralización se obtiene la relación entre el agua del Mar y la roca volcanica, por estas razones se consideró que la mineralización de esta área es del tipo exhatativo sedimentario como el tipo Kuroko. Además de acuerdo a la base de 0.708 que es  $^{87}\text{Sr}/^{86}\text{Sr}$  del agua del Mar, se consideró que la roca metasedimentaria indica el número mas pesado y que por esto tiene la influencia de la mineralización. La norma de la exploración obtuvo que el número en aproximadamente 0.712 y esta cerca del centro de la mineralización.

#### 4. Resultado de la Exploración Geofísica

En el área Campo Seco se efectuó la exploración geofísica por medio del método CSAMT. De acuerdo al resultado de la primera dimensión del análisis, la mayor parte de la superficie del área de ésta exploración está cubierta con la zona de alta resistividad de mas de 100  $\Omega\cdot\text{m}$ , esta es la causa principal que depende de las características de la roca misma, otra causa se considera que depende de la acción geométrica de la resequead del estrato y la lixiviación del material electrolítico o la silicificación.

También a menos 300m de profundidad se confirmó la existencia de la estructura de la resistividad del tipo faja reunida relativa que se acompaña de la línea discontinua de la estructura geológica indica la inclinación fuerte, es igual que el resultado de la exploración geológica. También se presente claramente la diferencia de resistividad entre el estrato del período Cretacico y la roca intrusiva. Generalmente la zona alterada argilizada que acompaña yacimiento y la mineralización se correlaciona con el resultado de esta exploración. A la profundidad de mas de 300m correlacionado con la zona de baja resistividad, se confirma la parte profunda del cuerpo Campo Seco, en la parte SW de este y en el lado oriente del cuerpo Tehuehuetla, hay una posibilidad de que la zona de baja resistividad de este indica la zona alterada mineralizada.

También se localiza el cuerpo Tehuehuetla en la zona de alta resistividad desde la superficie hasta la parte profunda, se considera que el aumento de la resistividad esta relacionada la silicificación, la que esta influyendo fuertemente, la disminución de la resistividad depende de la mineralización y de la alteración. De acuerdo a lo anterior, el mapa del resultado del análisis total alrededor del yacimiento



Campo Seco se indica en la Fig. III-1-1.

En la zona de alta resistividad de mas de 300m de profundidad corresponde bien con la roca intrusiva de la superficie, se presume que es el mismo cuerpo de rocas intrusivas. Se considera que el yacimiento se presentó en una época posterior a la de la sedimentación del tipo de roca volcanica ácida de riolita-dacita del período Cretacico de la formación Ixcatepec. Por eso el horizonte mineralizado que contiene el yacimiento de sulfuros masivos de esta área se presenta cerca limite superior de la distribución del tipo de roca volcanica ácida de la formación Ixcatepec.

La zona de baja resistividad de mas de 300m de profundidad se indica en la Fig. III-1-1, se confirmó que en la parte SW de Campo Seco y porción SW del cuerpo Tehuehueta, es igual que la estructura geológica de esta área y tiene inclinación fuerte, se considera que la existencia de la alteración mineralizada esta oculta.

## CAPITULO 2 MRECOMENDACIONES PARA LOS ESTUDIOS DE LA FASE II

De acuerdo a los resultados de la primera exploración y a la conclusiones del estudio, las segunda fase de exploración:

### (1) Area Campo Seco :

Basados en la información de la exploración geológica y geofísica, efectuar exploración con barrenación en el lugar que se presume es el más favorable, con la finalidad de confirmar la existencia del yacimiento. También se realizara la medición de  $^{87}\text{Sr}/^{86}\text{Sr}$  de los núcleos de perforación que saobtengon, muestreo de las rocas metavolcanicas en la superficie alrededor de la perforación y se investigación el radio influencia de la mineralización.

### (2) Area Ixcatepec :

Alrededor de los yacimientos La Libelula y La Luisa se confirmará la distribución de riolita-dacita del Cretacico; la zona de alteración silicificada; la mena que contiene sulfuros y la zona alterada del sombrero de hierro.

Esta área presenta un alto potencial para la existencia de un yacimiento de sulfuros masivos. Sin embargo es necesario efectuar un estudio geológico detallado para conocer el horizonte mineralizado. También para obtener la estructura geológica en la parte profunda es necesario efectuar exploración geofísica aplicando el método de polarización inducida (PI), ya se que se presume la existencia de un yacimiento de sulfuros masivos oculto, Finalmente confirmar la exploración con perforación.

## BIBLIOGRAFIA

- Aguilar, A. (1981): Reporte sobre algunas observaciones que se hicieron en la veta "Grande" o "Guitarra" de Temascaltepec, Estado de México. 62p. con 5 mapas. Poder Ejecutivo, Secretaría General, Gobierno de Estado de México.
- Angel M. y Javier R. (1987): Distribución de Yacimientos Vulcanogenicos en La Provincia Norte de Guerrero-Suroccidente del Estado de México. Compañía Fresnillo, S. A. de C. V.
- Atkinson B. (1975): Experimental deformation of polycrystalline pyrite; effects of temperature, confining pressure, strain rate and porosity, *Econ. geol.* vol. 70, PP. 473-487.
- Barcia J., Felipe L., Manuel J. (1981): Geología del Yacimiento de Sulfuros Masivos. El Rey De La Plata, Teloloapan, Guerrero. A. I. M. M. G. MEM. TEC. XIV Pag. 153-195
- Bargallo, M. (1955): La minería y metalurgia en la América española durante la época colonial; México D. F., Fondo de Cultura Económico, 433p.
- Bernal, F., Diaz, R., Garcia, P., Ojeda, A. y P. Zarate (1981): Exploración geológica-minera en reserva minera nacional Temascaltepec, Estado de México (1a. Etapa). Gerencia de Exploración Geológica, p. 407-422 con 4 mapas. Consejo de Recursos Minerales.
- Barragan H., Fons G., (1989): Distribución de Yacimientos Vulcanogenicos en la Provincia Norte de Guerrero Suroccidente del Estado de México. A. I. M. M. G. M4., Mem. Tec. XVII, PP 80-99.
- Cabral B., Cano, H., Harrison, C. (1993): Stratigraphic Constraints from the Tierra Caliente Metamorphic Complex for timing of Accretion of the Guerrero Terrane, Southern México. Proceeding of the First Circum-Pacific and Circum-Atlantic Terrane Conference Carta geológica Amatepec E-14-A-66, escala 1:50,000: México D. F. Secretaria de Programación y Presupuesto.
- Campa F. (1978): La evolución tectónica de Tierra Caliente, Guerrero. *Bol. Soc. Geol. Mex.* Vol. 39, No 2, PP. 52-64.
- Campa F. y Ramirez J. (1979): La evolución geológica y la metalogénesis del noroccidente de Guerrero. Serie Tectónica, Universidad Autónoma de Guerrero, 102 P.
- Campa, F., Ramirez, J. (1979): La Evolución Geológica y la Metalogénesis del Noroccidente de Guerrero, PLAN PILOTO, 1979
- Campa F., Ramirez J., Flores R. y Concy P. (1980): Terrenos Tectonoestratigraficos de la Sierra Madre del Sur, región comprendida entre los Estados de Guerrero, Michoacán, México y Morelos. V Convención Nacional de la Soc. Geol. Mex.
- CETENAL (1975): Carta geológica Tejuzilco de Hidalgo E-14-A-56, escala 1:50,000: México, D. F.
- Colorada, D. (1979): Etude d'une partie de la ceinture metamorphique (Mesozoïque) de sud du

- Mexique (Estats de México et Guerrero): Paris, Univ. Pierre et Marie Curie, tesis doctoral de ingeniero, 128p. (inedita)
- C. R. M. (1978a): Plano Geológico-Minero Mina Santa Rosa, escala 1:10,000, Mapa. Gerencia de Estudios Especiales Proyecto Eje Neovolcánico. Consejo de Recursos Minerales.
- C. R. M. (1978b): Plano Geológico del Prospecto Santa Rosa Tejupilco, Estados México, escala 1:10,000, Mapa. Gerencia de Estudios Especiales Proyecto Eje Neovolcánico. Consejo de Recursos Minerales.
- C. R. M. (1979): Plano Geológico-Minero del área Tejupilco, Estados México, escala 1:50,000, Mapa. Gerencia de Estudios Especiales Proyecto Eje Neovolcánico. Consejo de Recursos Minerales.
- C. R. M. (1981): Mapa geológico del área comprendida entre Zacazonapan y Tejupilco, escala 1:15,000, Mapa. Gerencia de Estudios Especiales Depto. de Investigación Aplicada Proyecto Rocas Metamórficas. Consejo de Recursos Minerales.
- C. R. M. (1982): Mapa geológico del área de Tizapa municipio. de Zacazonapan, escala 1:1,000, Mapa. Gerencia de Estudios Especiales Depto. de Investigación Aplicada Proyecto Rocas Metamórficas. Consejo de Recursos Minerales.
- C. R. M. (1983): Calculo de reservas principales por medio del método áreas de influencia del yacimiento de La Esmeralda, Temascaltepec Mex, escala, 1:1,000, Mapa. Gerencia de Estudios Especiales Depto. de Investigación Aplicada Proyecto Rocas Metamórficas. Consejo de Recursos Minerales.
- Damon, P. E., Shafiqullq, M. y Clark, K. F. (1981): Evolución de los arcos magmáticos en México y su relación con la metalogénesis. Univ. Nal, Auton México, Inst. Geología, Revista, v.5, num.2, p.223-238.
- D'Cserna, Z. de (1958): Orogenesis in time and space in México. Geol. Rondsch, v.58, p.595-605.
- D'Cserna, Z. de, Fries, c., C. Rincon, Westley H. y Demant A. (1978): Características del Eje Neovolcánico Transmexicano y sus problemas de interpretación. Univ. Nal, Auton México, Inst. Geología, Revista, v.2, num.2, p.172-187.
- D'Cserna, Z., Ortega, Gutierrez, F., Palacios, M. (1980): Reconocimiento Geológico de la Parte Central de la Cuenca del Alto Río Balsas, Estados de Guerrero y Puebla. Libro-Guía de la Excursión Geológica ala Parte Central de la Cuenca del Alto Río Balsas, Guerrero y Puebla, III Comisión Federal de Electricidad D'Cserna, Z. de, y Fries, C. (1981): Hoja Taxco 14Q-h(7), con resumen de la geología de la Hoja Taxco, estados de Guerrero, México y Morelos: Univ. Nal, Auton México, Inst. Geología, Carta Geología de México, serie de 1:100,000, mapa con texto, 47p.

- D'Cserna, Z. de (1982): Hoja Tejupilco 14Q-g(9), con resumen de la geología de la Hoja Tejupilco, estados de Guerrero, México y Michoacan: Univ. Nal, Auton México, Inst. Geología, Carta Geología de México, serie de 1:100,000, mapa con texto, 28p.
- Franklin J., Lydon J., Sangster D. (1981): Volcanic Associated massive sulfide deposits. Econ. geol. vol. 75 anniversary, PP 485-627.
- Guerrero S., Ramirez C., Talavera M. (1990): Estudio estratigráfico del arc volcanico del Cretacico inferior de Teloloapan, Guerrero. X Convención Geol. Mex., Soc. Geol. Mex., (Resumenes).
- Guerrero S., Ramirez C., Talavera M. y Campa F. (1991): El desarrollo carbonatado del Cretacico inferior asociado al arco Teloloapan Noroccidente del Estado de Guerrero.
- Gonzalez, G. (1981): Relaciones geológicas y metalogenéticas para evaluar el potencial económico-minero y perspectiva de la prospección, en las depresiones de Tejupilco y Zacualpan, Edo.de México. Gerencia de Estudios Especiales Departamento de Investigación aplicada. Proyecto Rocas Metamórficas. Informe Anual 1981, p.67-95. Consejo de Recursos Minerales.
- Gonzalez, G. y Rivas M. (1985): Estudio metalúrgico sobre muestras de núcleos de barrenación (sulfuros)procedentes de Tizapa Mpio. de Zacazonapan, Edo de México. Laboratorio de Tecamachalco, Comisión de Fomento Minero. 70p.
- Gonzales E., Partida, Torres V. (1988): Evolución Tectónica de la Porción Centro-Occidental de México y su Relucían con los Yacimientos Minerales Asociados Geof. Int, Vol.27-4, pp.543-581.
- Gonzales E. (1984): Análisis de las Inclusiones Fluidas e Isotopos de Azufre, Hidrógeno y Oxígeno de los Sulfuros Masivos de Tizapa-Santa Rosa, Edo. de México. Reuista Geomimet.
- Gutierrez, R. y Gomez, V. (1982): Estudio geoquimico de vapores de mercurio en las áreas Tizapa, Esmeralda y Ciruelo-Campanario, Mpios. de Zacazonapan y Temascaltepec, Edo. de México. Proyecto Rocas Metamórficas. Consejo de Recursos Minerales.
- Halpern, M, Guerrero C y Ruiz M. (1974): Rb-Sr dates of ignious and metamorphe rocks from south ernstern and central México; a progress report: México, D. F., Union Geofísica Mexicana, Reunion Anual, Resumen.
- Hernandez, I. (1979): Informe de los trabajo geofísicos realizados en el área Tizapa, Municipio de Zacazonapan, Estado de México. Proyecto Rocas Metamórficas. Consejo de Recursos Minerales.
- JICA, MMAJ (1988): Informe de la exploración cooperativa de mineral en región Arceria, Estados Unidos México. (Fase 1). 334p. Japan International Cooperation Agency, Metal Mining

Agency of Japan.

JICA, MMAJ (1990): Informe de la exploración cooperativa de mineral en región Arceria, Estados Unidos México. (Fase 3). 123p. con apartada 126p. Japan International Cooperation Agency, Metal Mining Agency of Japan.

JICA, MMAJ (1991): Informe de la exploración cooperativa de mineral en región Arceria, Estados Unidos México. (Sumario). 334p. Japan International Cooperation Agency, Metal Mining Agency of Japan.

JICA, MMAJ (1994): Informe de la exploración cooperativa de mineral en región Tejupilco, Estados Unidos México. (Sumario). 94p. Japan International Cooperation Agency, Metal Mining Agency of Japan.

Lorinczi, I. y Miranda. C. (1978): Geology of the massive sulphide deposits of Campo Morado, Guerrero, México. *Econ. Geology*, v.73, p.180-191.

Luis J., Sanchez j. (1991): Características de Cuerpos Diseminados de Plata en Taxco, Gro. Industrial Minera México, S. A. de C. V.

Matsushita Y (1978): La geología isótopo de oxígeno e hidrógeno, *Noticias geológicas*, No.285

Mauvois R. (1983): Informe de la Investigación Tectónico Metalogenética de la Parte Centro Septentrional del Estado de Guerrero, C.R.M.

Maycotte J. (1981): Geología y geotecnia del proyecto hidroeléctrico El Caracol, Guerrero Investigador Titular del Instituto de Geología, UNAM y Asesor Técnico de la CFE Mem., Conv. sobre la Evolución Geológica de México, Inst. Gelo. U.N.A.M., PP.67-70.

Mercado G. (1994): Informe Geológico de la Asignación Campo Seco Municipio de Apaxtla de Castrejon Estado de Guerrero, C.R.M.

Mooser, F. (1968): The Mexican volcanic belt structure and development: formation of fractures by differential crustal heating. México, D. F., Pan-am. Synp. on the Upper Mantle (1968), pte.2, p.15-22.

Nakano T. (1987): Isótopo de estroncio y yacimiento metálico, *Tierra Mensual*, Vo.19, No.10.

Ohmoto H. and Skinner B. (1983): The kuroko and Related Volcanogenic Massive Sulfide Deposits: Induction and Summary of New Findings.

Ortega, F. (1981): Metamorphic belts of southern México and their tectonic significance. *Geof. Int.*, Vol. 20-3, p.177-202.

Ortega J., Piedad N. (1993): Análisis litológico y estructural del área con sulfuros masivos de Campo Seco, Mpio. de Apaxtla, Guerrero. Tesis Profesional U.N.A.M. 61 P.

Ortiz L., Lapierre H. (1991): Un contexto de arco magmatico asociado al desarrollo de

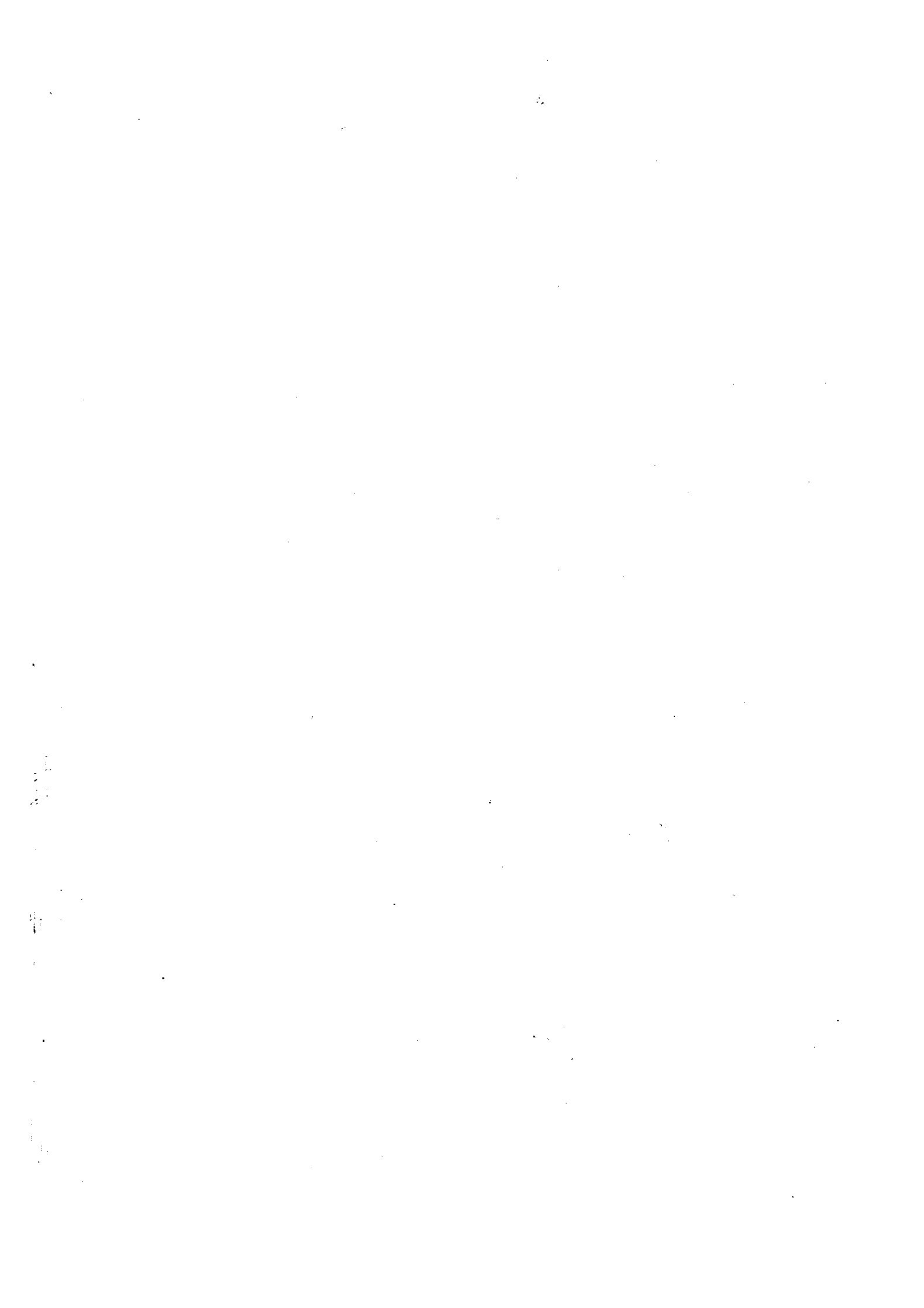
- estratovolcanes submarinos para el origen de los sulfuros masivos estratiformes  
 polimetálicos (Pb, Zn, Cu, Ag y Au) de la región de Tierra Caliente, Gro. A.I.M.M.G.M., Mem,  
 Tec. XIX, PP.270-296.
- Ortiz L. (1992): Significado Metalogenético de los Domos Dacíticos-riolíticos de los Estados  
 de Jalisco, Michoacán, Guerrero y México. El Explorador, Bol. C.R.M., ano 3, No. 10, PP 8-9
- Parga J. (1980): Geología y Metalogénesis del yacimiento Estratiforme de sulfuros  
 Masivos de Tizapa, Zacazonapan, Edo. de México. VIII Seminario Interno sobre  
 Exploración Geológica-Minera, p.336-363. Consejo de Recursos Minerales.
- Parga J. (1981): Geología del área Tizapa, Municipio de Zacazonapan Estado de México.  
 Univ. Nal, Auton México, Facultad de Ciencias (Geología). Tesis de Maestría.
- Parga J., Herrera M. y Eliseoá Romo E. (1981): Geológica, estratigrafía y yacimientos Minerales  
 del área de Tizapa, Estado de México. Gerencia de Estudios Especiales Departamento de  
 Investigación aplicada. Proyecto Rocas Metamórficas. Informe Anual 1981. Consejo de Recursos  
 Minerales, 135p.
- Parga, J. (1983): Algunos factores tectónico-económico a considerar en la aluación del  
 yacimiento de sulfuros masivos polimetálicos de Tizapa, Zacazonapan, Edo. de México. 14p.  
 Consejo de Recursos Minerales.
- Ramírez J., Campa F., Talavera M., Guerrero M. (1991): Caracterización de los arcos  
 insulares de la Sierra Madre del Sur y sus implicaciones tectónicas. Mem. Conv. Sobre la  
 Evolución Geológica de México, Inst. Geol. U.N.A.M., PP 163-166.
- Sasaki A. (1977): Isótopo estable y yacimiento, base de la metalogenia moderna, Tokyo  
 University Press.
- Sato T. (1975): Los sullufos volcanogénéticos, su metalogenia y clasificación, Universidad  
 de Sonora, Publicación 1.
- Sato T. (1977): Por sulfuros masivos volcano genéticos, su Metalogenia y  
 clasificación. Universidad de Sonora, Publicación 1.
- Schmitter J., Villa E. (1974): Edad precambrica tardía del Esquistos Taxco, Estado de Guerrero.  
 Bol. Asoc. Mex. Geólogos. petroleros, v.26, p.183-193.
- Secretaría de Programación y Presupuesto. CETENAL (1975c): Carta geológica Valle de  
 Bravo E-14-A-46, escala 1:50,000: México D. F. Secretaría de Programación y  
 Presupuesto.
- SPP (1981): Carta Geológica México, escala 1:1,000,000. Secretaría de Programación y  
 Presupuesto, Estados Unidos Mexicanos.
- SPP (1983): Carta Geológica CD Altamirano, escala 1:250,000. Secretaría de  
 Programación y Presupuesto, Estados Unidos Mexicanos.
- Urabe T. and Sato T. (1978): Kuroko Deposit of the Kosaka Mine, Northeast Honshu, Japan

Product of Submarine Hot Spring on Miocene Sea Floor. *Economic Geology* Vol.73, pp.161-179.

Vidal S. (1991): Estratigrafía del terreno Teloloapan en su límite Ixcateopan-Ixtapan de la Sal Edos. de Guerrero y México, respectivamente: implicaciones tectónicas. Mem. Convención sobre la Evolución Geológica de México, Inst., Geol., U.N.A.M., PP230-231. Zamorano G y De la

Teja, M. (1986): Estudio Geológico Minero de las asignaciones la Guadalupe y Ampliación la Guadalupe MPIO. de Cuetzala del Progreso EDO. de Guerrero. C.R.M.

Zamorano G. (1987): Minas de Sulfuros Masivos al Sureste de Arcelia en El Estado de Guerrero, C.R.M.







## **APENDICE**



Tab. II-2-2 LISTA DE LOTES MINEROS DE LA REGION CAMPO SECO

No.	NOMBRE DEL LOTE SUBSANCIA	NUMERO DE EXPEDIENTE	SUPERFICIE HAS.	MUNICIPIO ESTADO	NOMBRE DEL SOLICITANTE FECHA DE PRESENTACION	DES. Y UBICACION DEL P.P DATOS DE UBICACION DEL LOTE
1	Au, Ag, Pb, Zn y Cu. ARCELIA	EXP. 7441 TIT. 182027	262	ARCELIA. GUERRERO.	CIA. MINERA PARARAL Y ANEXAS 7 DE SEPTIEMBRE DE 1988	COCAVON DE 1.8 X 1.8 M. COMO EL HIL, CAMBICA A 150 M. APROX AL ORIENTE DEL CASERIO DEL PARAJE A 25 M. APROX. AL NORTE DE LA BARRANCA DE MISMO NOMBRE Y APROX. 200 M. AL ESTE DEL ARROYO DE LA SURLANA COORDENADAS GEOGRAFICAS.
2	LA ALINA Au, Ag, Pb, Zn y Cu.	EXP. 7987	38714.29	ARCELIA. APAXTLA. SN. MIGUEL. TOTOLAPAN. GUERRERO.	MINERIA SUMMIT DE MEXICO S.A REP. DADID HERRISTON 12 DE ABRIL DE 1993.	COORDENADAS GEOGRAFICAS 18°12' 15" LATITUD NORTE 100°07' 43" LONGITUD OESTE MOJONERA DE MAMPOSTERIA DE 0.60 M X 0.60 M. DE SECCION Y 1.10 M. DE ALTURA.
3	TEHUATLA 2 Au, Ag, Pb, Cu y Zn.	EXP. 7841 TIT. 197397	24000	TEOLOAPAN. IXCATOPAN. Y PEDRO. ASCENCIO. ALQUICIRAS. GUERRERO.	MINERA ANYARES S.A DE C.V. 10 DE AGOSTO DE 1990	SOCAVON 1.96 X 2.20 M. DE SECCION Y MAS DE 10 M. DE DESARROLLO, UBICADO EN LA MARGEN NORTE DEL ARROYO DE LAS PAREDES. SOBRE LA FALDA OESTE DEL CERRO COLORADO. COORDENADAS GEOGRAFICAS 18°19' 10" LATITUD NORTE 99°55' 25" LONGITUD OESTE
4	MARIA DE LOS ANGELES Au, Ag, Pb, Cu y Zn.	EXP. 4193 TIT. 146047	10	ARCELIA. GUERRERO.	BENITO AGUIRRE CHAVEZ 22 DE MARZO DE 1965	COORDENADAS GEOGRAFICAS LATITUD NORTE 18°08' LONGITUD OESTE 100°13' MISMO P.P DEL LOTE LA SURLANA MOJONERA ESQUINA N°6 DEL LOTE EXCEDENCIAS LA SURLANA.
5	LA CARMINA Au, Ag, Pb.	EXP. 4135 TIT. 165188	57.766	ARCELIA. GUERRERO.	BENITO AGUIRRE CHAVEZ 22 DE MARZO DE 1965	COORDENADAS GEOGRAFICAS LATITUD NORTE 18°08' LONGITUD OESTE 100°13' MISMO P.P DEL LOTE LA SURLANA MOJONERA ESQUINA N°6 DEL LOTE EXCEDENCIAS LA SURLANA.
6	LA ALEXANDRA Au, Ag, Pb, An, Cu.	E - 7435	10	PEDRO. ASENCIO. ALQUICIRAS. GUERRERO.	FERNANDO JAIME GARCIA 12 DE MARZO DE 1985	MOJONERA DE 0.60 X 0.60 M. DE SECCION Y 1.10 M. DE ALTO UBICADO EN LA FALDA DEL CERRO DEL AIRE A LA IZQUIERDA DEL ARROYO DE MEXIAXPA. COORDENADAS GEOGRAFICAS LATITUD NORTE 18°32' 28" LONGITUD OESTE 99°51' 05"
7	EL CIRUELO Au, Ag, Pb, Zn, Cu, Hg, Sb.	E - 7296 T - 184050	260	TOTOLAPAN. GUERRERO.	ELIZABETH FUHRMAN FRISCHT FERNANDO GALVAN LIZARDI 24 DE MAYO DE 1983	MOJONERA DE 0.60 X 0.60 M. DE SECCION POR 1.10 M. DE ALTURA SE LOCALIZA EN LA FALDA NOROESTE DEL CERRO DE LAS MESAS A 40 M. AL ORIENTE DE LA BARRANCA DEL CIRUELO. LATITUD NORTE 18°05' 23" LONGITUD OESTE 100°11' 08"
8	ALEXANDRA Au, Ag, Pb, Cu, Zn, Hg.	E - 7980	1000	ARCELIA. GUERRERO.	MEXICORO S.A DE C.V ING. JOSE ALFREDO CERVANTES 3 DE MARZO DE 1993	COORDENADAS GEOGRAFICAS LATITUD NORTE 18°08' 47" LONGITUD OESTE 100°09' 38"
9	LA VERDAD Au, Ag, Pb, Zn, Cu.	E - 7009 T - 181609	20	PEDRO. ASENCIO. ALQUICIRAS. GUERRERO.	GLORIA HOZ. DE SALINAS 4 DE OCTUBRE DE 1979	SOCAVON 1.8 X 10. M DE DESARROLLO LOCALIZADA SOBRE LA MARGEN IZQUIERDA DEL ARROYO DE LOS CAPULINES Y SUR DE LA LOMA DE LOS QUEMADORES
10	TONCHI Au, Ag, Pb, Sb, Hg.	E - 7692	300	ARCELIA. GUERRERO.	SONIA GEORGINA MEDRANO TINOCO 18 DE MAYO DE 1988	MOJONERA DE MAMPOSTERIA DE 0.60 X 0.60 M. DE SECCION Y 1.0 M. DE ALTURA LOCALIZADA A 400 M. CON UN RBO. CON RBO. S 75° E DEL CERRO LOS CHIVOS A 1400 M. LATITUD NORTE 18°23' 32" LONGITUD OESTE 100°12' 49"
11	RAQUELITA Au, Ag, Pb, Zn, Cu, Hg, Sb.	E - 7828	40	TEOLOAPAN. GUERRERO.	MARCIAL MENA DELGADO. ARCAOIO VIOTIR RODRIGUEZ 2 DE MAYO DE 1992	MOJONERA DE MAMPOSTERIA 0.60 X 0.60 M. DE SECCION UBICADA EN EL PARAJE EL BOLICHE. MPIO. DE TEOLOAPAN LATITUD NORTE 18°23' 32" LONGITUD OESTE 99°48' 13"
12	ASIG. CAMPO SECO Au, Ag, Cu, Pb, Zn, Y TIERRAS RARAS	E - 4/48	500	APAXTLA DE CASTREJON. GUERRERO.	CONSEJO DE RECURSOS MINERALES ING. BENJAMIN VILLAPANAL. 9 DE JULIO DE 1990	MOJONERA DE MAMPOSTERIA UBICADA EN LA MARGEN DEL ARROYO DE TEHUETLA EN LOS TERRENOS DE SAN MARCOS LATITUD NORTE 18°00' 06" LONGITUD OESTE 100°02' 16"
13	AMP. RAQUELITA Au, Ag, Pb, Zn, Cu, Hg, Sb.	E - 7834	104	TEOLOAPAN. GUERRERO.	ALLERY BERNABE ELIZONDO GORT Y SOCS. 5 DE JUNIO DE 1990	MISMO P.P DEL LOTE LA RAQUELITA LATITUD NORTE 18°23' 32" LONGITUD OESTE 99°48' 13"
14	CONSUELO I Au, Ag, Pb, Zn, Cu.	E - 6875 T - 165709	199.41	TEOLOAPAN. GUERRERO.	MINERA PENOLITA ING. MANUEL CASTILLON B. 3 DE MAYO DE 1988	SOCAVON DE SECCION VERTICAL DE 1.96 X 2 M. Y MAS DE 10 M. DE DESARROLLO HORIZONTAL. UBICADO EN LA MARGEN NORTE DEL ARROYO DE LAS PAREDES LATITUD NORTE 18°23' 22" LONGITUD OESTE 99°58' 00"

Tab.II-2-2 LISTA DE LOTES MINEROS DE LA REGION CAMPO SECO

No.	NOMBRE DEL LOTE SUBSTANCIAS	NUMERO DE EXPEDIENTE	SUPERFICIE HAS.	MUNICIPIO ESTADO	NOMBRE DEL SOLICITANTE FECHA DE PRESENTACION	DES. Y UBICACION DEL P.P DATOS DE UBICACION DEL LOTE
15	CONSUERO IV Au,Ag,Pb,Zn,Cu.	E - 6882 T - 165018	88	TEOLOAPAN. GUERRERO.	MINERA PENOLITA S.A. DE C.V ING. MANUEL CASTILLON B. 17 DE MAYO DE 1988	MISMO DE CONSUERO I
16	HERCULES II Ag, Sb.	E - 6943 T - 182453	60	ARCELIA. GUERRERO.	SANTIAGO ARTURO MACIEL DE LA PASCUA Y SRA. FANY NUNEZ 6 DE FEBRERO DE 1979	CATA DE 2x2 M DE SECCION HORIZONTAL Y 5 M DE PROF. Y SELOCALIZA EN EL FLANCO OESTE DEL FILO DE LA CARPA LATITUD NORTE 18°21' LONGITUD OESTE 100°13'
17	DOS HERMANOS Sb	E - 7636	100	ARCELIA. GUERRERO.	FELIS LOPEZ ORQUIZA 2 DE MARZO DE 1988	MOJONERA LOCALIZADA EN LA PARTE ALTA DE LA MINA. A 20 M. DELABROL LA PAROTA LATITUD NORTE 18°18'47" LONGITUD OESTE 100°14'47"
18	EL RETORNO Au,Ag,Pb,Cu,Zn.	E - 7123 T - 171430	40	TEOLOAPAN. GUERRERO.	JORGE OLEGARIO PROMAY Y SOCIOS. 5 DE DICIEMBRE DE 1980	CENTRO DE UN TUBO DE HIERRO DE 12.7 MM. SOBRE EL SOCAVON LOCALIZADA EN LA BARRANCA DEL AGUACATE. EN LA CUADRILLA DE LAS CANITAS. LATITUD NORTE 18°24'06" LONGITUD OESTE 100°01'42"
19	STA. CECILIA Au,Ag,Pb,Zn,Cu.	E - 7979	364	ARCELIA. GUERRERO.	CECILIA GUZTA GONZALES 6 ENERO DE 1993	MOJONERA UBICADA EN LA FALDA NORTE DE LA CANADA DE LA SURIANA EN LOS TERRENOS DE TENISCO. ARCELIA LATITUD NORTE 18°08'47" LONGITUD OESTE 100°09'38"
20	CHUAHTEHOC Au,Ag,Cu.	E - 7430	28	TEOLOAPAN. GUSARRERO.	MATIAS JOSE DE LEON ZAMORA 7 DE AGOSTO DE 1985	MOJONERA LOCALIZADA AL NOR. DEL SOCAVON ANTIGUO CON RUMBO OESTE. LATITUD NORTE 18°23'17" LONGITUD OESTE 99°42'40"
21	LOS TRES AMIGOS Au,Ag,Pb,Cu,Zn.	E - 7338 T - 177084	100	TEOLOAPAN. GUERRERO.	EFIGENIO OSORIO ROJAS 30 AGOSTO DE 1983	MOJONERA LOCALIZADA EN LA PARTE SUPERIOR DEL LADO SW DEL CERRO GAVILAN LATITUD NORTE 17°52'16" LONGITUD OESTE 100°14'08"
22	MONTANA DE PLATA Au,Ag,Pb,Cu,Zn.	E - 7049 T - 171283	100	TEOLOAPAN. GUERRERO.	CIA. MINERA DEL NIPE II DE FEBRERO DE 1980	SOCAVON CONOCIDO EN LA REGION COMO SAN GUILLERMO. LOCALIZADA EN LA PARTE SE DEL CERRO XUIZINTLA. LATITUD NORTE 17°58'54" LONGITUD OESTE 100°15'21"
23	MONTANA DE PLATA II Au,Ag,Pb,Zn,Pl.	E - 7142 T - 182305	170	TEOLOAPAN. GUERRERO.	CIA. MINERA DEL NIPE GUILLERMO GARCIA DEL VALLE 17 DE MARZO DE 1981	MOJONERA LOCALIZADA EN LA PARTE ALTA DE LA FALDA ESTE DEL CERRO ZUCHINTLA LATITUD NORTE 17°55'20" LONGITUD OESTE 100°14'50"
24	LA PUERTA DEL SOL Au,Ag,Pb,Cu,Zn.	E - 7027 T - 170970	100	TEOLOAPAN. GUERRERO.	GUILLERMO GARCIA DEL VALLE DIAS 10 DE DICIEMBRE DE 1979	SOCAVON LOCALIZADO EN EL MARGEN IZQUIERDO DE LA BARRANCA PUERTA DEL SOL. AL NORTE DEL RANCHO DE LAS TUNAS LATITUD NORTE 17°55' LONGITUD OESTE 100°15'
25	AMPLIACION DE MINA GRANDE Au,Ag,Pb,Zn,Cu.	E - 7688	2075	TEOLOAPAN. GUERRERO.	ING. HECTOR GONZALES FLORES 22 DE ABRIL DE 1988	SOCAVON LOCALIZADO EN LA PRIENTE DEL CERRO MINA GRAND DENOMINADO BOCA VIEJA LATITUD NORTE 17°51'44" LONGITUD OESTE 100°16'21"
26	LAS TUNAS Au,Ag,Pb,Zn,Cu. Y TIERRAS RARAS	E - A/49	200	TEOLOAPAN. GUERRERO.	CONSEJO DE RECURSOS MINERALES ING. BENJAMIN VILLAPANA	MOJONERA LOCALIZADA AL NW Y 550 M APROX. DEL POBLADO DE SAN NICOLAS DEL ORO LATITUD NORTE 17°54'39" LONGITUD OESTE 100°14'57"
27	RESERVA MINERA. NACIONAL. MAMATLA. TODO SUBSTANCIA. ZAM NACIONAL. CAMPO	215 T - 10619	20800 1111	IXCATOPAN. P.ASCENCIO. ALQUISIRAS. PILCAYA Y. TAXCO. EDO. DE MEX. Y GUERRERO. ARCELIA. GUERRERO.	CONSEJO DE RECURSOS MINERALES CONSEJO DE RECURSOS MINERALES ING. BENJAMIN VILLAPANA	TORRE DE LA IGLESIA DE LA POBLACION DE MAMATLA COORDENADAS U.T.M. N-2°061 708.55 M E-415 350.93 M
28	MORADO. TODA SUBSTANCIA.	T - 10619	1111	ARCELIA. GUERRERO.	COMISION DE FOMENTO MINERO ASIGNADO AL CONSEJO DE RECURSOS MINERALES 10 DE AGOSTO DE 1987	MOJONERA UBICADA EN EL LOTE MINERO COORDENADAS U.T.M. N-2,013078.53 M E-380,642.26 M
29	RESERVA MINERA. NACIONAL MORELOS. TODA SUBSTANCIA.	49400	49400	COCULAY. ZUMPANGO. DE NEAJ. GUERRERO.	CONSEJO DE RECURSOS MINERALES 26 DE FEBRERO DE 1985	MOJONERA LOCALIZADO EN EL PUEBLO DE MECALCA COORDENADAS GEOGRAFICAS LATITUD NORTE 17°48' 30" Y 18°02' 30" LONGITUD OESTE 99°38' 00" Y 99°49' 00"









Tab.II-3-2 LISTA DE ANALISIS GEOQUIMICA DE ROCAS

1 / 21

No. de Muestra	Coordenadas		Au (ppm)	Ag (ppm)	Cu (ppm)	Pb (ppm)	Zn (ppm)	Fe (%)	Mn (ppm)	Ba (ppm)	S (%)	Na (%)	K (%)	Ca (%)	Mg (%)
	X	Y													
E-3	390179	1990491	0.05	0.65	43	11	185	4.42	36	430	0.06	0.22	2.57	< 0.01	0.37
E-4	390287	1990432	0.57	0.45	28	5	146	2.53	153	261	0.26	0.15	2.21	12.27	0.45
E-6	390406	1990336	0.02	0.70	45	16	127	5.23	138	309	0.06	0.19	2.56	< 0.01	1.20
E-7	390463	1990221	0.07	0.55	45	3	59	0.90	448	24	0.40	0.04	0.20	40.71	0.16
E-8	390656	1990409	0.05	0.90	36	9	49	4.38	160	137	0.04	0.13	1.63	0.69	0.19
E-11	390352	1990250	0.50	0.60	24	20	119	3.04	366	421	0.05	0.19	2.50	0.22	0.35
E-12	390430	1990105	0.17	0.75	28	15	80	4.55	388	370	0.04	0.19	2.57	2.52	2.82
E-13	390635	1989854	< 0.01	0.65	23	13	102	2.39	47	599	0.06	0.25	2.54	< 0.01	0.36
E-14	390638	1990126	0.02	0.90	296	12	200	6.37	1334	3810	0.08	0.14	2.44	2.62	0.30
E-15	390622	1990152	< 0.01	0.65	40	9	92	3.48	470	4210	0.14	0.16	2.23	0.70	0.26
E-16	390625	1990247	< 0.01	0.65	8	7	45	0.84	375	112	0.09	0.15	2.15	0.39	0.14
E-19	390435	1991978	< 0.01	0.80	7	2	10	1.39	22	1850	0.73	0.29	11.88	< 0.01	0.04
E-20	390407	1992072	0.07	2.81	28	33	14	0.66	15	117	0.05	0.04	2.18	< 0.01	0.23
E-21	390376	1992278	0.18	1.30	130	34	15	2.90	9	108	0.06	0.04	1.78	< 0.01	0.21
E-22	390513	1992167	0.02	0.50	19	4	33	1.37	1394	20	0.03	0.14	0.11	2.47	1.76
E-24	390517	1992036	< 0.01	0.35	24	10	55	0.87	453	133	0.07	0.05	1.51	17.70	0.17
E-25	390386	1991860	0.02	1.20	152	339	1050	1.83	497	220	0.03	0.06	1.37	< 0.01	0.20
E-26	390404	1991860	0.10	0.90	480	14	94	14.24	65	107	0.05	0.03	1.24	< 0.01	0.20
E-27	390450	1991860	0.07	2.96	608	67	94	0.91	38	103	0.63	0.04	0.26	< 0.01	0.19
E-28	390386	1991864	< 0.01	0.80	159	55	553	3.41	243	878	0.08	0.08	2.50	< 0.01	0.67
E-29	390184	1991685	< 0.01	0.30	14	2	1540	1.72	43	40	0.01	0.03	0.21	< 0.01	0.06
E-30	390919	1991584	< 0.01	0.30	28	6	83	3.84	229	649	0.03	0.15	0.25	2.19	2.68
E-31	389827	1991462	< 0.01	0.50	41	6	76	4.81	366	184	0.07	0.19	0.25	1.91	3.43
E-32	389723	1991387	< 0.01	0.45	41	6	75	4.34	267	416	0.07	0.24	0.26	0.21	2.40
E-33	389595	1991344	< 0.01	1.10	30	16	15	2.38	30	313	0.06	0.10	2.33	< 0.01	0.34
E-34	389678	1991236	0.02	0.65	102	26	36	1.44	76	547	0.02	0.06	2.31	< 0.01	0.40
E-35	390125	1990208	< 0.01	0.40	2	2	9	1.36	17	755	0.03	0.12	2.58	< 0.01	0.53
E-36	390033	1990076	< 0.01	0.40	5	5	3	1.92	12	536	0.02	0.11	1.85	< 0.01	0.22
E-37	389885	1989842	< 0.01	0.45	2	5	7	0.64	9	281	0.03	0.09	1.58	< 0.01	0.15
E-38	389503	1989927	< 0.01	0.45	14	12	6	0.96	13	1000	0.03	0.08	0.18	< 0.01	0.06
E-39	389860	1990335	< 0.01	0.30	44	349	93	1.72	224	414	0.05	0.19	0.33	< 0.01	0.21
E-40	390136	1990595	< 0.01	0.45	15	2	28	0.29	1271	142	0.02	0.02	0.04	0.25	0.06
E-41	390136	1990550	0.07	1.25	10	355	10	1.07	26	966	0.13	0.27	2.45	< 0.01	0.68
E-42	390239	1992190	< 0.01	0.40	7	10	16	0.91	21	72	< 0.01	0.07	0.25	< 0.01	0.21
E-43	389957	1992198	< 0.01	0.20	74	9	4	5.25	48	833	0.04	0.11	2.39	< 0.01	0.51
E-45	389838	1992124	< 0.01	0.25	37	< 2	80	6.01	294	969	0.02	2.11	2.57	0.02	5.94
E-46	389341	1991931	< 0.01	0.50	29	19	132	4.38	47	1080	0.05	0.23	1.94	2.35	3.75
E-47	389519	1992010	< 0.01	0.95	33	5	69	3.69	375	241	0.04	0.14	0.20	0.30	1.97
E-50	389536	1992206	< 0.01	0.60	6	< 2	14	0.25	8	837	0.02	0.12	2.40	< 0.01	1.78
E-52	389152	1992185	0.04	0.40	13	14	69	3.64	248	986	0.02	1.86	2.58	2.17	1.28
E-53	389280	1991904	0.15	0.80	10	18	97	3.51	485	743	0.03	0.31	2.09	2.47	1.95
E-54	389173	1991893	< 0.01	0.45	15	16	61	4.26	1486	707	0.04	0.30	2.05	5.54	3.27
E-55	389367	1991618	< 0.01	0.30	10	6	103	1.96	135	341	0.02	0.16	2.05	3.76	4.11
E-56	389454	1991665	< 0.01	0.55	8	3	50	0.77	40	776	< 0.01	0.14	2.55	< 0.01	0.25

No. de Muestra	Coordenadas		Au (ppm)	Ag (ppm)	Cu (ppm)	Pb (ppm)	Zn (ppm)	Fe (%)	Mn (ppm)	Ba (ppm)	S (%)	Na (%)	K (%)	Ca (%)	Mg (%)
	X	Y													
E-58	389238	1991526	< 0.01	1.10	912	17	64	2.91	1476	1600	0.03	2.08	2.08	3.98	2.71
E-59	389160	1991334	< 0.01	0.15	33	14	32	5.30	1286	1160	0.02	2.37	2.55	0.30	3.90
E-60	389456	1991070	< 0.01	< 0.01	70	11	24	2.04	261	2080	0.10	0.06	1.62	< 0.01	0.31
E-61	389305	1991016	< 0.01	< 0.01	28	10	85	4.86	1402	389	0.03	1.38	1.92	3.00	1.64
E-62	389181	1990919	< 0.01	0.05	21	9	58	3.94	435	173	0.01	1.87	2.33	2.34	1.07
E-63	389029	1990691	< 0.01	< 0.01	12	2	203	6.30	1515	18	0.03	0.07	2.22	6.36	5.90
E-64	389085	1991074	0.02	1.90	13	40	34	3.07	223	434	0.05	0.05	0.16	0.25	0.79
E-66	389036	1990920	0.06	0.45	40	16	85	4.06	1481	3410	0.07	0.07	0.02	11.57	7.76
E-67	388801	1990709	< 0.01	0.15	5	14	38	0.88	86	846	0.02	0.14	2.44	0.03	0.25
E-68	388808	1990083	0.02	0.10	4	12	22	0.65	43	459	0.03	0.08	2.50	< 0.01	0.76
E-69	388912	1989699	0.03	0.20	3	10	22	0.47	22	1830	0.04	0.06	2.03	< 0.01	0.18
E-70	389308	1989782	0.02	35.60	18	6	23	2.27	191	524	0.04	0.06	1.16	3.58	0.37
E-71	389460	1989758	0.02	0.45	39	12	670	2.87	129	791	0.04	0.08	2.54	< 0.01	0.55
E-72	390485	1991894	0.02	0.80	15	45	396	2.83	23	1880	0.02	0.11	2.48	< 0.01	0.30
E-73	390479	1991854	0.17	0.95	682	13	1720	19.97	37	22	0.04	< 0.01	0.03	< 0.01	0.09
E-74	390356	1991782	0.03	2.61	217	5	33	3.28	1271	33	0.02	0.03	0.04	0.01	1.21
E-75	390253	1991694	< 0.01	0.35	32	11	169	8.71	1428	430	0.17	0.07	2.24	0.02	5.96
E-76	389906	1991337	< 0.01	0.50	67	8	204	1.75	78	2920	0.06	0.05	2.50	< 0.01	0.76
E-84	390441	1991596	0.02	0.69	30	27	30	0.96	934	564	0.15	0.04	0.14	36.62	< 0.01
E-85	390386	1991555	0.04	0.55	21	11	80	9.08	53	3063	0.01	0.13	4.28	0.02	0.87
H-29	390372	1990412	< 0.01	0.64	72	19	196	2.49	395	436	0.15	0.04	0.80	37.19	< 0.01
H-32	390626	1990501	0.04	0.59	17	57	135	6.26	658	450	0.22	0.19	1.11	12.28	4.12
H-34	390518	1990392	< 0.01	0.45	88	18	80	3.13	182	498	0.11	0.06	1.09	26.63	0.06
H-41	390306	1990078	0.03	0.15	< 1	10	14	0.56	27	2921	0.01	0.07	1.21	0.15	0.26
H-43	390157	1990095	0.05	0.30	37	16	38	2.02	76	794	0.01	0.06	1.61	0.12	0.35
H-44	390173	1989958	0.02	0.10	9	13	< 2	0.44	13	921	0.01	0.07	0.84	0.07	0.17
H-57	390263	1990316	0.06	2.43	< 1	21	< 2	0.80	< 2	547	0.08	< 0.01	0.39	0.13	0.08
H-61	390189	1990260	0.04	0.35	2	23	8	2.22	32	9531	0.03	0.01	4.82	0.10	0.22
H-66	389887	1990007	0.02	0.24	39	12	< 2	1.33	< 2	542	0.01	0.06	0.27	0.07	0.01
H-70	390097	1990329	0.04	0.10	8	12	< 2	1.11	< 2	1467	0.01	0.02	1.50	0.09	0.33
H-79	390328	1990514	0.02	0.59	35	20	89	2.87	145	1143	0.02	0.20	2.65	1.15	0.37
H-81	390474	1990537	0.02	0.59	32	13	24	2.03	49	1305	0.01	0.20	2.82	0.15	0.54
H-84	390545	1990836	0.01	0.29	182	26	77	1.34	715	1462	0.02	0.05	0.12	0.19	0.09
H-86	390472	1990773	0.02	0.44	35	14	59	2.81	80	917	0.01	0.15	2.35	0.12	0.24
H-88	390327	1990656	0.02	0.54	65	34	122	3.90	157	1000	0.01	0.16	2.58	0.26	0.83
H-90	390200	1990555	< 0.01	0.54	40	16	125	4.57	215	1069	0.01	0.17	2.43	0.18	1.16
H-97	390037	1990470	0.07	0.44	13	14	9	1.08	19	1092	0.01	0.09	1.72	0.06	0.32
H-99	389978	1990371	0.06	0.34	2	14	< 2	1.98	6	276	< 0.01	0.01	0.20	0.09	0.05
H-102	389934	1990470	0.03	0.63	35	23	< 2	0.81	11	350	0.01	0.02	0.44	0.08	0.09
H-105	390038	1990557	0.08	0.48	13	13	274	2.25	30	143	0.01	0.06	0.05	0.05	< 0.01
H-106	390071	1990585	0.12	0.43	22	14	20	1.97	15	1537	0.01	0.10	2.16	0.06	0.28
H-108	390240	1990735	0.04	0.48	83	23	97	6.42	64	1037	0.01	0.15	2.42	0.05	0.23
H-110	390326	1990792	0.05	0.29	14	26	45	3.87	31	1282	0.01	0.18	3.24	0.04	0.44
H-113	390432	1990878	0.02	0.39	6	23	8	1.23	5	949	0.01	0.12	2.48	0.08	0.29

No. de Muestra	Coordenadas		Au (ppm)	Ag (ppm)	Cu (ppm)	Pb (ppm)	Zn (ppm)	Fe (%)	Mn (ppm)	Ba (ppm)	S (%)	Na (%)	K (%)	Ca (%)	Mg (%)
	X	Y													
H-114	390279	1990854	0.07	0.39	87	28	61	3.31	95	953	0.03	0.13	2.24	0.23	0.26
H-116	390268	1990906	0.03	0.48	56	23	348	11.34	1458	650	0.12	0.01	0.62	31.21	< 0.01
H-117	390423	1991012	< 0.01	0.24	4	19	12	1.00	277	2044	0.04	0.29	4.64	1.18	0.04
H-119	390547	1991115	< 0.01	0.24	53	29	118	9.52	243	981	0.18	0.24	2.24	0.19	0.56
H-122	390463	1991185	< 0.01	< 0.01	49	35	114	2.15	644	547	0.10	0.05	0.66	23.30	0.19
H-125	390294	1991053	< 0.01	0.05	36	47	86	11.26	19	813	0.01	0.09	1.80	0.02	0.14
H-126	390226	1990994	0.02	1.15	42	25	< 2	0.77	12	492	0.05	< 0.01	0.04	0.12	0.03
H-133	389949	1990766	< 0.01	1.25	12	37	< 2	0.59	26	1558	0.01	0.01	0.76	0.13	0.13
H-138	390160	1991079	0.01	1.06	5	27	< 2	1.01	4	60	0.01	0.05	0.08	0.08	0.01
H-139	390139	1991062	0.02	6.00	125	30	51	9.01	21	300	0.02	< 0.01	0.27	0.04	0.02
H-145	389880	1990983	0.02	0.82	90	35	97	2.45	86	1249	0.08	0.01	0.95	0.08	0.23
H-147	389972	1991064	0.03	0.24	67	26	< 2	2.02	< 2	503	0.03	< 0.01	0.34	0.10	0.08
H-149	390073	1991147	< 0.01	0.05	14	24	29	0.82	97	1142	0.01	0.08	1.55	0.11	0.16
H-150	390312	1991219	< 0.01	0.19	31	28	27	2.30	3	784	0.01	0.07	0.79	0.07	0.08
H-152	390498	1991358	< 0.01	0.52	36	47	105	4.85	40	1085	0.01	0.17	2.50	0.11	0.82
H-153	390596	1991579	< 0.01	0.43	36	52	116	4.42	230	1150	0.01	0.17	2.08	0.60	1.31
H-157	390351	1991379	0.02	1.38	24	19	7	0.80	3	155	0.01	< 0.01	0.27	0.09	0.07
H-8	390555	1992275	0.03	0.71	134	11	118	0.57	134	733	0.22	0.05	1.12	0.10	0.26
H-9	390497	1992338	< 0.01	1.15	59	33	86	1.00	25	250	0.14	0.01	0.52	32.98	< 0.01
H-10	390475	1992225	< 0.01	0.33	29	31	112	0.51	688	138	0.02	0.06	0.53	17.77	0.01
H-11	390371	1992104	0.08	1.43	59	250	146	6.49	32	597	0.01	< 0.01	0.80	0.07	0.17
H-12	390192	1991987	0.01	0.76	87	44	273	4.96	196	1928	0.01	0.17	3.10	0.11	0.80
H-13	390133	1991946	0.06	2.05	55	98	142	2.62	29	1136	0.05	0.01	1.41	0.07	0.30
H-14	389953	1991811	< 0.01	0.62	106	21	105	2.40	88	1009	0.01	0.04	0.34	0.07	0.08
H-15	389879	1991746	< 0.01	0.72	87	33	268	1.92	593	916	0.01	< 0.01	0.76	0.08	0.13
H-16	390589	1991826	< 0.01	0.43	29	68	139	3.65	909	266	0.13	0.02	0.48	36.21	0.66
H-17	390444	1991720	< 0.01	0.85	118	< 2	836	2.76	15	1094	0.01	0.19	1.75	0.08	0.13
H-19	390166	1991491	< 0.01	0.25	< 1	< 2	104	1.18	51	815	0.02	0.16	2.68	0.21	0.41
H-20	390008	1991371	< 0.01	0.44	20	< 2	271	1.12	52	504	0.01	0.14	1.83	0.05	0.15
H-21	389831	1991218	0.04	0.59	14	12	144	1.00	22	527	0.01	0.04	0.61	0.14	0.13
H-3	390138	1990933	< 0.01	0.05	24	8	82	5.52	448	646	0.05	0.87	2.12	0.29	6.02
U-3	389981	1990920	0.01	0.99	151	197	100	0.93	23	404	0.11	0.08	2.54	< 0.01	0.27
U-5	389953	1990898	< 0.01	1.01	102	2	82	0.92	130	732	0.01	0.12	2.59	2.20	0.54
U-8	389919	1990533	< 0.01	0.35	24	12	6	6.69	100	2530	0.08	0.07	9.11	< 0.01	0.62
U-9	389889	1990566	< 0.01	< 0.01	4	10	48	1.26	301	504	0.04	0.04	0.13	0.02	0.07
U-10	389843	1990518	< 0.01	0.40	292	10	759	31.75	116	43	0.22	< 0.01	0.15	< 0.01	0.03
U-11	389982	1990275	< 0.01	0.05	2	4	23	0.45	9	623	0.02	0.06	2.17	< 0.01	0.20
U-12	389947	1989992	< 0.01	0.10	4	2	5	1.05	64	271	0.01	0.05	0.26	< 0.01	0.11
U-13	389972	1989837	0.04	0.25	5	3	12	1.52	13	771	0.01	0.07	2.56	< 0.01	0.28
U-14	389742	1990576	0.02	< 0.01	5	< 2	21	0.17	3	968	0.04	0.05	0.10	< 0.01	0.04
U-15	389675	1990632	0.02	0.35	61	2	81	5.98	1254	1850	0.04	0.06	2.52	< 0.01	0.65
U-17	389546	1990726	0.04	0.20	41	18	102	6.09	318	907	0.26	2.98	1.74	1.06	4.64
U-19	389410	1990609	< 0.01	0.44	27	6	33	1.71	264	441	0.17	0.06	2.24	0.04	0.84
U-20	389341	1990507	0.04	0.40	7	10	82	2.30	1235	367	0.13	0.07	1.34	3.46	3.51

No. de Muestra	Coordenados		Au (ppm)	Ag (ppm)	Cu (ppm)	Pb (ppm)	Zn (ppm)	Fe (%)	Mn (ppm)	Ba (ppm)	S (%)	Na (%)	K (%)	Ca (%)	Mg (%)
	X	Y													
U - 21	389429	1990385	< 0.03	0.35	6	5	18	0.35	13	4840	0.05	0.05	0.26	< 0.01	0.14
U - 22	389466	1990317	< 0.01	0.25	71	5	237	8.31	1502	234	0.06	0.05	< 0.01	0.12	0.95
U - 23	389684	1990255	< 0.01	0.25	16	< 2	22	0.54	54	3710	0.11	0.08	1.71	< 0.01	0.28
U - 24	390044	1991024	0.01	0.10	16	< 2	31	2.35	53	436	0.02	0.05	0.10	< 0.01	0.13
U - 25	390272	1991140	< 0.01	0.30	5	10	6	0.16	8	48	0.05	0.05	0.06	< 0.01	0.04
U - 26	390510	1990734	< 0.01	0.35	33	9	86	5.02	131	462	< 0.01	0.19	2.54	< 0.01	1.87
U - 27	390623	1990582	0.02	0.35	24	13	122	5.93	387	535	0.05	0.13	2.57	0.09	0.39
U - 28	390260	1991289	0.06	0.40	90	27	32	7.66	17	638	< 0.01	0.13	2.50	< 0.01	0.66
U - 30	390261	1991478	0.01	0.64	5	6	9	0.49	5	2760	0.04	0.08	2.58	< 0.01	0.14
U - 31	390361	1991602	< 0.01	0.25	5	29	16	0.93	44	1150	< 0.01	0.24	9.30	< 0.01	1.08
U - 32	390481	1991692	< 0.01	0.30	11	14	11	2.12	17	357	< 0.01	0.11	2.56	< 0.01	0.95
U - 33	390496	1991709	0.02	0.44	62	9	30	0.77	309	26	0.09	0.08	0.25	12.08	0.12
U - 34	390596	1991686	0.02	< 0.01	13	4	121	3.90	1373	1660	0.06	2.37	2.16	2.30	1.31
U - 35	390548	1991628	< 0.01	0.30	22	10	40	3.11	28	593	< 0.01	0.25	2.56	0.01	0.64
U - 36	390485	1991544	0.03	< 0.01	9	< 2	15	1.25	358	40	0.24	0.07	0.15	40.09	0.18
U - 37	390404	1991790	< 0.01	< 0.01	26	10	74	2.20	1450	152	< 0.35	0.09	1.47	16.28	1.12
U - 38	390172	1991414	< 0.01	< 0.01	4	7	13	0.19	4	23	< 0.01	0.06	0.09	< 0.01	0.05
U - 39	389992	1991261	< 0.01	< 0.01	27	6	34	1.25	19	125	< 0.01	0.08	1.35	< 0.01	0.11
U - 40	389938	1991254	< 0.01	0.25	23	2	19	1.11	25	61	< 0.01	0.05	0.26	< 0.01	0.09
U - 41	389700	1991141	< 0.01	< 0.01	7	< 2	15	0.23	3	88	< 0.01	0.06	0.22	< 0.01	0.08
U - 42	389658	1990928	< 0.01	0.41	21	14	71	4.03	390	85	0.03	0.11	0.05	4.38	0.99
U - 43	390147	1990389	< 0.01	< 0.01	10	42	13	2.24	31	910	< 0.01	0.20	2.47	< 0.01	1.93
U - 44	390139	1990422	0.02	0.40	14	3	15	1.68	19	881	0.01	0.11	2.56	< 0.01	0.71
U - 45	390096	1990508	0.01	0.40	3	< 2	5	0.17	5	302	< 0.01	0.09	2.31	< 0.01	0.36
U - 47	390053	1992083	< 0.01	0.35	4	< 2	8	0.60	15	517	< 0.01	0.09	1.82	< 0.01	0.25
U - 49	389839	1991945	0.02	0.30	144	23	6	5.92	37	576	0.02	0.05	2.01	< 0.01	0.35
U - 50	389866	1991944	< 0.01	0.49	12	12	75	2.11	18	20	< 0.01	0.06	0.03	< 0.01	0.06
U - 52	389946	1990115	< 0.01	< 0.01	12	< 2	20	6.51	16	829	< 0.01	0.07	2.40	< 0.01	0.36
U - 53	389924	1989903	< 0.01	0.35	2	5	9	1.93	10	352	< 0.01	0.08	2.37	< 0.01	0.28
U - 55	388843	1991837	< 0.01	< 0.01	8	12	62	1.69	1511	285	0.14	0.68	0.26	18.13	10.83
U - 56	388981	1991616	< 0.01	< 0.01	10	12	61	3.99	458	498	0.06	0.08	1.32	2.77	3.25
U - 58	388968	1991523	< 0.01	0.33	14	49	144	2.94	301	143	0.06	0.15	1.12	9.38	4.29
U - 60	388910	1990517	< 0.01	0.20	5	14	15	1.78	41	130	1.30	0.08	2.38	0.04	0.37
U - 63	389603	1989962	0.01	4.26	81	50	880	6.73	52	818	0.01	0.09	1.83	0.04	0.13
U - 65	390449	1992031	< 0.01	1.12	119	11	339	5.13	47	321	0.01	0.12	3.67	< 0.01	0.82
U - 66	390371	1991961	< 0.01	1.44	82	28	486	5.32	20	363	0.01	0.09	1.00	0.03	5.16
A - 1	373106	1932727	0.07	0.05	12	12	53	1.92	123	87	0.02	0.16	0.58	1.48	0.53
A - 2	373293	1933013	< 0.01	0.11	19	18	105	2.95	175	575	0.01	0.95	2.58	1.00	0.92
A - 3	373736	1932852	< 0.01	0.87	31	31	128	4.19	150	564	0.01	0.96	2.25	0.77	1.28
A - 4	374037	1932766	< 0.01	0.14	23	22	33	1.86	471	38	0.82	0.83	0.23	24.50	0.95
A - 5	374426	1932641	< 0.01	0.21	32	21	41	1.35	300	86	0.59	0.35	0.44	24.24	0.49
A - 6	374866	1932209	< 0.01	0.05	23	20	44	1.15	239	110	0.61	0.75	0.39	23.71	0.33
A - 7	375282	1931902	< 0.01	1.45	44	43	186	5.23	195	443	< 0.01	1.09	2.74	0.27	2.01
A - 8	375770	1931696	< 0.01	0.23	22	21	81	3.18	273	384	0.49	1.67	1.90	1.71	1.07

No. de Muestra	Coordenados		Au (ppm)	Ag (ppm)	Cu (ppm)	Pb (ppm)	Zn (ppm)	Fe (%)	Mn (ppm)	Ba (ppm)	S (%)	Na (%)	K (%)	Ca (%)	Mg (%)
	X	Y													
A - 9	376096	1931989	< 0.01	0.24	89	16	34	1.84	702	638	0.30	0.35	3.81	13.76	1.73
A - 10	376478	1931902	< 0.01	0.03	75	22	59	4.98	1150	190	0.09	0.41	0.44	11.37	5.53
A - 11	376929	1931832	< 0.01	< 0.01	55	30	82	5.91	1175	186	0.03	3.32	0.37	6.74	3.78
A - 12	375591	1931786	< 0.01	< 0.01	91	21	71	5.54	1292	809	0.09	1.58	1.68	8.19	4.28
A - 13	377602	1932166	< 0.01	< 0.01	54	15	63	5.07	1063	814	< 0.01	2.20	1.53	5.27	4.31
A - 14	377904	1932188	0.19	0.05	90	29	55	6.24	1176	158	0.04	1.37	0.60	7.37	8.09
A - 15	378823	1931952	< 0.01	< 0.01	71	25	73	5.99	1143	33	< 0.01	2.96	0.09	6.32	4.85
A - 16	378258	1932054	< 0.01	< 0.01	83	18	63	5.07	1163	272	0.03	3.36	0.78	6.44	4.29
A - 17	379440	1932273	< 0.01	0.17	62	7	29	3.31	93	201	< 0.01	0.10	0.64	0.02	0.22
A - 18	378742	1932232	< 0.01	0.02	119	38	90	6.89	1424	289	0.06	2.62	0.84	5.17	3.99
A - 19	378531	1932777	< 0.01	< 0.01	147	63	63	6.51	1635	30	0.02	1.20	0.08	12.58	4.83
A - 20	378923	1932625	0.04	0.13	85	24	67	4.67	1106	237	0.27	2.79	0.71	7.77	3.90
A - 21	379740	1932772	0.04	< 0.01	82	23	101	4.94	864	278	0.04	3.06	0.63	5.29	1.75
A - 22	380193	1932971	< 0.01	0.05	99	28	68	6.98	1063	338	0.01	0.93	1.14	6.99	7.15
A - 23	381287	1933335	0.03	0.03	111	38	79	6.90	1084	690	0.04	1.51	1.86	5.99	6.44
A - 24	382018	1933299	0.03	< 0.01	78	35	41	3.39	347	359	< 0.01	0.12	3.25	0.21	1.85
A - 25	382463	1933797	0.05	< 0.01	105	21	79	6.03	1120	317	0.03	4.00	0.73	2.56	3.90
A - 26	382846	1933782	0.04	0.25	10	11	15	1.11	83	663	0.22	0.08	2.24	< 0.01	0.78
A - 27	383178	1934158	0.03	0.21	18	31	35	0.99	1783	339	0.43	2.04	1.25	12.95	0.39
A - 28	383269	1934649	0.06	0.23	25	31	117	3.59	241	582	0.75	1.40	2.35	1.96	1.09
A - 29	383793	1934778	0.04	0.15	25	35	96	4.46	336	516	0.07	1.41	2.00	0.11	1.33
A - 30	384191	1934776	0.05	0.20	50	28	121	3.91	393	381	0.40	2.15	1.96	1.92	1.99
A - 31	384772	1934645	0.01	0.43	17	26	71	3.05	294	588	0.24	1.68	1.86	0.47	1.03
A - 32	385268	1934509	0.05	0.23	65	25	90	6.71	846	512	0.01	2.07	1.24	2.34	3.60
A - 33	385711	1934745	< 0.01	0.13	20	20	35	1.15	660	42	0.19	1.37	0.12	25.34	0.39
A - 34	386340	1934668	0.01	0.31	28	23	111	0.86	533	26	0.49	0.06	0.10	26.99	0.45
A - 35	386787	1934505	0.04	0.07	37	23	158	1.37	370	417	0.97	0.32	0.51	16.96	0.45
A - 36	387381	1934546	0.03	0.07	46	20	218	0.90	442	75	0.71	0.05	0.20	17.15	0.17
A - 37	387667	1934595	< 0.01	0.29	34	29	58	1.77	590	149	0.16	0.32	0.87	20.50	0.68
A - 38	388220	1934697	0.03	1.60	56	60	175	4.35	298	440	0.04	0.91	2.05	4.05	1.92
A - 39	388662	1934780	< 0.01	0.50	72	46	210	4.76	194	560	0.02	1.43	2.45	0.83	2.38
A - 40	389233	1934681	0.05	0.27	44	11	119	2.73	89	445	0.02	0.15	0.07	1.44	0.45
A - 41	389590	1934124	0.03	0.01	57	13	175	3.93	200	395	0.02	0.19	2.67	1.44	0.43
A - 42	389970	1933929	< 0.01	0.25	24	27	30	1.28	226	172	1.10	0.35	0.59	29.96	0.49
A - 43	390535	1933801	0.03	0.15	41	13	91	2.96	1037	110	0.12	0.08	0.81	14.62	0.15
A - 44	390909	1933884	< 0.01	0.28	63	29	28	2.65	806	361	0.10	0.23	0.99	12.61	1.60
A - 45	391314	1934169	0.02	0.12	92	46	100	6.20	1393	285	0.12	0.86	1.48	8.54	4.26
A - 46	391648	1934678	0.06	1.40	60	32	25	6.41	120	804	0.75	0.15	3.07	0.02	1.12
A - 47	392429	1934773	0.03	0.38	71	21	80	5.33	1161	286	0.05	2.34	1.43	9.25	4.33
A - 48	392908	1935268	0.02	0.32	73	51	134	7.12	333	130	0.01	2.04	0.83	3.10	4.15
A - 49	393318	1936332	0.04	0.24	35	19	114	3.39	345	643	0.01	0.81	2.75	0.20	1.35
B - 1	391446	1929276	0.05	< 0.01	21	19	84	0.86	986	16	0.31	0.04	0.49	21.12	0.12
B - 5	391554	1928750	< 0.01	0.29	78	29	331	2.23	15	886	< 0.01	0.54	1.44	0.02	0.23
B - 6	391455	1928552	< 0.01	0.34	54	26	323	2.25	23	445	< 0.01	1.16	< 0.01	0.57	0.57

No. de Muestra	Coordenadas		Au (ppm)	Ag (ppm)	Cu (ppm)	Pb (ppm)	Zn (ppm)	Fe (%)	Mn (ppm)	Ba (ppm)	S (%)	Na (%)	K (%)	Ca (%)	Mg (%)
	X	Y													
B-9	391411	192897	< 0.01	0.39	87	12	460	2.78	< 2	423	< 0.01	0.11	0.74	< 0.01	0.17
B-10	391569	1927694	< 0.01	0.07	31	24	36	1.20	348	20	0.39	0.05	0.10	30.70	0.37
B-11	392701	1924333	< 0.01	0.05	18	21	33	1.00	1205	49	0.27	0.05	0.06	32.98	0.10
B-12	392692	1924681	< 0.01	0.21	25	11	333	3.32	127	88	< 0.01	0.04	0.14	0.13	0.04
B-13	392660	1925076	< 0.01	0.27	50	13	89	2.02	13	355	< 0.01	0.12	0.67	0.06	0.13
B-14	392518	1926205	< 0.01	3.26	15	12	6	0.30	269	7	0.15	0.04	0.02	20.74	0.05
B-15	392514	1926420	< 0.01	24.63	13	17	16	0.47	5	55	0.25	0.04	0.03	34.82	0.20
B-17	392097	1926902	< 0.01	0.38	24	24	66	0.84	299	75	0.23	0.04	0.19	32.04	0.13
B-18	391855	1927310	0.06	0.34	56	19	324	3.23	15	686	< 0.01	0.10	0.68	0.07	0.16
B-20	391774	1927464	0.03	0.13	13	27	12	0.30	621	29	0.18	0.05	0.09	26.51	0.06
B-21	392249	1933321	0.04	0.11	85	8	77	5.05	75	187	0.02	0.08	0.54	0.40	0.14
B-24	391913	1933352	< 0.01	< 0.01	27	8	44	4.87	7	793	< 0.01	0.12	1.28	< 0.01	0.15
B-25	391892	1933617	0.01	< 0.01	20	31	140	4.52	55	603	< 0.01	0.32	2.15	< 0.01	0.76
B-26	391744	1933850	0.05	0.27	31	30	194	3.50	212	584	0.36	1.42	1.93	0.59	1.39
B-27	392982	1934435	0.01	< 0.01	4	4	68	3.35	54	320	< 0.01	0.11	2.31	< 0.01	0.54
B-29	394116	1933319	< 0.01	0.28	26	36	108	4.56	248	338	0.11	1.19	2.05	3.81	1.46
B-32	393915	1933408	0.04	0.20	30	55	128	5.46	148	311	< 0.01	1.04	1.82	0.19	1.17
B-33	393397	1933888	0.01	0.21	20	14	119	3.19	63	672	< 0.01	0.27	1.52	< 0.01	0.67
B-34	393250	1933911	< 0.01	0.38	15	20	70	3.94	231	258	0.53	0.90	1.51	4.11	1.04
B-35	392892	1934262	< 0.01	0.29	19	18	79	2.91	17	423	< 0.01	0.19	2.05	< 0.01	0.24
B-36	392892	1934261	< 0.01	0.11	86	23	76	5.62	990	395	0.02	3.71	1.10	4.92	3.05
B-37	392697	1934567	< 0.01	0.03	21	12	25	3.49	146	594	< 0.01	0.83	1.64	0.07	0.67
B-38	392696	1934567	< 0.01	0.08	35	20	51	3.27	22	312	< 0.01	0.08	2.40	0.04	0.65
B-39	392625	1934837	< 0.01	< 0.01	21	7	14	2.16	14	229	< 0.01	0.06	1.13	< 0.01	0.30
B-43	391247	1927086	< 0.01	0.21	16	17	55	0.63	700	67	0.23	0.03	0.09	27.42	0.17
B-45	391438	1926933	< 0.01	0.21	54	39	221	4.46	138	279	0.01	0.10	1.25	0.68	1.15
B-47	391837	1924875	< 0.01	0.01	8	21	54	0.76	268	28	0.30	0.20	0.03	31.16	0.33
B-48	391911	1924221	< 0.01	0.34	9	23	52	1.19	896	47	0.37	0.03	0.12	30.99	0.16
B-49	390858	1926792	0.04	0.05	16	28	71	1.56	619	34	0.97	0.82	0.10	28.86	0.32
B-50	390604	1926364	0.02	0.45	17	21	38	1.69	534	246	0.22	0.37	0.69	25.15	0.76
B-51	390170	1926429	0.03	0.56	22	26	79	2.22	1197	71	0.22	0.25	0.25	27.01	1.13
B-52	389864	1926788	< 0.01	0.64	63	39	245	0.61	283	638	< 0.01	0.30	2.27	0.18	1.59
B-54	390215	1925957	0.01	0.72	69	37	316	5.05	53	467	< 0.01	0.17	2.09	< 0.01	1.19
B-55	390205	1925312	0.02	1.10	45	50	177	4.13	315	408	< 0.01	1.47	1.56	0.19	1.38
B-56	390069	1924687	0.02	0.22	39	27	191	3.84	52	753	< 0.01	0.67	3.72	0.20	1.51
B-57	390763	1923911	0.03	0.19	11	24	53	1.12	708	34	0.37	0.42	0.07	32.69	0.27
B-58	390757	1923907	0.03	0.28	73	30	189	4.32	175	508	0.01	1.33	2.30	0.67	1.45
B-59	391244	1927635	0.02	0.21	24	24	24	1.51	585	74	0.25	0.69	0.47	30.92	0.23
B-60	391744	1927634	0.03	0.34	61	29	157	4.75	89	364	< 0.01	0.59	1.67	0.28	1.19
B-61	394141	1926174	0.01	< 0.01	45	19	70	5.45	1183	77	0.01	4.72	0.14	2.57	3.95
B-63	393582	1936526	0.02	< 0.01	68	55	74	6.35	1117	266	0.01	2.31	1.24	2.84	6.12
B-65	393582	1936586	0.03	0.24	12	12	56	2.33	236	374	< 0.01	0.13	1.82	0.06	0.50
B-68	393484	1936773	0.04	0.67	75	27	395	4.70	54	337	< 0.01	0.12	2.01	0.11	0.80

No. de Muestra	Coordenados		Au (ppm)	As (ppm)	Cu (ppm)	Pb (ppm)	Zn (ppm)	Fe (%)	Mn (ppm)	Ba (ppm)	S (%)	Na (%)	K (%)	Ca (%)	Mg (%)
	X	Y													
B-69	392185	1936905	< 0.01	0.06	45	23	82	5.46	1180	321	0.01	3.19	0.19	5.09	7.06
B-70	392125	1937058	0.04	0.15	66	41	109	6.53	1218	484	0.01	2.68	0.92	2.29	6.44
B-76	392822	1937374	0.03	0.80	72	30	67	6.69	1289	664	0.09	2.21	1.22	7.23	4.37
B-79	393311	1937376	< 0.01	< 0.01	9	26	131	7.51	1287	192	0.08	1.93	0.18	7.94	5.80
B-80	393815	1937560	0.04	0.10	17	38	85	9.47	1505	860	0.03	2.03	1.56	0.49	0.42
B-82	393896	1937911	0.04	0.37	11	27	38	1.87	1691	1043	0.41	2.36	2.75	0.53	0.79
B-83	393542	1935696	0.02	0.31	28	17	69	3.23	52	81	< 0.02	0.12	0.45	0.02	0.15
B-85	393340	1935590	0.03	0.25	24	17	64	3.31	98	200	< 0.01	0.09	0.82	< 0.01	0.21
B-89	392536	1935107	0.03	0.01	49	11	136	5.62	170	421	< 0.01	0.10	2.16	< 0.01	0.73
B-90	392085	1934862	0.03	0.26	81	33	197	6.93	846	101	0.24	2.60	0.39	6.49	4.60
B-91	391661	1934508	0.03	0.22	26	8	13	1.94	123	288	< 0.01	0.10	2.22	0.16	0.77
B-100	389006	1935187	0.02	0.01	12	18	36	1.21	888	45	0.21	0.07	0.22	25.82	0.12
B-101	388776	1935655	< 0.01	0.06	5	18	9	0.71	601	40	0.26	0.33	0.11	32.14	0.24
B-103	390160	1935093	0.02	0.01	15	28	29	1.82	762	62	0.27	0.40	0.43	29.05	0.67
B-104	388596	1934699	< 0.01	< 0.01	12	23	35	1.09	398	44	0.26	0.21	0.30	31.97	0.27
B-106	386749	1934555	< 0.01	0.01	8	26	37	0.53	703	26	0.34	0.06	0.07	32.86	0.21
B-107	385750	1934771	< 0.01	0.19	11	28	39	1.14	1116	74	0.23	0.32	0.22	27.07	0.43
B-108	386022	1935243	0.05	0.03	13	35	30	3.34	181	552	0.01	1.04	2.71	0.41	0.85
B-109	389568	1937378	0.04	0.08	20	31	40	1.86	328	250	0.14	0.85	1.38	14.87	0.87
B-110	388723	1936973	0.03	0.15	20	26	41	1.61	494	52	0.24	0.27	0.44	27.95	0.67
B-112	390430	1936395	0.02	0.05	18	43	80	1.87	62	868	< 0.01	0.88	5.57	0.40	1.58
B-113	391992	1934591	< 0.01	< 0.01	23	35	75	2.84	119	466	< 0.01	1.63	2.32	0.10	1.09
B-114	394188	1926439	0.02	0.07	44	22	153	4.48	85	435	< 0.01	0.17	2.29	< 0.01	1.29
B-115	393978	1926734	< 0.01	< 0.01	32	20	93	1.94	18	354	< 0.01	0.14	1.77	< 0.01	0.26
B-116	393683	1927045	< 0.01	0.20	22	35	115	4.01	312	544	< 0.01	0.58	2.22	0.21	0.98
B-117	393384	1927382	0.01	0.01	16	33	118	4.37	169	579	0.01	0.66	2.79	0.13	0.96
B-118	393211	1927846	0.01	0.01	19	40	96	3.49	88	565	< 0.01	1.34	1.75	0.09	0.83
B-119	393234	1928236	< 0.01	0.01	22	40	117	4.58	106	426	< 0.01	0.22	2.16	0.10	0.82
B-120	392939	1928746	< 0.01	< 0.01	10	18	21	1.83	41	1033	< 0.01	0.26	4.22	< 0.01	0.63
B-121	392622	1929314	< 0.01	0.01	16	16	133	4.72	45	536	0.01	0.10	1.75	0.03	0.46
B-122	392118	1928670	< 0.01	< 0.01	4	13	8	1.03	37	1089	0.01	0.09	2.56	0.02	0.60
B-123	391713	1929615	0.04	0.17	10	23	21	0.74	720	48	0.27	0.05	0.11	32.52	0.07
B-124	391484	1929497	0.03	0.01	9	13	102	2.20	14	375	< 0.01	0.10	1.25	0.05	0.20
B-125	394143	1932070	0.05	0.19	21	34	95	5.67	204	710	0.02	0.78	2.96	0.07	0.68
B-126	390330	1932262	< 0.01	0.04	32	39	117	4.72	282	333	0.07	0.64	1.75	8.91	1.51
B-127	392831	1932442	0.02	0.13	35	38	134	6.74	87	467	< 0.01	0.31	2.27	< 0.01	1.16
B-128	392385	1932789	0.02	0.36	36	59	120	6.12	451	516	0.01	0.64	1.74	0.45	1.30
B-129	391814	1932988	0.01	0.06	27	38	131	4.47	68	571	0.04	0.38	2.50	0.07	1.06
B-130	391697	1933245	< 0.01	0.06	31	37	130	4.37	168	521	< 0.01	0.54	1.96	0.13	0.97
B-131	387172	1934215	0.02	0.06	9	28	11	0.74	424	32	0.28	0.14	0.11	35.52	0.31
B-132	387851	1933933	0.03	0.30	11	25	24	1.63	646	41	0.26	0.66	0.14	30.92	0.36
B-133	387912	1933056	0.02	0.06	29	43	125	2.36	466	137	0.19	0.44	0.73	21.31	1.10
B-134	387678	1932512	< 0.01	< 0.01	14	24	48	1.05	516	31	0.46	0.04	0.06	34.01	0.31

No. de Muestra	Coordenadas		Au (ppm)	Ag (ppm)	Cu (ppm)	Pb (ppm)	Zn (ppm)	Fe (%)	Mn (ppm)	Ba (ppm)	S (%)	Na (%)	K (%)	Ca (%)	Mg (%)
	X	Y													
B-135	387232	1932166	< 0.01	< 0.01	9	31	20	0.56	463	55	0.37	0.27	0.13	31.73	0.43
B-136	386742	1932345	< 0.01	0.07	14	24	40	0.86	1186	108	0.30	0.35	0.10	35.68	0.15
B-137	386642	1932197	< 0.01	0.15	< 1	11	32	0.73	259	16	< 0.01	0.36	0.21	25.58	0.18
B-138	386581	1932745	< 0.01	0.43	19	30	121	3.76	120	426	< 0.01	1.41	1.93	0.42	1.28
B-139	386335	1933917	< 0.01	0.15	14	3	165	1.79	337	151	0.14	0.07	0.37	13.00	0.49
B-140	387056	1934231	< 0.01	0.49	14	3	138	1.90	355	31	0.29	0.04	0.27	21.46	0.05
B-141	392855	1931555	0.03	0.01	< 1	7	20	0.98	353	45	0.18	0.42	0.48	14.98	0.26
B-142	392696	1931572	0.01	0.29	14	20	125	3.63	7	388	< 0.01	1.20	2.50	0.20	1.02
B-143	392298	1931585	< 0.01	< 0.01	< 1	13	27	1.46	359	60	0.24	0.26	0.36	19.97	0.36
B-144	391926	1931471	< 0.01	0.05	15	13	141	4.71	203	382	< 0.01	1.27	2.20	0.30	1.37
B-145	391095	1931596	< 0.01	< 0.01	< 1	7	< 1	0.91	596	26	0.28	0.53	0.08	25.00	0.08
B-146	391068	1931854	< 0.01	< 0.01	3	18	105	4.48	76	566	< 0.01	0.33	2.46	0.22	0.76
B-147	391026	1932258	< 0.01	0.30	6	5	124	4.33	224	292	0.03	1.80	1.54	3.37	1.05
B-148	391340	1934009	< 0.01	< 0.01	< 1	18	58	4.49	780	31	0.01	3.32	0.12	3.70	2.60
B-149	391340	1934009	< 0.01	0.18	57	75	151	22.35	3700	199	0.03	0.11	0.46	2.02	2.60
B-150	391326	1933996	0.02	< 0.01	173	< 2	600	9.05	592	1014	< 0.01	0.15	2.46	< 0.01	0.75
B-151	391111	1935241	< 0.01	< 0.01	55	9	76	5.02	581	106	0.25	2.42	0.20	5.70	2.86
B-154	391152	1935066	< 0.01	< 0.01	56	4	73	5.35	1034	186	0.03	3.35	0.96	5.17	4.02
B-155	391243	1934942	< 0.01	< 0.01	82	5	58	5.49	843	267	0.02	1.17	1.40	6.13	5.48
B-157	391243	1934942	< 0.01	0.03	47	< 2	60	5.88	882	87	0.03	2.85	0.36	4.45	4.79
B-160	391310	1934834	< 0.01	< 0.01	36	3	17	0.85	21	22	0.01	0.01	0.25	0.04	0.97
B-161	391315	1934828	< 0.01	0.01	76	5	104	4.35	952	108	0.03	0.77	0.71	8.05	3.81
B-162	391367	1934668	< 0.01	0.08	22	< 2	25	1.21	< 2	96	0.78	0.05	0.43	< 0.01	0.08
B-164	391400	1934424	0.02	0.08	51	16	97	7.27	1000	214	0.02	2.31	0.47	5.50	4.04
C-2	391469	1933881	< 0.01	< 0.01	51	5	81	5.85	900	16	0.13	1.21	0.12	8.01	2.63
C-3	391527	1933953	0.01	0.07	60	< 2	60	2.91	16	48	< 0.01	0.10	0.20	< 0.01	0.09
C-4	391608	1934146	0.03	0.13	39	< 2	< 2	2.84	< 2	107	0.01	0.03	0.43	< 0.01	0.04
C-5	391039	1931293	0.02	0.18	12	28	119	4.60	514	456	0.01	1.39	2.32	0.25	1.46
C-6	391216	1930343	0.03	< 0.01	1	13	54	2.12	261	44	0.64	0.57	0.61	16.16	0.70
C-7	384410	1921660	0.06	0.29	82	12	234	2.61	396	204	0.15	1.35	0.79	12.74	0.77
C-8	384261	1921557	0.02	0.89	81	< 2	243	2.11	453	335	0.11	1.01	0.66	10.57	0.60
C-9	383870	1920827	< 0.01	0.12	< 1	17	81	2.63	549	228	< 0.01	2.58	1.17	0.08	0.61
C-10	383757	1920816	< 0.01	0.02	< 1	19	73	2.20	242	327	< 0.01	1.58	1.59	0.08	0.43
C-11	383140	1920599	< 0.01	< 0.01	< 1	4	24	2.21	7	539	0.02	1.95	1.73	< 0.01	0.28
C-12	382464	1919733	0.03	< 0.01	48	18	162	4.83	126	551	< 0.01	0.17	2.15	< 0.01	1.02
C-13	381962	1918372	< 0.01	< 0.01	2	< 2	43	0.92	1336	38	0.32	0.37	0.11	20.04	0.22
C-14	382037	1919197	< 0.01	0.08	29	31	98	3.98	169	522	0.02	1.33	2.40	< 0.01	1.47
C-15	381994	1918986	< 0.01	0.03	< 1	18	96	0.39	624	5	< 0.01	2.75	3.27	0.41	0.04
C-17	381136	1918411	0.03	< 0.01	16	11	62	3.97	7	603	< 0.01	0.71	2.93	< 0.01	0.99
C-18	380802	1918405	< 0.01	< 0.01	4	11	103	4.38	1062	199	0.28	2.26	0.85	8.72	1.45
C-19	380237	1918236	0.02	0.47	24	40	113	3.86	181	517	< 0.01	1.09	2.23	0.18	1.59
C-20	380028	1918242	< 0.01	0.15	12	29	116	4.48	535	265	0.05	0.12	1.25	4.93	1.99
C-22	380037	1918015	< 0.01	0.17	15	16	122	3.77	420	480	0.09	1.07	1.74	1.59	1.70



No. de Muestra	Coordenadas		Au (ppm)	Ag (ppm)	Cu (ppm)	Pb (ppm)	Zn (ppm)	Fe (%)	Mn (ppm)	Ba (ppm)	S (%)	Na (%)	K (%)	Ca (%)	Mg (%)
	X	Y													
C-23	380064	1917546	< 0.01	0.26	< 1	10	39	0.71	571	48	0.27	0.19	0.15	22.03	0.44
C-24	380272	1916939	< 0.01	0.33	< 1	13	124	0.36	31	20	0.29	0.04	0.06	22.97	0.26
C-25	383792	1924337	< 0.01	0.09	11	8	70	1.66	687	105	0.13	1.80	0.41	11.59	0.29
C-26	383543	1924070	< 0.01	0.32	23	14	210	1.19	188	144	0.21	0.38	0.55	17.98	0.35
C-27	382877	1923704	< 0.01	0.16	< 1	3	63	0.52	841	29	0.23	0.08	0.06	18.39	0.13
C-28	382345	1922694	0.03	0.18	17	9	131	4.57	191	529	0.03	1.20	2.16	0.19	1.74
C-29	382150	1922356	0.03	0.13	< 1	8	59	1.99	66	430	< 0.01	1.87	1.32	0.09	0.23
C-30	382005	1922324	0.02	0.03	15	4	78	3.65	278	363	0.04	0.07	1.28	3.72	0.25
C-31	381090	1922134	< 0.01	0.61	< 1	8	58	4.57	17	660	< 0.01	0.19	2.53	< 0.01	0.46
C-32	381074	1922130	< 0.01	0.41	7	16	96	3.91	108	597	< 0.01	0.25	2.87	< 0.01	0.90
C-33	379821	1921224	0.05	0.92	11	3	92	3.83	53	377	< 0.01	1.18	1.71	< 0.01	0.49
C-34	379606	1920935	< 0.01	0.22	< 1	33	101	0.42	500	34	< 0.01	2.75	3.26	0.04	< 0.01
C-35	378520	1920247	0.03	0.50	18	13	129	5.25	130	492	< 0.01	1.24	2.54	0.06	1.35
C-41	375752	1920111	0.03	1.21	< 1	68	25	1.67	2	1049	< 0.01	0.09	2.60	< 0.01	0.29
C-42	375545	1920491	0.01	1.12	32	27	140	4.23	81	514	< 0.01	0.94	2.11	< 0.01	1.08
C-43	374918	1920491	0.56	54.58	57	171	46	1.61	< 2	27	0.11	0.02	0.06	0.01	< 0.01
C-44	376085	1921599	< 0.01	0.29	2	15	58	1.65	1008	69	< 0.01	0.94	0.41	17.46	0.48
C-48	375752	1921761	< 0.01	1.02	29	9	365	1.90	10	857	< 0.01	0.42	2.28	0.40	0.71
C-49	375451	1921872	0.01	0.79	19	15	255	3.67	204	804	< 0.01	1.66	2.01	0.02	2.26
C-50	377114	1921758	< 0.01	0.22	32	11	302	2.87	501	339	< 0.01	0.79	1.51	11.49	0.84
C-52	378085	1920211	0.02	0.07	33	22	147	4.98	115	579	< 0.01	0.55	2.40	< 0.01	0.37
C-53	377425	1919864	0.02	< 0.01	40	25	152	5.61	353	570	< 0.01	1.22	2.34	0.09	1.20
C-55	376634	1919323	< 0.01	0.27	< 1	< 2	< 2	0.57	< 2	49	< 0.01	0.02	0.20	0.01	< 0.01
C-57	376786	1918822	0.04	0.05	31	8	167	4.00	321	655	< 0.01	1.18	2.31	0.02	0.40
C-58	377363	1919225	< 0.01	< 0.01	15	4	81	2.58	534	296	0.29	2.65	1.07	7.43	1.27
C-59	377847	1919067	0.03	0.45	7	10	109	0.51	107	40	0.28	0.04	0.12	22.68	0.47
C-60	378187	1919067	< 0.01	< 0.01	31	11	119	4.19	10	677	0.03	0.32	3.11	< 0.01	0.91
C-61	378463	1918964	< 0.01	0.02	32	11	206	4.35	153	499	< 0.01	0.17	2.30	0.07	0.96
C-62	378761	1918869	< 0.01	0.21	31	21	145	5.13	138	547	< 0.01	1.06	2.40	0.08	1.30
C-63	379567	1918740	< 0.01	1.06	8	< 2	103	0.94	422	98	0.26	0.36	0.31	20.55	0.13
C-64	379752	1919002	< 0.01	0.01	47	21	113	6.09	904	90	0.06	3.54	0.38	3.85	2.35
C-65	379969	1919689	< 0.01	0.22	19	19	130	4.39	142	526	< 0.01	1.18	1.86	0.09	1.74
C-66	379106	1921711	< 0.01	< 0.01	30	8	82	5.96	4	504	< 0.01	0.32	2.19	< 0.01	0.48
C-67	378551	1921558	0.03	4.94	30	7	120	4.51	< 2	547	< 0.01	0.11	2.38	< 0.01	0.34
C-68	378378	1921585	< 0.01	0.40	30	34	186	4.10	178	609	< 0.01	1.26	2.46	0.15	1.19
C-69	377932	1922177	< 0.01	0.29	37	29	184	5.06	317	460	< 0.01	1.07	1.86	< 0.01	1.59
C-70	377899	1922470	0.01	0.12	107	11	157	5.37	612	1218	< 0.01	2.27	2.21	< 0.05	0.20
C-71	377766	1922760	0.02	< 0.01	< 1	< 2	127	0.48	412	37	< 0.01	2.25	2.48	< 0.01	0.01
C-72	377655	1923301	0.01	0.11	2	10	58	3.05	16	640	< 0.01	1.55	2.27	< 0.01	0.77
C-73	377253	1923361	0.02	0.02	< 1	7	29	2.97	14	667	< 0.01	0.17	3.78	< 0.01	0.57
C-75	377363	1923908	0.03	0.14	< 1	40	94	5.05	285	406	< 0.01	1.42	1.21	< 0.01	1.34
C-76	377288	1924156	< 0.01	0.29	< 1	5	37	2.42	53	575	< 0.01	2.72	1.93	0.02	0.32
C-77	377203	1924496	< 0.01	0.12	< 1	14	68	2.96	177	517	< 0.01	0.98	1.71	0.06	0.39
C-78	376652	1925022	0.04	0.07	30	41	124	3.50	103	659	< 0.01	1.11	3.32	< 0.01	1.10

No. de muestra	Coordenadas		Au (ppm)	Ag (ppm)	Cu (ppm)	Pb (ppm)	Zn (ppm)	Fe (%)	Mn (ppm)	Ba (ppm)	S (%)	Na (%)	K (%)	Ca (%)	Mg (%)
	X	Y													
C-79	376382	1925881	0.03	< 0.01	< 1	< 2	31	2.86	34	947	< 0.01	0.70	2.10	< 0.01	0.34
C-80	376340	1926190	0.03	0.21	77	< 2	77	2.82	17	526	< 0.01	1.36	2.14	< 0.01	0.52
C-81	376177	1926331	0.03	0.03	< 1	27	63	3.70	304	513	< 0.01	2.99	1.21	0.21	1.12
C-82	376180	1926515	< 0.01	0.18	24	34	155	4.92	168	478	< 0.01	1.89	1.96	0.04	1.60
C-83	387098	1923384	0.03	0.70	25	33	119	3.64	77	501	< 0.01	1.07	1.85	< 0.01	1.13
C-84	381908	1923317	< 0.01	0.25	< 1	11	23	1.13	287	215	0.24	0.58	0.52	19.90	0.49
C-85	381730	1923316	0.03	0.20	20	41	134	5.38	173	585	< 0.01	0.83	2.21	0.72	1.73
C-86	381367	1924322	0.06	0.33	21	21	107	4.93	193	536	< 0.01	0.36	2.17	< 0.01	1.31
C-87	380876	1923729	0.02	0.30	16	36	134	4.31	154	771	< 0.01	0.98	2.58	0.15	1.37
C-88	380016	1924176	0.01	0.34	15	30	117	4.95	147	678	0.01	0.64	2.65	0.07	1.25
C-89	379600	1924582	0.02	0.22	< 1	3	38	1.17	7234	247	0.26	0.20	0.33	14.31	0.10
C-90	379353	1924711	0.02	0.43	22	< 2	119	1.31	399	93	0.18	0.81	0.38	17.60	0.27
C-91	379504	1924378	< 0.01	0.17	< 1	14	20	0.70	413	62	0.21	0.09	0.01	22.27	0.31
C-92	379940	1923767	0.01	0.32	< 1	10	48	0.60	843	44	0.04	0.37	0.01	22.10	0.37
C-93	379904	1923562	0.03	0.22	9	26	85	2.92	749	427	0.08	1.94	1.78	1.33	1.09
C-94	379555	1923453	0.01	0.22	< 1	10	40	1.77	52	533	0.02	2.84	1.99	0.08	0.35
C-95	379818	1923334	< 0.01	0.20	19	32	108	5.74	770	1833	0.29	1.42	4.55	1.56	1.62
C-96	388993	1924440	0.01	0.54	24	47	159	4.60	170	782	< 0.01	0.98	2.83	0.26	1.61
C-97	389132	1924542	0.01	< 0.01	< 1	18	26	1.04	635	19	0.33	0.18	0.26	26.39	0.34
C-98	388795	1924948	< 0.01	0.26	25	53	128	4.51	292	417	0.04	1.37	1.65	4.70	1.49
C-99	388364	1924795	0.01	0.15	34	35	219	4.51	201	545	< 0.01	0.24	3.39	0.30	1.13
C-100	388034	1924759	< 0.01	0.07	13	16	37	1.24	405	30	0.70	0.98	0.31	25.94	0.30
C-101	386737	1924975	0.04	0.09	28	49	117	4.12	91	763	< 0.01	0.26	3.29	0.07	1.16
C-102	386537	1924754	< 0.01	0.16	10	21	51	0.68	342	84	0.18	1.81	0.58	18.39	0.64
C-103	386022	1924683	< 0.01	0.36	29	27	95	4.82	51	527	< 0.01	0.46	2.62	0.05	0.74
C-104	387094	1930907	0.01	0.14	< 1	11	51	0.84	663	21	0.29	0.31	0.27	27.97	0.22
C-105	386878	1931052	0.04	0.12	3	15	16	0.75	381	32	0.27	0.36	0.20	27.40	0.25
C-106	386374	1931152	< 0.01	0.38	11	19	111	1.77	1001	93	0.21	0.07	0.32	24.38	0.09
C-107	386075	1931167	< 0.01	0.41	5	26	36	1.51	332	330	0.19	0.21	0.84	20.21	0.63
C-108	385315	1931596	< 0.01	0.30	< 1	4	25	1.98	30	1080	< 0.01	0.97	2.86	0.13	0.32
C-109	383553	1930954	< 0.01	0.31	20	13	138	2.39	225	692	< 0.01	0.14	3.38	0.18	0.39
C-110	382469	1931312	< 0.01	0.19	9	28	68	2.15	252	351	0.40	0.69	1.71	7.65	0.81
C-111	381867	1931303	< 0.01	0.28	5	19	93	0.64	304	90	0.23	0.14	0.41	23.54	0.20
C-112	373673	1932950	< 0.01	0.38	29	37	111	3.47	2461	572	0.05	0.71	2.32	4.25	0.96
C-114	373780	1933688	< 0.01	0.21	5	31	69	1.84	137	200	0.22	0.09	0.95	20.53	0.57
C-115	373690	1934123	< 0.01	0.37	8	25	121	2.89	131	372	0.02	0.65	2.01	1.19	1.02
C-116	373889	1934786	< 0.01	0.45	49	57	331	5.62	167	569	0.01	1.34	3.29	0.24	2.14
C-117	373992	1934278	< 0.01	0.09	2	27	19	1.19	416	29	0.28	0.07	0.11	28.45	0.22
C-118	374328	1934474	< 0.01	0.24	17	35	71	1.73	298	189	0.16	0.29	1.06	14.36	0.54
C-119	374090	1935639	< 0.01	0.29	14	25	74	2.05	268	260	0.09	0.49	0.93	7.17	0.61
C-120	376377	1935470	< 0.01	0.26	17	31	59	6.04	1386	286	0.01	1.28	0.89	6.38	5.11
C-121	379632	1932296	< 0.01	0.78	48	5	123	3.96	60	1038	0.11	0.09	2.04	0.19	0.50
C-122	379633	1932212	< 0.01	0.11	< 1	6	13	1.01	731	16	< 0.01	0.02	0.05	0.08	0.95
C-123	379986	1932300	0.01	0.07	58	41	59	4.95	1012	375	0.04	1.22	1.01	6.16	3.18

No. de Muestra	Coordenadas		Au (ppm)	Ag (ppm)	Cu (ppm)	Pb (ppm)	Zn (ppm)	Fe (%)	Mn (ppm)	Ba (ppm)	S (%)	Na (%)	K (%)	Ca (%)	Mg (%)
	X	Y													
C-124	379747	1932220	< 0.01	0.08	51	50	64	5.52	1087	306	0.04	0.54	0.81	6.84	3.27
C-125	380356	1932233	0.02	< 0.01	59	52	64	6.15	976	549	0.01	0.45	1.52	3.26	2.24
C-126	380365	1932223	0.02	< 0.01	98	38	63	5.81	1015	482	0.07	0.87	1.39	6.71	3.95
C-127	381028	1932089	< 0.01	0.07	< 1	29	46	2.56	137	793	< 0.01	1.31	3.04	0.18	0.93
C-128	381772	1931897	< 0.01	0.02	< 1	33	181	0.82	143	711	< 0.01	2.18	3.71	0.06	0.06
C-129	381409	1931828	0.03	0.41	32	16	90	0.87	610	126	0.19	0.11	0.42	14.32	0.12
C-130	378860	1931423	0.02	< 0.01	48	34	57	5.16	800	110	0.01	1.72	0.45	6.47	3.83
C-131	379549	1931042	< 0.01	0.04	< 1	34	< 2	0.27	22	21	< 0.01	0.09	1.24	0.10	0.06
C-132	379815	1931056	< 0.01	0.23	8	51	85	4.36	312	149	0.07	2.46	0.93	1.70	1.34
C-133	374303	1927825	0.03	0.03	11	16	83	2.56	79	392	< 0.01	0.19	2.44	< 0.01	0.43
C-134	374099	1927500	0.07	0.15	20	31	110	4.30	122	538	< 0.01	1.11	1.66	0.37	0.54
C-135	374172	1927349	< 0.01	< 0.01	< 1	22	61	2.59	213	768	< 0.01	2.71	1.66	0.37	0.53
C-136	374045	1926926	< 0.01	0.27	6	44	110	3.94	136	408	0.02	2.42	1.69	0.14	1.64
C-137	374226	1926512	0.03	0.20	< 1	22	61	2.51	77	839	< 0.01	1.91	2.94	0.05	0.66
C-138	374206	1925839	< 0.01	0.19	9	20	96	3.23	54	253	< 0.01	1.21	1.61	< 0.01	0.18
C-139	374720	1925691	0.07	0.01	< 1	15	66	2.48	35	1927	< 0.01	1.73	3.12	0.03	0.42
C-140	375209	1925691	0.06	< 0.01	< 1	23	63	2.48	225	728	0.01	1.76	2.03	0.10	0.43
C-141	375295	1925959	0.01	0.10	< 1	29	53	1.86	111	552	< 0.01	1.86	1.74	0.17	0.53
C-142	375539	1925970	< 0.01	0.05	< 1	29	62	1.73	131	1050	0.01	1.60	4.34	0.16	0.79
C-143	375543	1925967	0.02	0.04	< 1	12	55	1.93	219	268	0.09	2.93	1.58	3.00	0.23
C-144	376966	1926633	< 0.01	0.01	< 1	23	46	0.50	201	43	0.33	0.07	0.07	21.55	0.40
C-145	376607	1926160	0.05	0.36	20	17	106	3.42	296	595	< 0.01	0.74	2.78	0.11	0.40
C-146	376902	1925957	0.04	0.10	< 1	16	35	0.69	573	77	0.31	0.28	0.07	23.35	0.37
C-147	377375	1925568	0.04	0.05	19	10	129	7.41	34	282	< 0.01	0.13	2.02	0.07	0.12
C-148	377898	1926113	< 0.01	0.01	21	19	64	2.41	527	301	0.10	1.40	1.41	10.60	0.75
C-149	376082	1926302	< 0.01	0.21	< 1	17	15	0.48	376	36	0.27	0.34	0.06	22.37	0.24
C-150	378338	1926940	0.02	0.32	22	21	134	5.68	197	366	< 0.01	1.39	1.70	0.25	0.20
C-151	379515	1926668	0.03	0.31	21	41	116	4.53	115	411	< 0.01	1.03	2.40	0.25	1.34
C-152	379977	1926799	0.04	0.08	< 1	36	54	2.69	58	414	< 0.01	1.35	1.93	0.16	0.87
C-153	384337	1934619	0.05	0.14	< 1	11	< 1	0.59	4	230	< 0.01	0.04	1.26	0.03	0.22
C-154	384138	1934530	0.03	0.12	< 1	8	4	0.57	< 2	265	< 0.01	0.04	2.06	< 0.01	0.21
C-155	384250	1933537	0.04	0.24	58	42	106	6.60	1087	690	0.01	1.40	2.31	1.60	4.28
C-156	384320	1932854	< 0.01	0.20	< 1	7	100	2.11	103	473	< 0.01	0.15	2.18	0.21	0.22
C-157	383974	1932596	0.03	0.58	3	14	167	0.87	415	86	0.23	0.13	0.30	17.82	0.16
C-158	383257	1932412	0.03	0.33	< 1	20	29	0.71	193	33	0.27	0.25	0.16	21.51	0.13
C-159	382547	1932493	0.02	0.23	57	8	12	1.24	< 2	470	< 0.01	0.13	1.40	0.15	0.28
C-160	381836	1932587	0.03	0.13	< 1	25	22	3.05	275	732	< 0.01	0.77	2.99	0.34	1.30
D-1	381706	1932875	0.02	0.30	299	37	91	7.10	555	362	< 0.01	0.13	2.67	0.33	1.07
D-2	391012	1933733	0.03	0.35	< 1	14	86	0.58	869	42	0.26	0.03	0.09	21.19	0.11
D-3	390902	1933615	0.05	0.13	2	33	36	3.97	478	352	< 0.01	1.13	1.66	0.13	1.01
D-4	390365	1933567	0.01	0.52	< 1	9	23	1.43	575	50	0.22	0.06	0.43	18.01	0.07
D-5	390201	1933233	< 0.01	0.49	50	23	73	5.37	921	31	0.04	2.77	0.90	5.25	2.58
D-6	390110	1932388	0.03	0.27	47	< 2	52	2.32	314	133	0.02	0.07	0.71	1.54	0.15

No. de Muestra	Coordenadas		Au (ppm)	Ag (ppm)	Cu (ppm)	Pb (ppm)	Zn (ppm)	Fe (%)	Mn (ppm)	Ba (ppm)	S (%)	Na (%)	K (%)	Ca (%)	Mg (%)
	X	Y													
D - 7	389939	193274	< 0.01	0.51	15	12	48	1.68	376	136	0.62	0.12	0.66	14.95	0.46
D - 8	389929	1931879	0.06	0.40	12	18	42	1.78	293	131	0.15	0.12	0.60	13.71	0.43
D - 9	389955	1931086	< 0.01	0.81	< 1	12	21	1.35	942	110	0.25	0.04	0.19	21.22	0.10
D - 10	389925	1930689	< 0.01	0.34	< 1	9	29	0.82	233	85	0.42	0.04	0.39	20.16	0.10
D - 11	389640	1930309	< 0.01	0.49	8	20	50	1.19	198	151	0.46	0.06	0.75	17.22	0.19
D - 12	389406	1930232	< 0.01	0.49	< 1	20	11	1.29	249	11	0.75	0.23	0.04	22.89	0.29
D - 13	387893	1929876	< 0.01	0.30	< 1	27	28	1.82	620	24	0.57	0.03	0.09	20.84	0.53
D - 14	387418	1929597	< 0.01	0.34	24	37	173	4.93	155	549	< 0.01	0.30	2.76	20.24	1.58
D - 15	386912	1929516	< 0.01	0.47	17	23	76	2.76	321	427	0.07	0.93	1.99	7.67	1.20
D - 16	386561	1928989	< 0.01	0.56	19	47	113	4.19	156	539	< 0.01	0.65	2.83	0.71	1.23
D - 17	386553	1928583	< 0.01	0.49	44	57	114	4.10	134	488	< 0.01	1.15	2.38	0.44	1.02
D - 18	386531	1928454	< 0.01	0.30	16	72	97	4.39	105	578	< 0.01	0.57	3.11	< 0.01	1.06
D - 19	386503	1928083	< 0.01	0.23	< 1	24	6	0.92	159	25	0.72	0.19	0.10	23.16	0.28
D - 20	385507	1927599	< 0.01	0.37	< 1	43	37	1.56	306	22	0.45	0.62	0.36	20.02	0.10
D - 21	385437	1927206	< 0.01	0.53	22	34	103	4.20	133	467	0.01	1.27	2.60	0.77	1.39
D - 22	385638	1926422	< 0.01	0.47	25	54	120	4.64	193	445	< 0.01	0.34	2.22	0.02	1.44
D - 23	385249	1925699	< 0.01	0.13	25	45	173	4.71	162	627	< 0.01	0.23	3.32	< 0.01	1.36
D - 24	385098	1925145	< 0.01	0.34	17	58	120	4.66	230	498	< 0.01	0.16	2.52	< 0.01	0.88
D - 25	384759	1924895	< 0.01	0.11	< 1	19	45	1.45	953	33	0.22	0.05	0.04	1.48	0.20
D - 26	384448	1924638	< 0.01	0.26	25	40	122	3.90	160	473	0.02	1.04	2.43	0.43	1.32
D - 27	383959	1924381	< 0.01	0.23	17	17	77	1.34	1646	44	0.24	0.65	0.40	18.51	0.45
D - 28	383965	1924033	< 0.01	0.60	38	20	215	1.83	326	282	0.14	0.85	0.78	13.23	0.35
D - 29	385072	1921557	< 0.01	0.20	< 1	18	< 2	0.01	2	74	0.25	< 0.01	0.59	0.03	< 0.01
D - 30	385317	1921381	< 0.01	0.19	< 1	21	36	0.66	375	39	0.32	0.39	0.06	23.42	0.28
D - 31	385504	1921312	< 0.01	0.04	28	25	78	4.55	924	355	0.04	2.34	0.85	4.99	2.07
D - 32	385946	1921035	< 0.01	0.68	7	20	23	0.54	669	39	0.26	0.35	0.05	35.83	0.02
D - 33	386466	1920875	< 0.01	0.43	10	17	48	0.72	583	30	0.27	0.27	0.16	34.89	0.07
D - 34	386747	1920548	< 0.01	0.54	14	28	35	1.30	1397	42	0.52	0.35	0.32	28.19	0.23
D - 35	386486	1920278	< 0.01	0.38	14	16	48	1.12	833	47	0.39	0.20	0.03	29.17	0.23
D - 36	386099	1919865	< 0.01	0.23	8	14	35	1.70	677	20	0.19	0.05	0.54	24.33	1.78
D - 37	385580	1919623	0.02	0.44	20	19	58	1.00	731	53	0.23	0.06	0.55	30.20	0.21
D - 38	385258	1919498	0.02	0.75	38	14	207	1.29	193	105	0.19	0.59	0.82	25.22	0.28
D - 39	384939	1919673	0.02	0.92	39	21	220	1.35	218	137	0.19	0.36	0.80	25.00	0.17
D - 40	384582	1919952	< 0.01	0.86	69	20	246	2.36	416	215	0.17	0.96	0.71	21.39	0.42
D - 41	384483	1920081	< 0.01	0.43	4	12	42	0.43	378	46	0.28	0.05	0.04	32.79	0.08
D - 42	384077	1920364	< 0.01	0.21	11	14	72	2.17	203	616	0.01	0.51	2.58	0.24	1.07
D - 43	384211	1920727	< 0.01	0.23	32	31	111	4.44	187	500	0.01	1.54	2.08	0.30	0.84
D - 44	385212	1921710	< 0.01	0.17	19	19	61	0.28	673	36	0.32	0.19	0.46	28.83	0.21
D - 45	385291	1921901	0.03	0.19	37	19	77	2.22	637	191	0.11	1.69	0.91	12.93	0.70
D - 46	385503	1922063	< 0.01	0.20	8	22	22	0.44	290	22	0.27	0.17	0.11	34.28	0.09
D - 47	385650	1922125	< 0.01	0.34	10	19	29	0.47	279	21	0.26	0.20	0.11	32.40	0.08
D - 48	386015	1922296	< 0.01	0.39	32	27	86	4.89	67	589	0.01	0.36	3.02	0.26	0.53

No. de Muestra	Coordenadas		Au (ppm)	Ag (ppm)	Cu (ppm)	Pb (ppm)	Zn (ppm)	Fe (%)	Mn (ppm)	Ba (ppm)	S (%)	Na (%)	K (%)	Ca (%)	Mg (%)
	X	Y													
D - 53	3862741	1922374	0.04	0.12	30	14	29	2.60	13	642	0.01	1.02	2.56	0.24	0.38
D - 54	3864141	1922518	< 0.01	0.65	36	43	3.71	163	163	454	0.01	1.45	1.89	0.37	1.22
D - 55	385959	1922985	< 0.01	0.27	29	40	1.17	3.40	169	509	0.01	1.26	2.30	0.22	0.83
D - 56	385573	1922724	< 0.01	0.38	34	16	103	3.72	111	527	0.01	1.32	2.45	0.17	0.30
D - 57	385508	1923493	< 0.01	0.31	45	57	138	4.93	294	501	0.01	2.32	2.10	0.40	1.10
D - 58	385681	1924015	< 0.01	0.02	6	24	10	1.48	527	19	0.82	0.25	0.04	33.10	0.11
D - 59	385153	1924332	< 0.01	0.12	45	18	124	4.54	43	682	< 0.01	0.48	2.99	0.20	0.73
D - 60	3850271	1924394	< 0.01	0.11	7	22	15	0.62	201	99	0.28	0.84	0.13	33.58	< 0.01
D - 61	3847371	1924403	< 0.01	0.36	33	31	173	2.14	462	272	0.16	1.37	1.02	18.15	0.32
D - 62	384589	1924380	< 0.01	0.44	35	23	223	1.23	335	245	0.23	0.31	0.63	27.68	0.15
D - 63	384221	1924138	< 0.01	0.10	40	19	162	0.73	321	409	0.20	0.14	0.59	23.71	0.21
D - 64	3840371	1923687	< 0.01	1.63	80	21	333	8.10	99	134	0.20	0.22	0.61	22.70	0.04
D - 65	383871	1923500	< 0.01	0.09	8	26	59	0.30	426	27	0.28	0.18	0.07	31.73	0.08
D - 66	383751	1923264	< 0.01	0.03	12	25	57	0.96	465	109	0.26	0.55	0.28	30.87	0.04
D - 67	383870	1922949	< 0.01	0.27	16	23	43	0.46	178	87	0.33	0.70	0.07	31.78	0.05
D - 68	384017	1922582	< 0.01	0.01	5	22	115	2.07	124	926	0.01	0.26	2.92	0.27	0.94
D - 69	382517	1919453	< 0.01	0.27	26	26	79	4.19	90	137	0.01	2.33	0.63	0.26	0.19
D - 70	382456	1919343	0.12	0.15	43	23	115	4.54	20	848	0.01	0.51	3.16	0.18	0.42
D - 71	3827471	1918993	< 0.01	0.08	30	32	58	3.95	88	724	0.01	1.21	2.26	0.18	0.70
D - 72	382809	1918837	< 0.01	0.10	20	41	87	3.56	133	849	0.01	1.54	1.90	0.19	0.76
D - 73	382928	1918705	< 0.01	0.34	8	32	64	2.78	206	529	0.01	2.86	1.43	0.37	0.71
D - 74	383065	1918513	< 0.01	0.10	21	37	80	2.73	121	335	0.01	1.53	1.02	0.21	0.73
D - 76	3830371	1918232	0.03	0.06	13	19	93	2.88	97	750	0.01	1.36	2.55	0.20	0.48
D - 77	3833671	1918084	< 0.01	0.01	40	15	111	3.33	130	491	0.01	1.18	1.86	0.22	0.34
D - 78	383335	1917636	< 0.01	0.21	25	21	86	4.19	71	372	0.01	1.30	1.67	0.20	0.65
D - 79	383294	1917453	0.04	0.75	35	21	186	1.86	1336	161	0.20	0.13	0.61	21.72	0.02
D - 80	3832271	1917340	0.06	0.43	41	23	288	1.22	482	75	1.17	0.55	0.35	27.33	0.17
D - 81	383218	1917252	0.07	0.01	16	20	56	2.51	653	415	0.13	3.07	0.34	11.41	0.73
D - 82	383032	1917191	< 0.01	0.29	72	39	97	4.33	504	332	0.01	2.91	0.91	0.27	1.32
D - 84	382473	1917015	< 0.01	0.01	51	41	150	4.13	65	608	0.01	2.65	2.65	0.17	0.86
D - 86	384974	1927050	< 0.01	0.01	25	28	104	2.82	347	109	0.20	1.02	0.76	22.13	0.31
D - 87	3846571	1926998	< 0.01	0.01	10	22	42	1.66	367	18	0.33	0.32	0.25	25.86	0.42
D - 88	384556	1926996	0.02	0.01	8	32	8	1.69	498	160	0.70	1.16	0.75	21.31	0.20
D - 89	384380	1926940	< 0.01	0.23	17	21	72	2.04	454	254	0.16	0.37	0.96	14.97	0.05
D - 90	3838191	1926795	< 0.01	0.58	19	12	87	2.55	78	513	0.01	0.56	2.18	0.36	0.31
D - 92	3834741	1926704	< 0.01	0.30	41	36	158	5.60	190	627	0.01	0.71	2.50	0.27	1.18
D - 93	3830371	1926654	< 0.01	0.35	26	29	84	3.06	411	308	0.14	0.43	1.23	13.38	0.55
D - 94	383055	1926720	< 0.01	0.53	33	38	117	4.37	138	492	0.01	1.58	1.97	0.43	1.24
D - 95	382582	1926621	< 0.01	0.16	27	37	117	4.18	116	519	0.01	1.39	2.01	0.26	1.09
D - 97	382254	1926436	< 0.01	0.51	41	44	141	5.47	186	503	0.01	1.43	1.81	0.33	1.29
D - 98	382165	1926323	< 0.01	0.20	9	29	30	1.55	973	145	0.24	0.82	0.32	27.59	0.17
D - 99	3820411	1926148	0.06	0.44	45	34	150	4.81	141	668	0.01	0.80	2.76	0.30	1.01
D - 100	381886	1926093	< 0.01	0.32	35	30	114	3.97	231	487	0.03	1.53	2.01	2.24	0.79
D - 101	381562	1926008	< 0.01	0.19	20	34	82	4.31	160	506	0.01	1.90	1.81	0.52	1.09

No. de Muestra	Coordenados		Au (ppm)	Ag (ppm)	Cu (ppm)	Pb (ppm)	Zn (ppm)	Fe (%)	Mn (ppm)	Ba (ppm)	S (%)	Na (%)	K (%)	Ca (%)	Mg (%)
	X	Y													
D-102	381900	1925870	< 0.01	0.20	19	31	76	2.93	468	375	0.10	1.13	1.53	10.81	0.62
D-103	381125	1925590	0.04	0.31	27	44	119	3.88	443	375	0.09	1.40	1.43	0.30	1.92
D-104	381999	1926725	0.06	0.09	42	35	145	4.53	186	566	0.01	1.18	2.44	0.33	1.15
D-106	381311	1926643	0.03	0.07	47	29	60	3.94	699	136	0.07	0.13	0.55	6.37	1.33
D-107	381172	1926886	0.03	0.22	27	26	99	3.91	77	637	0.01	0.78	2.33	0.22	0.85
D-108	381094	1926783	0.04	0.15	39	24	125	4.37	151	601	0.01	1.29	2.43	0.27	0.97
D-109	380998	1926862	0.03	0.24	39	8	131	4.71	104	544	0.01	1.03	2.56	0.18	0.79
D-110	380870	1927022	0.06	0.23	34	23	185	4.26	258	514	0.01	0.73	2.27	0.21	0.54
D-111	380382	1927195	0.06	0.17	36	40	134	4.93	100	550	0.01	0.48	2.54	0.17	0.88
D-112	379866	1928108	0.01	0.52	28	54	123	4.51	244	459	0.01	2.06	1.76	0.26	1.13
D-113	379943	1927959	< 0.01	0.31	30	37	134	4.19	139	578	0.01	1.43	2.52	0.25	0.85
D-114	380054	1927764	0.02	0.49	21	32	83	3.82	236	506	0.01	1.07	2.02	0.55	0.99
D-115	380132	1927720	0.02	0.36	30	32	102	3.62	259	423	0.04	1.96	1.55	3.27	0.90
D-116	380155	1927827	0.02	0.45	42	52	138	4.56	191	738	0.01	1.60	2.22	0.41	1.14
D-117	379745	1928222	< 0.01	0.39	30	36	126	3.65	169	660	0.02	1.71	2.84	0.72	1.11
D-118	379476	1928343	0.02	0.37	27	39	83	3.33	102	552	0.01	0.99	1.73	0.20	0.70
D-119	379046	1928551	0.04	0.25	21	6	97	3.14	298	290	0.06	0.90	1.33	5.71	0.17
D-120	378710	1928623	< 0.01	0.24	6	23	21	0.92	245	39	0.23	0.44	0.18	31.21	0.12
D-121	378536	1928754	0.05	0.35	28	30	93	3.24	152	448	0.03	1.37	2.36	2.09	1.06
D-122	378135	1928989	< 0.01	0.18	<	20	22	1.05	241	53	0.28	0.25	0.15	39.92	0.05
D-123	377922	1929078	< 0.01	0.38	13	21	126	1.80	350	74	0.16	0.43	0.58	31.54	0.35
D-124	377700	1929436	< 0.01	0.34	17	36	170	4.27	203	408	0.04	0.41	2.58	6.80	1.26
D-125	377426	1929618	< 0.01	0.35	33	65	214	6.18	203	612	0.01	0.41	3.21	1.11	1.85
D-126	377148	1929985	< 0.01	0.18	5	9	90	1.99	467	125	0.16	0.09	0.71	29.50	< 0.01
D-127	377021	1930373	< 0.01	0.27	13	3	239	1.56	184	626	0.01	0.11	2.22	0.13	0.49
D-128	376871	1930508	< 0.01	0.23	11	5	31	2.72	49	258	0.01	0.10	1.29	0.11	0.23
D-129	376649	1930792	< 0.01	0.35	10	13	60	1.62	128	249	< 0.01	2.27	0.95	0.09	0.12
D-130	376320	1931048	< 0.01	0.37	<	1	26	101	496	550	0.18	2.88	1.59	0.97	0.96
D-131	385226	1925618	< 0.01	0.52	36	41	161	5.39	192	564	< 0.01	0.17	2.59	<	0.01
D-132	384980	1925496	< 0.01	0.39	20	24	149	2.71	418	266	0.07	0.36	1.33	10.39	0.73
D-133	384498	1925278	< 0.01	0.17	38	27	256	6.04	152	531	< 0.01	0.42	2.58	0.02	1.54
D-134	384258	1925215	< 0.01	0.35	38	24	150	4.06	296	317	0.09	1.46	1.57	4.70	1.34
D-135	383833	1925503	< 0.01	0.32	21	26	79	1.97	590	162	0.10	1.04	0.85	17.19	0.33
D-136	382825	1925784	0.04	0.31	6	12	52	2.36	535	234	0.08	0.62	1.14	13.87	< 0.01
D-137	382351	1925630	0.04	0.41	22	26	125	3.19	480	262	0.14	0.62	1.12	13.07	0.82
D-138	381668	1925772	0.02	0.04	13	15	156	2.73	637	212	0.12	0.24	1.02	20.45	0.28
D-139	385470	1927980	0.01	0.21	2	22	8	1.56	184	74	0.24	0.26	0.28	41.80	< 0.01
D-140	384595	1927995	0.05	0.29	<	15	34	1.65	311	60	0.21	0.20	0.30	38.58	< 0.01
D-141	383943	1928190	0.02	0.35	19	20	203	3.64	144	209	0.02	0.85	0.83	0.18	1.08
D-142	383841	1928188	0.01	0.33	<	1	23	20	182	55	0.43	0.32	0.20	47.24	< 0.01
D-143	382864	1928283	0.04	0.42	52	14	52	3.76	38	499	0.01	0.35	2.60	0.04	0.58
D-144	382253	1928383	0.05	0.33	34	18	137	3.93	136	654	0.01	1.08	2.80	0.44	0.70
D-145	381495	1928288	0.07	0.23	22	20	152	4.99	221	381	< 0.01	0.31	1.49	0.10	1.30
D-146	380507	1927674	0.05	0.31	12	27	104	4.32	165	530	0.53	0.99	2.07	1.36	1.29

No. de Muestra	Coordenadas		Au (ppm)	Ag (ppm)	Cu (ppm)	Pb (ppm)	Zn (ppm)	Fe (%)	Mn (ppm)	Ba (ppm)	S (%)	Na (%)	K (%)	Ca (%)	Mg (%)	
	X	Y														
D-147	388529	1926240	0.05	0.47	21	28	114	4.49	183	497	0.26	1.11	2.40	0.10	1.87	
D-148	388203	1925924	0.04	0.49	33	30	199	2.63	380	380	0.46	0.72	1.71	1.68	0.92	
D-149	387394	1925883	0.03	1.12	24	28	165	5.97	443	585	0.01	0.49	2.93	0.05	1.36	
D-150	386927	1926000	0.02	0.20	3	18	7	0.98	777	74	0.21	0.99	0.27	41.29	0.08	
D-151	386680	1926337	0.03	0.52	55	50	132	4.68	170	583	0.01	0.87	3.05	0.44	1.48	
D-152	386875	1926499	0.04	0.30	<	19	35	1.00	248	62	0.22	0.10	0.14	42.89	0.07	
D-153	387111	1926909	0.02	0.20	17	18	93	1.11	488	87	0.23	0.31	0.38	35.04	0.04	
D-154	387081	1927466	0.02	0.32	5	19	74	1.22	512	71	0.19	0.30	0.17	37.17	0.02	
D-155	386915	1927730	0.04	0.48	50	18	212	6.11	138	578	<	0.18	2.81	<	0.01	
D-157	386540	1927637	0.05	0.22	5	21	113	1.32	421	110	0.28	0.12	0.53	33.91	0.29	
D-159	386348	1927392	0.04	0.53	57	21	218	5.69	81	455	<	0.15	2.74	<	0.01	
D-160	386189	1927615	0.03	0.54	35	73	268	4.66	178	483	0.01	1.18	2.66	0.30	1.21	
D-161	386273	1928003	0.04	0.52	23	38	157	3.49	278	235	0.23	1.12	1.38	11.23	1.01	
D-162	386354	1928526	0.03	0.16	2	21	21	0.88	379	38	0.46	0.03	0.13	39.28	<	0.01
D-164	385305	1928959	<	0.16	251	21	16	0.85	258	25	0.25	0.41	0.15	37.14	<	0.01
D-165	384543	1929058	0.02	0.22	21	34	64	2.89	424	156	0.12	1.25	0.95	12.58	0.86	
D-166	384391	1929501	0.03	0.05	1	21	11	0.95	330	61	0.24	0.15	0.31	36.98	<	0.01
D-167	383397	1929889	0.02	0.21	10	26	64	1.25	328	40	0.21	1.10	0.29	32.62	0.05	
D-168	382686	1930107	0.04	0.14	<	27	4	0.78	243	35	<	0.24	0.10	0.29	37.65	0.12
D-169	381839	1930723	0.04	0.12	2	30	34	0.92	390	33	0.25	0.24	0.16	35.92	<	0.01
D-170	381187	1930351	0.06	0.13	12	20	100	1.81	267	96	0.13	1.14	0.78	18.27	0.42	
D-171	380511	1930735	0.02	0.23	5	30	32	0.74	413	31	0.30	0.20	0.14	38.75	<	0.01
D-172	380150	1931600	0.05	0.20	5	22	102	2.52	165	508	0.01	1.41	2.29	0.19	0.81	
D-173	382214	1933606	0.04	0.25	94	26	78	5.35	1289	31	0.04	2.72	0.05	7.66	4.17	
D-174	382081	1933543	0.02	0.42	91	22	92	8.12	623	71	0.04	0.82	0.64	1.10	4.69	
D-175	381639	1933529	0.03	0.31	51	18	124	5.84	988	165	0.03	3.84	0.51	3.64	4.62	
D-176	381887	1934784	0.02	0.28	35	12	416	2.75	416	40	0.26	4.59	0.05	3.75	1.21	
D-178	378277	1933845	0.03	0.21	113	20	47	5.94	912	131	0.09	2.74	0.55	8.06	4.36	
D-179	379884	1934736	0.06	0.25	<	11	16	4.27	803	888	0.01	2.63	3.34	2.70	2.56	
D-180	380823	1934853	0.04	0.33	105	30	90	6.37	1108	435	0.02	1.28	2.01	5.84	2.82	
D-181	379199	1934994	0.05	0.38	104	20	96	5.11	921	68	0.02	2.80	0.08	7.57	3.62	
D-182	379261	1934283	0.02	0.29	51	26	39	5.27	962	131	0.26	3.03	0.29	7.97	2.67	
D-183	37476	1935073	0.02	0.21	82	42	38	6.37	1642	179	0.06	1.85	0.18	8.21	3.16	
D-184	374247	1932470	0.04	0.27	26	32	57	2.08	295	168	0.08	0.62	1.22	24.02	0.57	
D-185	374787	1931811	0.02	0.02	<	1	32	<	2	20	0.26	0.21	0.04	42.22	<	0.01
D-186	375313	1931054	0.04	0.30	3	26	7	1.62	340	32	0.22	0.55	0.20	38.13	<	0.01
D-187	375259	1930625	0.03	0.36	32	58	99	4.12	208	276	0.04	0.66	1.83	3.55	0.86	
D-188	374976	1930009	0.04	0.29	18	16	82	3.46	196	501	<	0.01	3.61	0.15	0.57	
D-189	374489	1929670	0.03	0.41	17	46	80	3.55	125	501	0.01	2.20	2.44	0.24	1.13	
D-190	373401	1929760	0.06	0.35	36	56	134	5.52	152	458	<	0.01	2.49	0.01	1.21	
D-191	372942	1929084	0.03	0.30	29	30	71	4.96	48	500	<	0.01	2.66	0.03	0.53	
D-192	372497	1929117	0.04	0.32	50	54	174	5.49	134	544	<	0.01	2.40	0.01	1.51	
D-193	373771	1928891	0.05	0.27	17	8	28	2.66	146	940	<	0.01	2.52	0.02	0.62	

No. de Muestra	Coordenadas		Au (ppm)	Ag (ppm)	Cu (ppm)	Pb (ppm)	Zn (ppm)	Fe (%)	Mn (ppm)	Ba (ppm)	S (%)	Na (%)	K (%)	Ca (%)	Mg (%)
	X	Y													
D-194	374780	1928536	0.09	0.27	33	22	57	7.12	1189	21	< 0.01	0.17	0.03	5.12	12.26
D-195	375271	1928081	0.01	0.25	39	45	66	5.77	484	2046	0.01	1.76	4.60	1.89	4.72
D-196	375960	1927988	0.08	0.18	6	22	30	2.27	85	788	< 0.01	2.22	2.15	0.04	0.37
D-197	376452	1927777	0.02	0.41	44	43	170	4.63	132	447	< 0.01	0.29	2.68	< 0.01	1.07
D-198	376453	1926985	0.06	0.32	21	55	129	4.13	328	332	< 0.01	1.30	2.02	< 0.01	1.22
D-199	377433	1927367	0.01	0.35	87	29	87	6.61	1026	34	0.02	0.01	0.08	36.81	< 0.01
D-200	378289	1927173	< 0.01	0.36	30	51	134	4.63	78	466	0.01	0.63	2.42	< 0.01	1.02
D-201	378995	1927041	< 0.01	0.36	< 1	16	25	1.38	113	182	0.01	0.83	1.07	0.18	0.48
D-202	379404	1927523	< 0.01	0.30	3	25	50	2.82	276	218	0.01	2.43	1.29	0.39	1.05
D-203	378723	1933182	< 0.01	0.13	55	29	40	4.91	957	380	0.01	1.04	0.98	8.12	3.95
D-204	378267	1933463	< 0.01	0.13	< 1	28	8	0.50	70	210	< 0.01	2.10	3.23	0.08	0.95
D-205	375960	1932981	0.01	0.14	38	22	68	5.57	1358	714	0.01	2.50	1.69	3.40	6.50
D-206	375825	1931425	< 0.01	0.43	8	27	88	3.54	225	596	< 0.01	0.73	2.45	0.09	0.77
F-1	395398	1996084	0.01	0.25	18	42	70	4.14	1381	236	0.51	1.47	0.97	11.01	0.63
F-2	395458	1998272	< 0.01	0.36	43	15	104	3.99	519	912	0.03	1.51	2.50	4.29	1.18
F-3	395367	1998576	0.02	0.40	5	15	92	5.02	756	74	0.01	0.11	0.98	0.19	0.06
F-4	395439	1998913	0.07	0.35	32	10	77	4.02	423	200	0.01	0.11	0.98	1.86	4.38
F-5	395579	1999772	< 0.01	0.50	28	14	100	5.78	1071	457	0.04	1.89	1.57	13.74	0.73
F-6	395690	1990779	0.02	0.56	39	41	111	3.15	1103	318	0.52	1.38	1.57	8.20	0.03
F-7	395768	1990755	0.02	0.23	31	52	66	4.06	808	94	0.26	2.28	0.55	9.65	1.22
F-8	395795	1991078	< 0.01	0.38	49	31	80	3.28	610	156	0.50	0.12	1.60	12.05	0.73
F-9	395868	1991491	< 0.01	0.38	34	5	89	2.12	261	292	0.05	0.12	1.95	6.76	0.72
F-10	395757	1992031	0.01	0.11	42	49	147	5.23	1307	72	0.84	3.68	0.32	6.96	2.15
F-11	395606	1992453	< 0.01	0.31	49	30	166	2.31	415	215	0.06	0.71	1.25	6.32	0.29
F-12	395269	1992821	< 0.01	0.21	57	49	95	4.82	801	86	0.06	3.10	0.50	7.06	1.88
F-13	394871	1993131	0.01	0.40	83	27	281	2.86	341	267	0.06	0.57	1.54	8.68	0.74
F-14	394381	1993513	< 0.01	0.30	4	30	73	1.33	793	835	0.13	1.34	2.94	2.75	0.42
F-15	394292	1993928	0.03	0.12	13	18	55	1.05	547	448	0.02	2.66	2.33	0.53	0.06
F-16	394316	1994491	< 0.01	0.50	< 1	15	39	0.89	308	239	0.01	2.44	3.00	0.36	0.03
F-17	394592	1994761	< 0.01	0.27	8	16	30	0.88	111	1712	0.07	1.24	1.43	0.28	0.03
F-18	394416	1995464	0.02	0.27	18	9	106	0.28	54	2094	0.01	1.00	1.77	0.68	0.03
F-19	395040	1995378	0.02	0.46	22	30	117	2.87	533	824	0.38	1.97	2.32	4.67	0.71
F-20	395495	1995796	< 0.01	0.65	10	23	78	1.49	609	1128	0.05	0.26	2.81	4.67	0.06
F-21	395899	1995806	< 0.01	0.37	15	18	79	0.69	272	1111	0.07	0.64	1.79	6.56	0.12
F-22	396364	1996153	< 0.01	0.25	72	50	103	3.73	603	267	0.06	2.09	1.05	7.55	0.87
F-23	396746	1996286	0.01	0.65	88	9	139	3.57	191	314	0.03	0.26	2.38	3.38	0.15
F-24	397225	1996313	< 0.01	0.05	44	25	72	4.10	588	645	0.07	0.28	2.58	4.79	0.24
F-25	397551	1996826	< 0.01	< 0.01	45	22	85	2.63	713	264	0.10	0.12	1.49	12.91	0.31
F-26	397639	1997386	< 0.01	0.09	36	17	225	2.99	227	387	0.03	0.17	1.91	4.12	0.22
F-27	397974	1998033	< 0.01	0.16	62	11	103	1.89	156	366	0.05	0.17	1.86	6.49	0.13
F-28	398194	1998368	< 0.01	< 0.01	9	7	26	0.81	15	482	0.01	0.14	2.20	0.24	0.27
F-29	398632	1998822	< 0.01	0.09	47	52	126	4.55	155	449	0.01	0.27	2.51	0.18	1.04
F-30	398874	1999259	< 0.01	0.05	31	13	60	3.04	121	243	< 0.01	0.14	2.34	0.06	0.29



No. de Muestra	Coordenadas		Au (ppm)	Ag (ppm)	Cu (ppm)	Pb (ppm)	Zn (ppm)	Fe (%)	Mn. (ppm)	Ba (ppm)	S (%)	Na (%)	K (%)	Ca (%)	Mg (%)
	X	Y													
F - 33	399071	1999615	< 0.01	0.06	32	18	78	3.83	645	385	0.05	0.47	1.31	7.14	0.35
F - 34	399167	1999009	< 0.01	< 0.01	27	18	66	0.91	380	219	0.14	0.07	1.02	22.03	< 0.01
F - 35	399634	2000005	< 0.01	0.15	51	44	248	4.78	137	461	0.01	0.30	2.38	0.12	0.90
F - 36	399833	2000600	< 0.01	0.25	65	62	68	6.19	1147	52	0.04	2.55	0.28	7.99	4.31
F - 37	400966	2003910	< 0.01	0.08	101	67	100	6.88	813	198	0.01	1.66	1.41	4.56	3.89
F - 38	400966	2004446	< 0.01	< 0.01	132	79	78	7.13	927	40	0.11	2.81	0.47	6.65	2.97
F - 39	397244	2001779	< 0.01	0.34	19	41	118	4.43	303	364	0.77	0.94	2.04	7.42	1.01
F - 40	397281	2003676	< 0.01	0.03	41	15	84	3.64	281	206	0.06	0.41	0.75	6.72	0.09
F - 41	396987	2003280	< 0.01	< 0.01	48	22	111	2.05	1546	95	0.18	0.18	0.71	30.65	< 0.01
F - 42	396758	2002877	< 0.01	0.37	31	16	97	3.38	508	188	0.06	0.09	1.34	6.91	0.10
F - 43	396761	2002397	< 0.01	0.50	38	11	87	1.19	301	189	0.11	0.06	0.81	14.56	< 0.01
F - 44	396728	2001769	< 0.01	0.22	30	39	90	4.61	300	453	0.09	0.47	1.95	6.49	1.92
F - 45	397593	2002067	< 0.01	0.09	23	23	61	1.15	661	58	< 0.01	0.17	0.39	39.16	< 0.01
F - 46	397814	2002554	< 0.01	0.03	105	10	171	3.02	61	398	< 0.01	0.16	2.13	0.06	0.41
F - 47	398290	2002207	< 0.01	< 0.01	43	41	96	6.28	1258	253	0.03	2.44	0.62	6.52	3.67
F - 48	399086	2001822	< 0.01	0.42	28	25	97	0.72	973	54	< 0.01	< 0.01	0.10	40.62	< 0.01
F - 49	401785	2011036	< 0.01	0.48	12	9	17	1.12	8	282	< 0.01	0.07	1.36	0.10	0.26
F - 50	401397	2010338	< 0.01	0.11	60	27	232	7.19	1273	436	0.02	2.81	1.16	6.16	2.85
F - 51	401507	2009577	< 0.01	0.05	31	34	127	5.04	972	348	0.06	2.38	1.21	9.52	0.50
F - 52	401837	2009110	< 0.01	0.03	33	18	65	2.55	597	149	0.09	0.11	1.06	11.80	0.43
F - 53	401819	2008339	< 0.01	0.19	40	14	140	3.69	644	151	0.08	0.10	1.04	10.28	0.14
F - 54	401454	2007116	< 0.01	0.05	14	27	35	3.30	862	174	0.01	0.15	0.55	0.21	0.11
F - 55	401408	2006675	< 0.01	0.12	52	15	63	3.10	299	37	0.01	0.13	0.42	1.22	0.06
F - 56	401025	2006200	< 0.01	0.31	10	10	< 2	1.15	< 2	71	0.01	0.25	0.23	0.04	< 0.01
F - 57	400960	2005809	< 0.01	0.30	47	49	39	4.80	1703	62	0.09	0.97	0.89	14.06	2.70
F - 58	401142	2005244	< 0.01	0.16	43	51	61	7.26	738	221	0.01	2.47	1.55	2.80	4.62
F - 59	401896	2006386	< 0.01	0.35	8	13	48	2	149	187	0.17	0.05	0.19	29.46	< 0.01
F - 60	401417	2006140	< 0.01	0.43	49	27	77	5.54	1128	54	0.06	0.12	0.33	7.00	2.32
F - 61	401776	2005613	< 0.01	0.36	40	13	54	6.41	1512	198	0.05	0.15	1.73	8.38	1.41
F - 62	400237	2003587	< 0.01	0.40	77	17	25	4.63	1146	39	0.05	0.92	0.73	12.81	3.11
F - 63	400798	2007020	< 0.01	0.26	16	28	55	3.82	1317	186	0.07	1.36	0.79	13.36	1.78
F - 64	399998	2006912	< 0.01	0.37	8	15	50	3.04	698	223	0.06	1.07	1.08	8.60	0.04
G - 1	400357	2011531	< 0.01	0.25	< 1	44	19	1.4	184	976	0.02	0.61	1.75	2.06	0.64
G - 2	400081	2011573	< 0.01	< 0.01	< 1	22	26	2.10	354	1039	0.05	1.56	1.54	7.00	0.69
G - 3	399026	2011796	< 0.01	0.13	10	16	46	3.43	734	78	0.01	2.36	0.44	0.54	1.25
G - 4	398408	2012204	< 0.01	0.02	9	23	143	2.35	545	199	0.17	0.06	0.75	29.70	< 0.01
G - 5	398408	2012203	< 0.01	0.14	17	20	66	2.38	362	160	0.13	0.13	1.34	22.34	0.01
G - 6	398063	2012413	< 0.01	0.17	19	39	143	4.65	385	210	0.06	0.77	1.40	8.59	0.39
G - 7	397881	2012515	< 0.01	0.18	35	41	120	4.82	254	353	0.01	0.76	2.34	0.24	0.87
G - 8	397233	2012500	< 0.01	0.25	25	43	88	4.92	204	385	0.01	0.92	2.28	0.28	0.97
G - 9	396884	2012416	< 0.01	0.30	21	46	85	4.15	110	453	0.01	1.22	2.59	0.26	1.09
G - 10	396169	2012723	< 0.01	0.14	23	14	135	4.58	274	144	0.04	1.02	1.73	5.62	1.00
G - 11	396150	2013711	< 0.01	0.28	26	34	99	4.60	279	316	0.03	0.71	1.98	3.70	0.85
G - 12	395543	2013987	< 0.01	0.42	20	41	92	4.17	219	409	0.02	1.05	2.25	2.04	0.79

No. de Muestra.	Coordenadas		Au (ppm)	Ag (ppm)	Cu (ppm)	Pb (ppm)	Zn (ppm)	Fe (%)	Mn (ppm)	Ba (ppm)	S (%)	Na (%)	K (%)	Ca (%)	Mg (%)
	X	Y													
G-13	398479	2011702	< 0.01	0.10	7	9	19	2.35	194	823	0.05	1.32	1.55	4.94	0.28
G-14	398491	2011260	0.01	0.23	34	9	< 2	2.95	< 2	500	< 0.01	0.18	2.21	0.03	0.16
G-15	398490	2011260	0.04	0.11	7	9	< 2	2.69	65	185	0.21	0.21	0.18	0.31	< 0.01
G-16	398100	2011096	< 0.01	0.23	1	16	49	5.19	637	322	0.19	0.12	0.72	29.27	0.01
G-17	398005	2010750	< 0.01	0.21	24	12	80	3.48	148	363	0.02	0.14	2.11	1.75	0.14
G-18	397467	2010729	< 0.01	0.22	6	21	16	1.00	112	123	0.16	0.51	1.13	29.03	0.14
G-19	397461	2010729	0.02	0.19	22	57	64	5.84	810	117	0.02	3.08	0.41	3.80	2.55
G-20	397216	2010070	0.01	0.12	11	48	65	5.30	1125	160	0.02	3.19	0.41	4.25	2.27
G-21	397216	2010070	0.03	0.26	14	24	54	2.13	559	436	0.07	0.15	1.56	10.55	0.35
G-22	396336	2010112	0.01	0.27	45	47	79	6.53	1029	36	0.01	2.74	0.42	4.10	2.68
G-23	395991	2010279	0.02	0.10	17	38	63	4.73	847	220	0.06	2.49	0.97	6.16	1.85
G-24	395991	2010279	0.02	0.04	31	26	91	3.94	628	363	0.12	0.98	1.84	9.90	0.92
G-25	394995	2010802	0.02	0.22	24	18	45	2.32	448	379	0.04	1.70	0.96	5.81	0.50
G-26	395058	1998319	< 0.01	0.16	5	15	10	2.13	1026	52	0.17	0.03	0.43	30.73	< 0.01
G-27	395532	1998305	0.02	0.03	< 1	11	10	1.41	625	40	0.19	0.06	0.45	33.19	< 0.01
G-28	396046	1998093	< 0.01	0.21	< 1	12	10	0.93	600	152	0.17	0.07	0.86	30.08	< 0.01
G-29	396235	1997939	< 0.01	0.04	3	23	9	1.42	1187	69	0.43	1.47	0.44	23.16	0.52
G-30	396390	1997695	< 0.01	0.10	< 1	10	< 2	0.71	820	41	0.14	0.03	0.49	23.16	< 0.01
G-31	396464	1997391	0.02	0.17	25	17	40	3.58	692	87	0.17	0.96	0.57	30.68	< 0.01
G-32	396476	1996972	< 0.01	0.17	< 1	13	< 2	0.64	511	87	0.15	0.71	0.77	26.54	< 0.01
G-33	396242	1996557	< 0.01	0.24	12	10	50	2.24	512	263	0.08	0.18	1.50	12.51	< 0.01
G-34	395013	1996336	< 0.01	0.40	23	8	60	2.45	9	212	0.21	0.09	1.35	0.14	< 0.01
G-35	395724	1996195	< 0.01	0.34	1	9	28	1.62	7	56	< 0.01	0.16	1.57	0.18	0.08
G-36	398548	2012821	< 0.01	0.14	11	10	< 2	2.25	403	44	0.07	0.11	0.46	10.67	< 0.01
G-37	398616	2012952	< 0.01	0.37	22	9	80	3.23	442	15	0.08	0.13	0.20	10.62	< 0.01
G-38	398616	2012952	< 0.01	0.16	< 1	15	92	0.79	612	53	0.22	0.02	0.15	36.93	< 0.01
G-39	398472	2013608	< 0.01	0.60	7	15	49	0.80	688	55	0.29	0.02	0.13	34.82	< 0.01
G-40	398451	2013956	< 0.01	0.68	27	22	189	0.68	103	50	0.21	0.03	0.23	34.73	< 0.01
G-41	399528	2013184	< 0.01	0.33	< 1	45	11	0.91	152	1299	0.03	0.66	0.90	3.77	0.43
G-42	399917	2012860	< 0.01	0.24	2	17	26	0.71	133	234	0.18	0.64	0.83	32.43	0.09
G-43	400458	2012068	< 0.01	0.01	< 1	42	45	1.10	140	1748	0.02	0.62	1.99	2.03	0.55
G-44	400548	2011530	< 0.01	0.17	3	17	46	1.79	488	559	0.06	1.52	2.40	8.47	0.30
G-45	401931	2013085	0.01	< 0.01	24	26	161	6.51	1027	264	0.05	1.95	0.81	8.54	0.76
G-46	401929	2013067	0.02	0.07	< 1	33	35	4.27	1910	41	0.18	0.10	0.14	32.74	0.36
G-47	401543	2012782	< 0.01	0.20	16	35	79	6.83	940	368	0.04	2.09	0.81	7.94	1.71
G-48	401393	2012863	0.02	0.20	27	42	96	6.47	611	354	0.02	2.38	0.62	6.72	2.69
G-49	400682	2010784	0.02	0.12	18	39	81	6.23	221	161	0.01	0.34	0.70	1.09	1.66
G-50	400305	2010076	< 0.01	< 0.01	19	21	78	3.53	673	477	0.03	2.46	1.30	6.44	0.23
G-51	399608	2009475	0.02	0.20	33	14	106	1.73	1287	443	0.09	1.38	1.46	12.97	0.30
G-52	399498	2008788	< 0.01	< 0.01	< 1	17	16	1.53	690	818	0.05	0.01	1.12	9.76	0.53
G-53	399414	2008976	0.02	0.11	26	36	120	4.57	854	345	0.05	0.15	0.59	8.64	2.78
G-54	397868	1997740	0.01	0.20	< 1	25	< 2	0.40	394	< 2	0.25	0.56	0.02	42.34	< 0.01
G-55	397791	1997152	0.06	0.42	65	9	335	5.79	319	376	0.03	0.12	1.96	3.80	0.22
G-56	397567	1996561	0.03	0.16	39	33	112	3.78	102	477	0.01	0.08	2.15	0.17	1.24

No. de Muestra	Coordenadas		Au (ppm)	Ag (ppm)	Cu (ppm)	Pb (ppm)	Zn (ppm)	Fe (%)	Mn (ppm)	Ba (ppm)	S (%)	Na (%)	K (%)	Ca (%)	Mg (%)
	X	Y													
G - 57	397278	1996046	0.01	0.34	53	14	116	2.95	524	217	0.05	0.03	1.14	9.27	< 0.01
G - 58	396973	1995931	< 0.01	0.02	9	10	50	1.26	121	575	0.03	0.47	1.99	4.52	0.22
G - 59	396764	1995890	0.04	0.10	3	15	44	1.59	1041	39	0.20	0.71	0.51	36.23	< 0.01
G - 60	396459	1995835	0.01	0.03	30	6	74	3.87	519	239	0.04	0.15	0.89	6.31	0.03
G - 61	396235	1995703	< 0.01	0.16	57	7	54	1.97	164	289	0.02	0.18	2.11	2.71	0.40
G - 62	396175	1995680	< 0.01	0.23	67	14	65	3.37	232	351	0.01	0.14	2.01	0.87	0.41
G - 63	396050	1995501	< 0.01	0.20	7	9	49	1.38	685	83	0.12	0.03	0.76	21.41	< 0.01
G - 64	396047	1995291	< 0.01	0.12	< 1	12	16	0.91	53	284	< 0.01	0.55	2.20	0.09	< 0.01
G - 65	395420	1994900	0.03	0.12	5	18	50	1.27	869	840	< 0.01	0.16	2.29	6.77	< 0.01
J - 1	395161	2000533	0.02	0.11	397	33	397	5.02	1009	206	0.16	0.12	0.76	11.32	1.89
J - 2	395030	2000718	< 0.01	0.09	< 1	7	49	0.26	45	56	0.04	0.01	0.27	2.50	0.07
J - 3	395438	2000640	0.02	0.20	81	34	290	6.35	1014	185	0.20	0.46	0.98	17.53	1.15
J - 4	395501	2001091	0.01	0.33	36	36	111	2.15	1377	143	0.37	0.70	0.73	25.46	< 0.01
J - 5	395972	2001110	0.01	0.03	< 1	22	< 2	0.71	100	58	0.25	0.02	0.26	40.16	< 0.01
J - 6	396378	2001179	< 0.01	0.23	12	16	47	2.37	1477	116	0.18	0.13	0.54	30.70	< 0.01
J - 7	396446	2000791	< 0.01	0.23	12	16	47	2.37	1477	116	0.18	0.13	0.54	30.70	< 0.01
J - 8	396820	2000542	0.04	0.22	7	21	75	2.64	459	190	0.13	0.10	1.12	18.82	< 0.01
J - 9	397762	2000203	0.04	0.22	9	16	52	1.76	751	284	0.03	0.07	1.21	2.48	0.18
J - 10	398181	1999426	< 0.01	0.28	21	16	80	2.81	561	398	0.01	0.11	1.95	0.44	0.22
J - 11	398529	1996552	0.03	0.28	26	24	102	4.13	227	365	0.03	0.18	2.14	3.99	0.12
J - 12	398219	1998011	0.03	0.51	37	18	102	3.53	162	290	0.04	0.13	1.75	4.31	0.04
J - 13	398100	1997623	0.06	0.51	14	31	80	2.81	561	398	0.01	0.11	1.95	0.44	0.22
J - 14	398207	1997321	< 0.01	0.34	19	21	97	4.37	384	312	0.07	0.82	1.35	9.70	0.55
J - 15	398137	1997007	0.04	0.52	23	26	110	3.14	490	343	0.06	1.23	1.73	7.50	0.90
J - 16	398309	1996736	< 0.01	0.31	16	25	68	5.04	546	113	0.23	0.02	0.40	35.52	< 0.01
J - 17	398266	1996487	0.02	0.35	46	21	229	4.74	297	557	< 0.01	0.29	2.44	0.10	0.29
J - 18	398401	1996169	0.02	0.44	40	24	192	4.10	168	579	< 0.01	0.18	2.44	0.14	0.28
J - 19	398444	1995811	0.01	0.44	31	20	98	2.01	165	545	0.04	0.17	2.36	4.22	0.15
J - 20	398437	1995471	< 0.01	0.58	41	23	174	4.31	67	566	< 0.01	0.12	2.59	0.10	0.35
J - 21	398749	1995097	0.01	0.28	57	20	151	6.57	231	522	< 0.01	0.15	2.23	0.04	0.30
J - 22	398134	1994916	0.04	0.36	33	36	157	5.48	170	600	0.01	0.15	2.71	0.10	0.34
J - 23	397672	1994972	0.02	0.30	1	26	35	1.79	383	214	0.06	0.09	1.45	7.94	0.09
J - 24	397381	1994716	0.03	0.56	10	32	77	2.43	484	43	0.15	0.03	0.83	1.71	< 0.01
J - 25	397564	1994534	< 0.01	0.16	13	50	93	4.46	684	229	0.26	2.77	0.66	5.40	1.96
J - 26	398265	1994094	< 0.01	0.14	25	49	109	3.97	663	93	0.10	2.32	0.47	4.93	1.88
J - 27	397829	1994060	0.03	0.19	26	65	97	5.12	940	97	0.03	3.32	0.27	5.27	2.01
J - 28	397272	1993808	0.02	0.28	18	57	86	6.23	728	200	0.03	2.50	1.02	5.75	2.27
J - 29	397757	1993563	< 0.01	0.04	10	72	46	4.29	845	155	0.27	2.47	0.46	5.56	1.96
J - 30	397926	1993002	< 0.01	0.14	19	60	72	5.32	1233	595	0.03	2.68	1.51	5.30	2.27
J - 31	398632	1991733	< 0.01	0.10	17	79	71	5.32	812	428	0.38	2.67	1.46	6.62	2.09
J - 32	399112	1989517	< 0.01	0.03	8	20	20	0.97	806	130	0.15	0.21	0.88	25.84	0.12
J - 33	399825	1989172	< 0.01	0.25	41	22	69	2.01	1228	264	0.07	0.10	0.64	9.18	< 0.01
J - 34	399853	1990136	< 0.01	0.20	24	31	74	2.64	1268	237	0.19	0.11	0.94	32.67	< 0.01
J - 35	399704	1990310	< 0.01	0.17	40	22	33	5.03	310	662	0.01	0.15	2.42	0.07	0.48

No. de Muestra	Coordenados		Au (ppm)	Ag (ppm)	Cu (ppm)	Pb (ppm)	Zn (ppm)	Fe (%)	Mn (ppm)	Ba (ppm)	S (%)	Na (%)	K (%)	Ca (%)	Mg (%)
	X	Y													
J - 37	399193	1991608	< 0.01	< 0.01	43	46	60	2.05	1177	222	0.18	0.22	1.11	34.51	0.41
J - 38	394763	1994521	< 0.01	< 0.01	1	24	71	1.24	2	1178	0.01	0.84	3.10	1.38	0.20
J - 39	394951	1994478	< 0.01	0.07	1	27	43	1.55	25	96	0.01	1.59	0.18	0.11	0.20
J - 40	394413	1994470	< 0.01	0.08	1	19	56	1.02	648	457	0.01	2.85	2.36	0.38	0.02
J - 41	395677	1994448	0.02	0.13	1	30	78	0.85	597	190	0.01	0.39	1.80	0.16	0.09
J - 42	395768	1994710	0.01	0.12	16	35	121	2.71	564	588	0.27	2.17	2.17	3.88	0.51
J - 43	395681	1994669	0.02	0.30	35	36	143	1.01	416	904	0.44	0.98	1.82	11.63	0.10
J - 44	396297	1994121	0.02	0.22	8	40	< 2	1.45	2752	116	0.56	0.03	0.79	44.98	0.18
J - 45	397131	1993234	< 0.01	0.34	15	42	20	1.31	1070	212	0.18	0.04	0.86	34.56	0.01
J - 46	397346	1992943	< 0.01	0.05	54	76	67	6.42	1430	46	0.06	2.57	0.27	6.80	2.81
J - 47	397642	1992765	< 0.01	0.02	2	38	4	0.96	1496	55	0.20	0.39	0.53	40.07	0.03
J - 48	397724	1992011	0.02	0.04	6	61	69	5.51	1010	12	0.02	2.57	0.09	7.84	2.70
J - 49	397724	1992011	0.02	0.24	116	42	50	4.14	591	362	1.90	1.22	1.97	12.30	1.12
K - 1	398862	1998252	0.07	0.17	14	24	59	0.93	1108	40	0.23	< 0.01	0.52	46.17	< 0.01
K - 2	394997	2010129	< 0.01	0.27	9	25	31	2.37	< 2	25	0.10	0.02	1.46	14.22	0.05
K - 3	395153	2009849	0.02	0.19	13	21	57	2.57	730	352	0.10	0.12	0.54	41.70	< 0.01
K - 4	395809	2009112	0.05	0.03	13	20	59	0.91	693	39	0.01	0.03	0.54	41.70	< 0.01
K - 5	396553	2008495	0.03	0.27	44	21	59	1.77	240	255	0.02	0.07	1.06	1.56	0.16
K - 6	397200	2007877	< 0.01	0.16	21	29	30	1.42	1591	199	0.17	0.22	1.35	36.02	0.07
K - 7	397670	2007235	0.02	0.13	15	21	19	2.08	541	160	0.01	0.12	0.70	0.21	0.10
K - 8	398347	2006671	< 0.01	0.15	18	34	120	3.34	1202	297	0.01	0.15	0.45	0.20	0.15
K - 9	398674	1997639	< 0.01	< 0.01	54	71	67	6.45	860	269	0.03	3.19	0.66	4.35	4.80
K - 10	399183	1998875	< 0.01	0.10	69	35	26	3.92	944	544	0.08	3.45	0.93	6.28	3.72
K - 11	399091	1996103	< 0.01	< 0.01	< 1	27	< 2	0.25	363	9	0.40	0.04	0.01	54.44	< 0.01
K - 12	399267	1995171	< 0.01	0.31	33	49	38	8.35	708	251	0.21	0.18	1.44	14.13	4.83
K - 13	398118	1992051	< 0.01	0.21	28	55	82	6.23	1097	520	0.01	0.79	2.79	0.21	1.27
K - 14	397985	1997772	0.03	0.18	26	54	83	4.75	1185	168	0.05	2.33	0.63	11.08	1.70
K - 15	398178	1998684	0.02	0.10	27	27	61	2.26	272	480	0.04	0.31	2.18	5.63	0.60
K - 16	397858	1993102	< 0.01	< 0.01	24	38	27	1.98	1947	258	0.19	0.91	1.12	38.70	0.24
K - 17	397594	1998567	0.04	0.22	30	55	84	4.67	1100	676	0.06	1.97	2.25	8.65	1.72
K - 18	397932	1990427	< 0.01	0.20	44	63	77	6.61	1175	41	0.12	2.45	0.02	8.00	3.42
K - 19	397932	1990427	< 0.01	0.19	57	60	75	5.25	706	323	0.04	3.14	1.10	6.88	2.26
K - 20	397997	1990763	0.04	0.18	36	39	82	6.11	1155	60	0.47	2.67	0.50	8.84	2.93
K - 21	397890	1991081	< 0.01	0.25	4	64	78	6.43	1364	335	0.11	2.07	0.94	7.29	4.61
K - 22	398014	1991367	< 0.01	0.09	77	29	66	3.71	625	300	0.07	0.18	1.43	9.28	0.09
K - 23	397361	1991551	0.01	0.01	33	53	88	5.79	900	64	0.02	2.41	0.25	4.96	2.17
K - 24	397115	1991600	< 0.01	0.12	51	70	70	7.02	1424	136	0.10	2.32	0.53	7.25	4.13
K - 25	397037	1991463	0.04	0.25	57	52	118	4.41	1541	1301	0.14	3.03	1.97	9.36	1.90
K - 26	397714	1991458	0.02	0.21	86	23	31	1.83	376	376	0.01	0.10	1.64	0.41	0.44
K - 27	398554	1992256	0.02	0.19	22	39	65	1.94	685	188	0.76	0.92	1.04	34.70	0.48
K - 28	398910	1992500	0.02	0.19	45	58	144	4.84	679	742	0.94	0.40	2.35	10.35	1.51
K - 29	399079	1992663	0.05	0.29	68	56	101	5.81	929	516	0.02	2.64	2.43	1.76	1.75
K - 30	399229	1992871	< 0.01	0.21	44	37	204	6.85	1318	345	0.20	2.60	0.73	7.80	4.13

No. de Muestra	Coordenados		Au (ppm)	Ag (ppm)	Cu (ppm)	Pb (ppm)	Zn (ppm)	Fe (%)	Mn (ppm)	Ba (ppm)	S (%)	Na (%)	K (%)	Ca (%)	Mg (%)
	X	Y													
K - 31	398551	1982944	0.02	0.04	11	27	20	0.78	933	57	0.24	0.01	0.43	51.61	< 0.01
K - 32	399731	1982894	0.02	0.23	12	31	< 2	1.17	1586	39	0.25	0.01	0.41	46.95	< 0.01

Tab.II-3-3 LISTA DE VALOR DE ESTADISTICA BASICA (1)

INVESTIGACION DETALLADO DE GEOLOGICO

Todo muestra (n=168)

	Au (ppm)	Ag (ppm)	Cu (ppm)	Pb (ppm)	Zn (ppm)	Fe (%)	Mn (ppm)	Ba (ppm)	S (%)	Na (%)	K (%)	Ca (%)	Mg (%)
minimum	<0.01	<0.01	<1	<2	<2	0.16	<2	18	<0.01	<0.01	<0.01	<0.01	<0.01
maximum	0.57	35.6	912	365	1720	31.75	1515	9531	1.3	2.98	11.88	40.71	10.83
M: medio geometrico	0.01267	0.3006	22.4586	11.6847	41.9579	2.05942	78.0861	476.008	0.02921	0.08816	0.94184	0.09206	0.31345
δ: S.D (logaritmica)	3.06648	5.03208	3.73053	3.31557	4.79208	2.64141	5.92899	3.334	3.37653	3.52003	3.89802	17.4653	4.7821

Terciario (n=12)

	Au (ppm)	Ag (ppm)	Cu (ppm)	Pb (ppm)	Zn (ppm)	Fe (%)	Mn (ppm)	Ba (ppm)	S (%)	Na (%)	K (%)	Ca (%)	Mg (%)
minimum	<0.01	<0.01	8	6	58	1.69	47	143	0.01	0.08	0.26	0.3	1.07
maximum	0.15	1.1	912	49	144	5.3	1511	1600	0.14	2.37	2.58	18.13	10.83
M: medio geometrico	0.00789	0.11808	21.7501	14.2391	80.8675	3.43891	503.301	529.302	0.03374	0.59534	1.64788	3.1716	2.89895
δ: S.D (logaritmica)	3.01399	7.85248	3.55401	1.66391	1.36942	1.41557	3.03336	2.16616	1.99042	3.33549	1.87895	2.66615	1.87441
M-δ	—	0.01504	6.11988	8.55765	59.0522	2.42934	165.922	244.35	0.01695	0.17849	0.87702	1.18958	1.5466
M+δ	0.02379	0.92726	77.3	23.6926	110.742	4.86804	1526.69	1146.56	0.06716	1.98575	3.09628	8.45598	5.43383

Filita-pizalla (Fm. Ixcatepec) (n=72)

	Au (ppm)	Ag (ppm)	Cu (ppm)	Pb (ppm)	Zn (ppm)	Fe (%)	Mn (ppm)	Ba (ppm)	S (%)	Na (%)	K (%)	Ca (%)	Mg (%)
minimum	<0.01	<0.01	<1	<2	<2	0.29	<2	22	<0.01	<0.01	0.03	<0.01	<0.01
maximum	0.57	6	662	349	1720	31.75	1458	3810	1.3	0.47	3.24	40.71	5.16
M: medio geometrico	0.01673	0.40325	39.3802	16.7125	50.751	2.59659	77.5301	412.484	0.03516	0.06333	0.99976	0.12899	0.23496
δ: S.D (logaritmica)	3.44088	3.82737	3.12916	3.18412	5.17754	2.47365	5.36049	3.01706	4.04602	3.21405	3.16262	19.3701	4.07607
M-δ	—	0.10536	12.5849	5.24871	9.80214	1.0497	14.4632	136.717	0.00869	0.01971	0.31612	0.00666	0.05764
M+δ	0.05755	1.54338	123.227	53.2145	262.765	6.42304	415.599	1244.49	0.14228	0.20356	3.16187	2.49846	0.9577

Riolita-Dacita (Fm. Ixcatepec-Roca intrusiva) (n=71)

	Au (ppm)	Ag (ppm)	Cu (ppm)	Pb (ppm)	Zn (ppm)	Fe (%)	Mn (ppm)	Ba (ppm)	S (%)	Na (%)	K (%)	Ca (%)	Mg (%)
minimum	<0.01	<0.01	<1	<2	<2	0.16	<2	20	<0.01	<0.01	<0.01	<0.01	<0.01
maximum	0.18	35.6	182	250	1540	9.08	1502	9531	0.73	2.98	11.88	17.7	6.02
M: medio geometrico	0.01077	0.28404	13.5064	7.74425	32.0849	1.53418	52.0566	539.869	0.02314	0.08823	0.8141	0.03834	0.25751
δ: S.D (logaritmica)	2.63768	5.10525	3.84243	3.1802	5.12565	2.73042	5.69425	3.65975	2.92045	3.23693	4.80173	10.3782	4.40395
M-δ	—	0.0556	3.51508	2.43515	6.25967	0.56188	9.14197	147.515	0.0082	0.02726	0.16954	0.0037	0.05847
M+δ	0.02842	1.45097	51.8976	24.6283	164.456	4.18895	296.423	1975.79	0.06526	0.28561	3.90908	0.39783	1.13406

Toba (Fm. Ixcatepec) (n=13)

	Au (ppm)	Ag (ppm)	Cu (ppm)	Pb (ppm)	Zn (ppm)	Fe (%)	Mn (ppm)	Ba (ppm)	S (%)	Na (%)	K (%)	Ca (%)	Mg (%)
minimum	<0.01	<0.01	3	<2	5	0.17	5	18	<0.01	0.05	0.02	<0.01	<0.01
maximum	0.07	1.9	70	365	203	8.71	1515	4210	0.17	0.27	9.3	17.77	7.76
M: medio geometrico	0.01021	0.19071	16.5792	12.6822	34.552	1.77452	133.207	479.726	0.03269	0.09394	0.89516	0.06483	0.58075
δ: S.D (logaritmica)	2.64073	8.63124	2.52254	4.40163	3.2488	2.93323	7.15606	4.6619	3.79533	1.71008	5.21391	28.3525	5.86294
M-δ	—	0.0221	6.57242	2.88125	10.6353	0.60497	18.6146	102.904	0.00861	0.05493	0.17169	0.00229	0.09905
M+δ	0.02697	1.64603	41.8218	55.8223	112.253	5.20507	953.237	2236.44	0.12408	0.16064	4.66728	1.83818	3.40492

Tab.II-3-3 LISTA DE VALOR DE ESTADISTICA BASICA(2)

INVESTIGACION GENERAL DE GEOLOGICO

Todo muestra (n=714)

	Au (ppm)	Ag (ppm)	Cu (ppm)	Pb (ppm)	Zn (ppm)	Fe (%)	Mn (ppm)	Ba (ppm)	S (%)	Na (%)	K (%)	Ca (%)	Mg (%)
minimum	<0.01	<0.01	<1	<2	<2	<0.01	<2	<2	<0.01	<0.01	0.01	<0.01	<0.01
maximum	0.56	54.58	299	171	600	22.35	7234	2094	1.9	4.72	5.57	54.44	12.26
M: medio geometrico	0.00435	0.1307	13.6364	21.1034	63.1661	2.53617	264.838	213.091	0.04108	0.43993	0.87472	1.55933	0.38059
δ: S.D (logaritmica)	2.53888	4.41698	4.69998	2.12909	2.89791	2.20877	4.04625	3.08428	5.22146	4.04553	3.17563	15.5468	5.99979

Terciario (n=55)

	Au (ppm)	Ag (ppm)	Cu (ppm)	Pb (ppm)	Zn (ppm)	Fe (%)	Mn (ppm)	Ba (ppm)	S (%)	Na (%)	K (%)	Ca (%)	Mg (%)
minimum	<0.01	<0.01	<1	6	<2	0.28	<2	15	<0.01	0.01	0.05	0.03	<0.01
maximum	0.04	0.65	63	71	161	6.83	1910	2094	0.44	3.45	3.1	36.93	4.8
M: medio geometrico	0.0075	0.1107	7.15951	19.4029	37.995	2.02328	235.268	279.177	0.03357	0.42829	0.89022	2.18562	0.14219
δ: S.D (logaritmica)	1.91634	3.85756	5.32274	1.7803	3.52637	2.03124	6.68649	3.18505	3.23542	4.31649	2.40865	6.50477	7.36193
M-δ	—	0.0287	1.34508	10.8987	10.7745	0.99608	35.1856	87.6522	0.01037	0.09922	0.41111	0.336	0.01931
M+δ	0.01437	0.42715	38.1082	34.543	133.984	4.10976	1573.12	889.193	0.1086	1.84872	2.38509	14.217	1.04682

Filita-pizalla (Fm. Ixcatepec) (n=338)

	Au (ppm)	Ag (ppm)	Cu (ppm)	Pb (ppm)	Zn (ppm)	Fe (%)	Mn (ppm)	Ba (ppm)	S (%)	Na (%)	K (%)	Ca (%)	Mg (%)
minimum	<0.01	<0.01	<1	<2	<2	<0.01	<2	<2	<0.01	<0.01	0.01	<0.01	<0.01
maximum	0.56	54.58	92	171	397	8.35	1783	1833	1.1	3.54	5.57	54.44	8.6
M: medio geometrico	0.01195	0.15417	17.0262	22.1694	83.4501	2.94155	185.822	315.458	0.02556	0.4507	1.354	0.60839	0.45569
δ: S.D (logaritmica)	2.67961	4.32387	3.40569	2.07059	2.64209	2.03456	3.37095	2.46311	5.06395	3.41663	2.61102	15.9878	4.81109
M-δ	—	0.0357	4.99936	10.7068	31.5849	1.44579	55.1245	128.073	0.00505	0.13191	0.51857	0.03805	0.09472
M+δ	0.03203	0.66661	57.986	45.9039	220.482	5.98475	626.398	777.005	0.12943	1.53987	3.53531	9.72677	2.19239

Caliza (Fm. Ixcatepec) (n=145)

	Au (ppm)	Ag (ppm)	Cu (ppm)	Pb (ppm)	Zn (ppm)	Fe (%)	Mn (ppm)	Ba (ppm)	S (%)	Na (%)	K (%)	Ca (%)	Mg (%)
minimum	<0.01	<0.01	<1	<2	<2	0.26	<2	7	<0.01	<0.01	0.01	<0.01	<0.01
maximum	0.06	24.63	251	79	460	8.1	7234	742	1.9	2.67	3.06	46.95	2.09
M: medio geometrico	0.01048	0.16091	7.6568	19.2097	41.3941	1.2343	386.879	73.3042	0.21812	0.18598	0.2923	18.0251	0.12337
δ: S.D (logaritmica)	2.42701	4.12938	4.83339	1.81248	3.23342	1.87525	2.82527	2.55018	2.42646	3.52086	3.02093	4.08851	5.29695
M-δ	—	0.03897	1.58398	10.5936	12.802	0.6582	136.935	28.7447	0.08989	0.05282	0.09676	4.40872	0.02329
M+δ	0.02544	0.66446	37.0121	34.8173	133.844	2.31462	1093.04	186.939	0.52927	0.65482	0.88301	73.6957	0.65348

Toba, Riolite-Dacita (Fm. Ixcatepec) (n=98)

	Au (ppm)	Ag (ppm)	Cu (ppm)	Pb (ppm)	Zn (ppm)	Fe (%)	Mn (ppm)	Ba (ppm)	S (%)	Na (%)	K (%)	Ca (%)	Mg (%)
minimum	<0.01	<0.01	<1	<2	1	0.27	<2	5	<0.01	0.02	0.11	<0.01	<0.01
maximum	0.07	1.21	299	79	255	9.47	1947	1218	0.84	4.72	4.34	38.7	6.44
M: medio geometrico	0.01221	0.10391	10.3406	19.4372	59.586	3.07237	268.508	246.701	0.02122	0.66851	1.1955	0.53839	0.50845
δ: S.D (logaritmica)	2.43264	4.33636	7.46546	2.48454	2.55218	2.04092	5.38808	2.94491	4.41049	4.30571	2.2646	15.7087	4.90607
M-δ	—	0.0240	1.38512	7.82329	23.3471	1.50538	49.8337	83.7719	0.00481	0.15526	0.52349	0.03427	0.10364
M+δ	0.0297	0.45057	77.197	48.2925	152.074	6.27046	1446.74	726.513	0.09358	2.87843	2.68469	8.45741	2.49451

Roca andesitica (Fm. Ixcatepec) (n=78)

	Au (ppm)	Ag (ppm)	Cu (ppm)	Pb (ppm)	Zn (ppm)	Fe (%)	Mn (ppm)	Ba (ppm)	S (%)	Na (%)	K (%)	Ca (%)	Mg (%)
minimum	<0.01	<0.01	<1	<2	<2	0.5	<2	12	<0.01	0.01	0.02	<0.01	0.01
maximum	0.19	0.78	173	97	600	22.35	3700	2046	0.76	4.59	4.6	13.76	12.26
M: medio geometrico	0.00996	0.06508	33.9701	23.8845	63.8419	4.68879	649.5	194.607	0.03812	1.18257	0.632	2.91823	1.96982
δ: S.D (logaritmica)	2.52884	4.89014	3.8656	2.68423	2.20096	1.78409	3.91012	3.03582	3.73965	3.71195	3.16389	6.11268	3.65138
M-δ	—	0.0133	8.78779	8.89807	29.0064	2.62812	166.108	64.1036	0.01019	0.31858	0.19975	0.47741	0.53947
M+δ	0.02519	0.31823	131.315	64.1114	140.514	8.36523	2539.62	590.792	0.14254	4.38963	1.99958	17.8382	7.19257

AREA CAMPO SECO

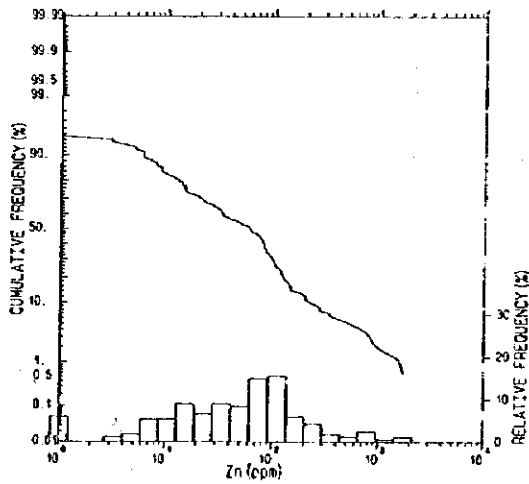
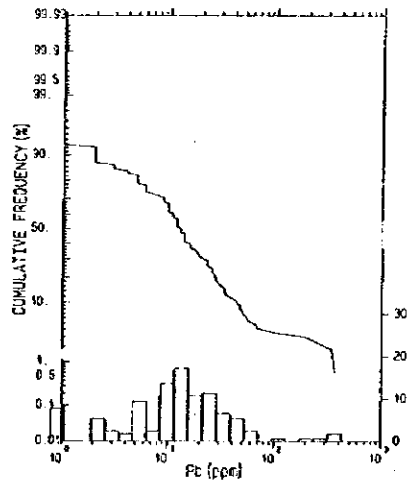
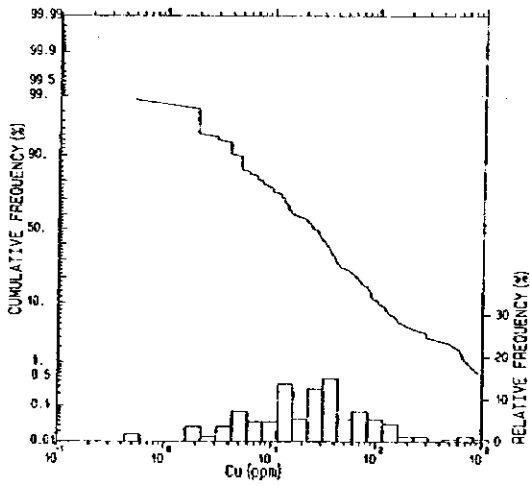
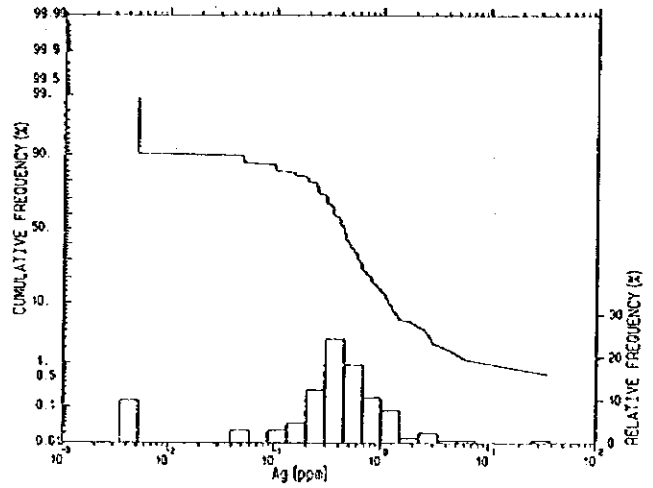
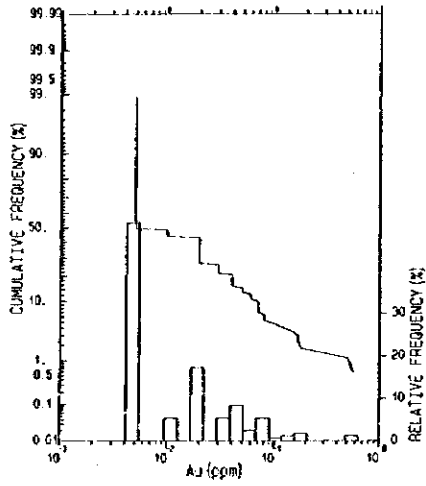
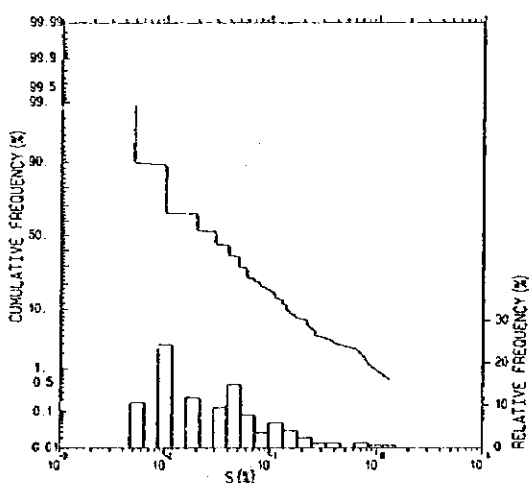
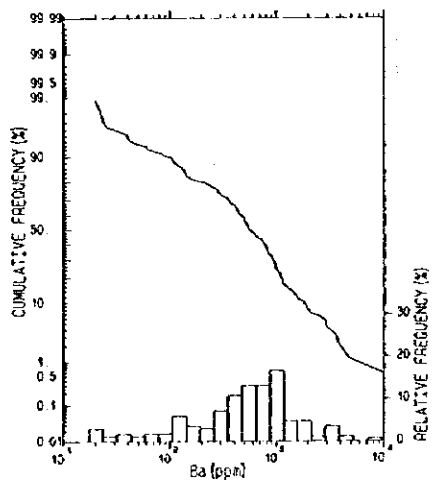
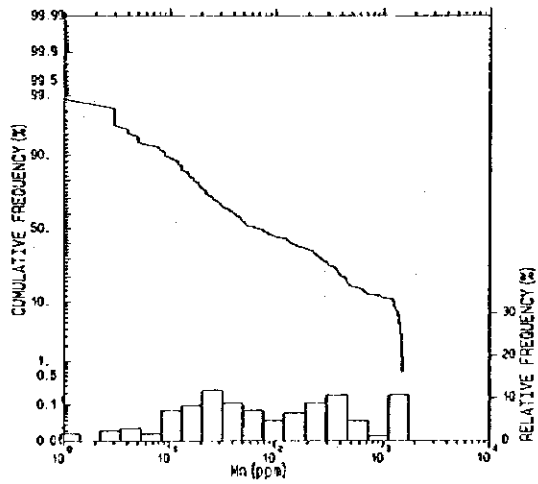
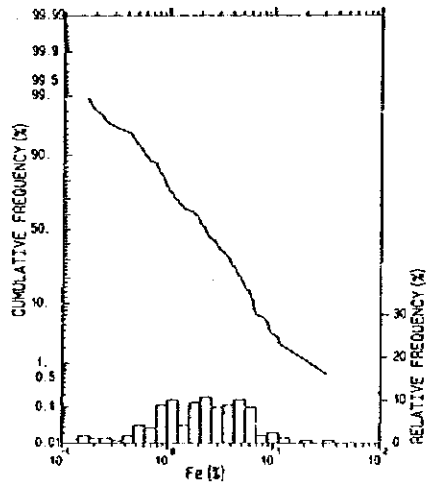
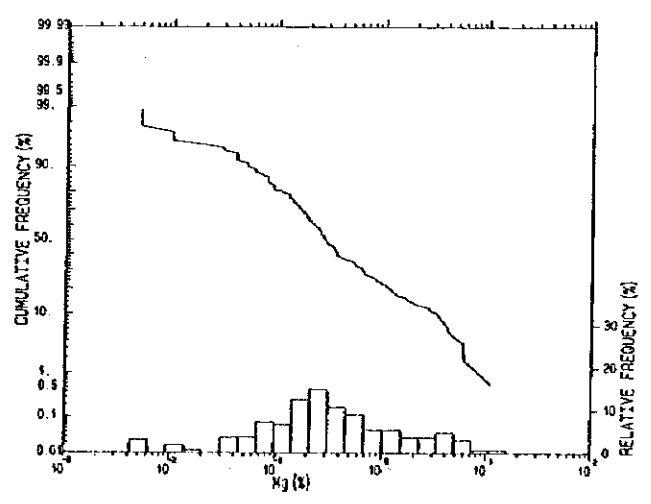
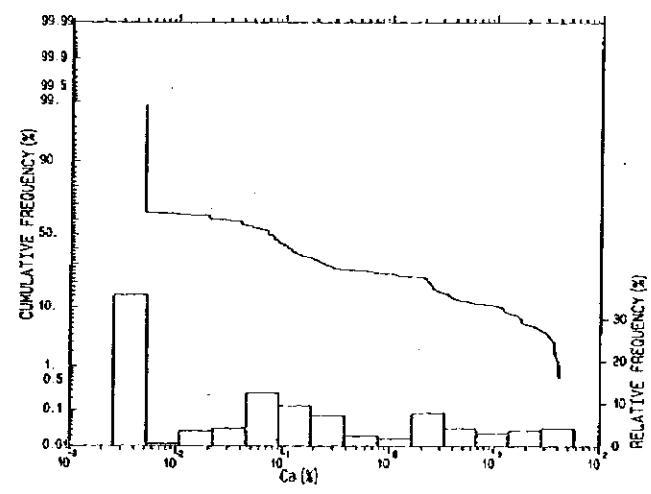
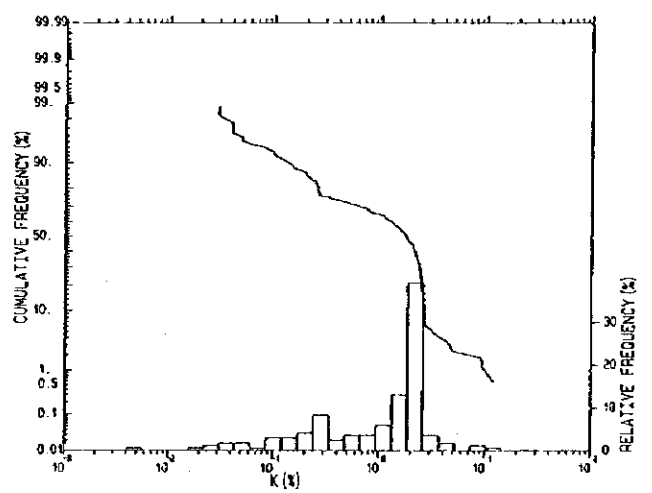
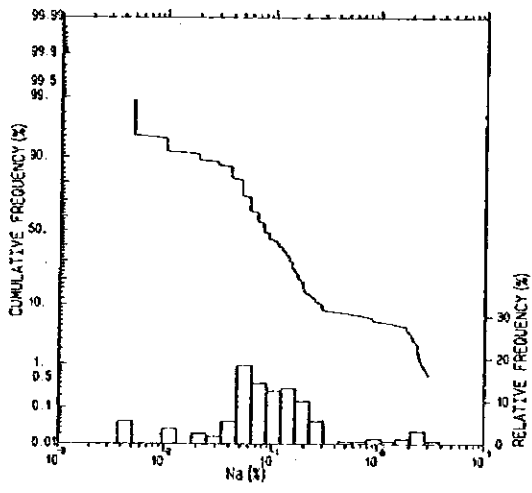


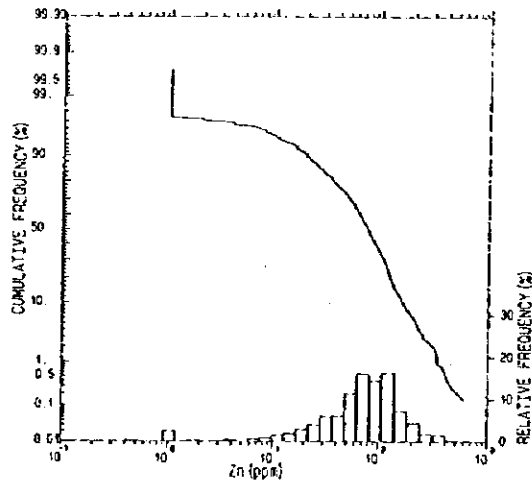
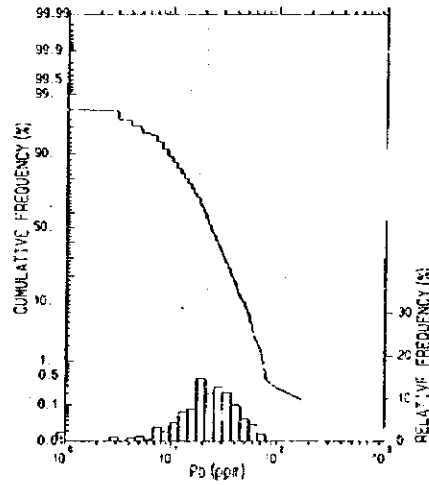
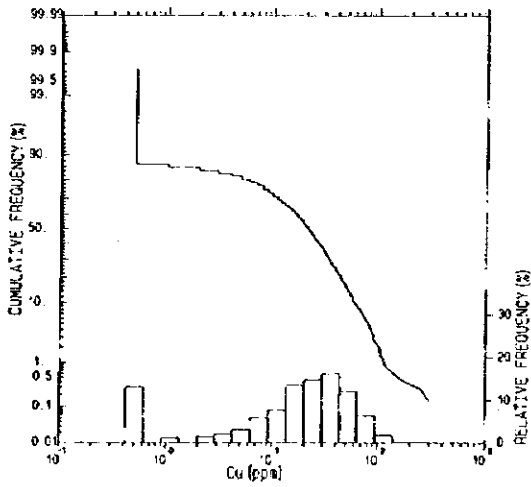
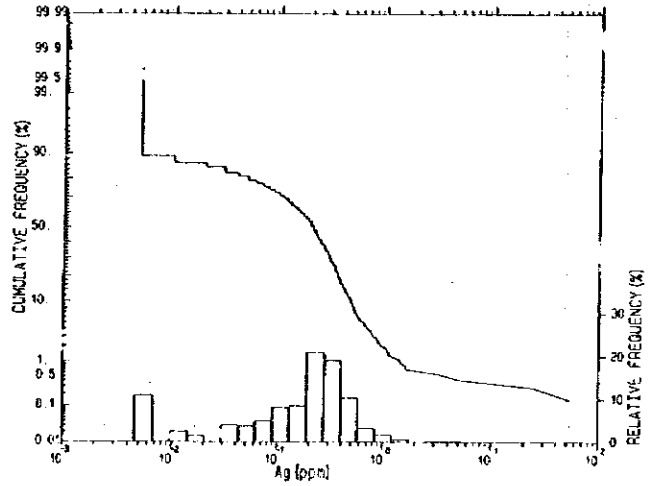
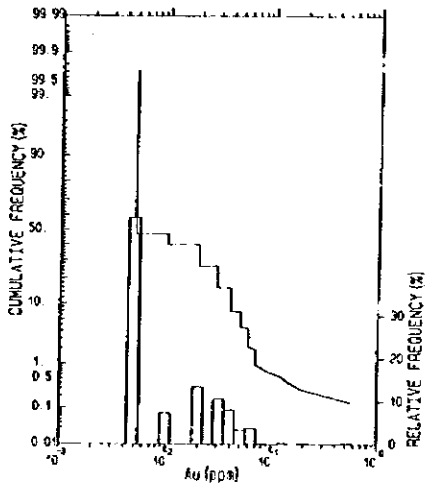
Fig. II-3-6 HISTOGRAMAS-CURVAS DE FRECUENCIA CUMULATIVA

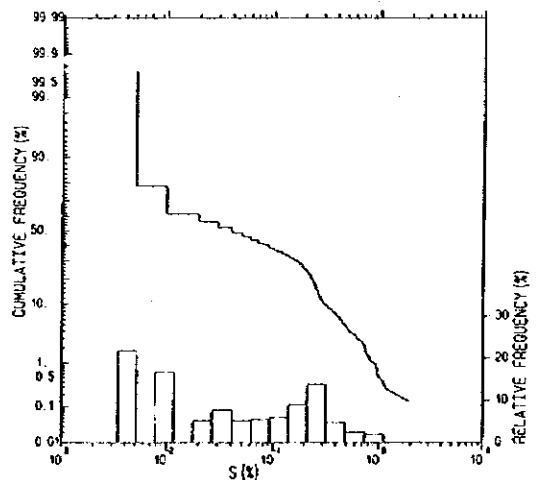
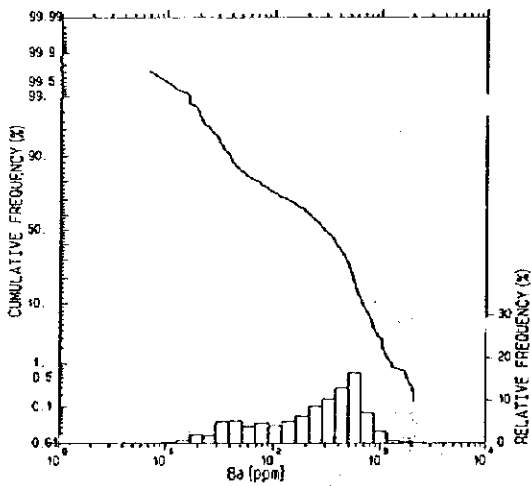
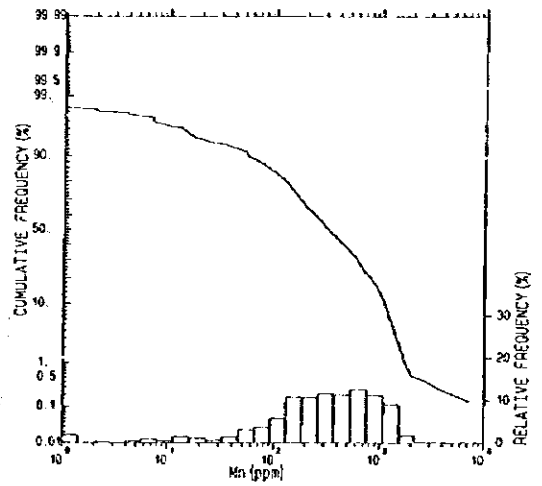
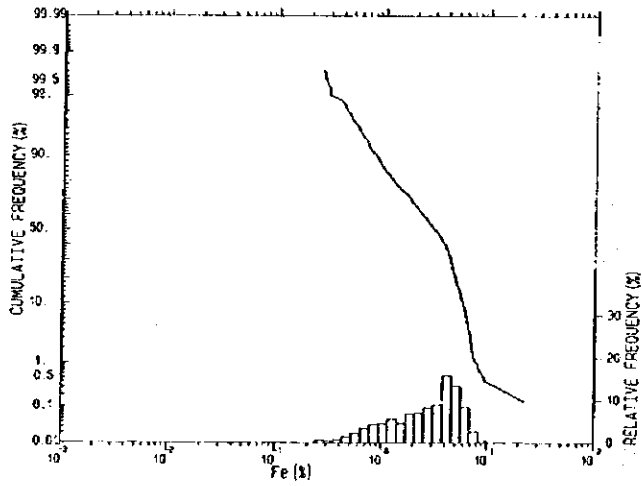


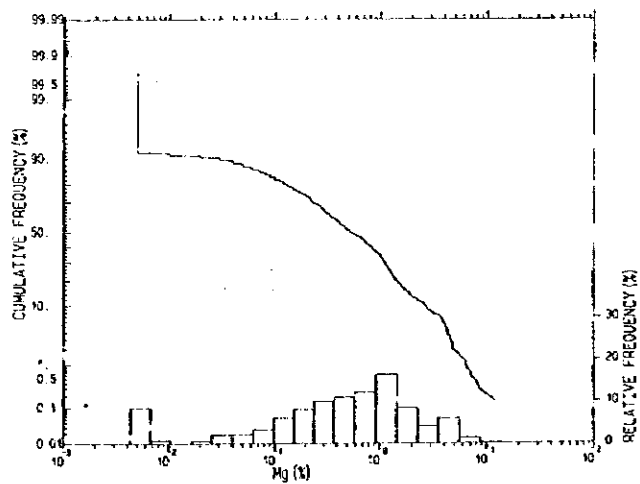
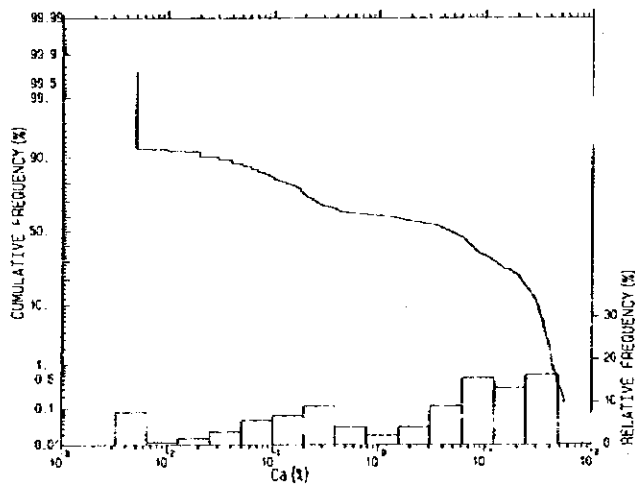
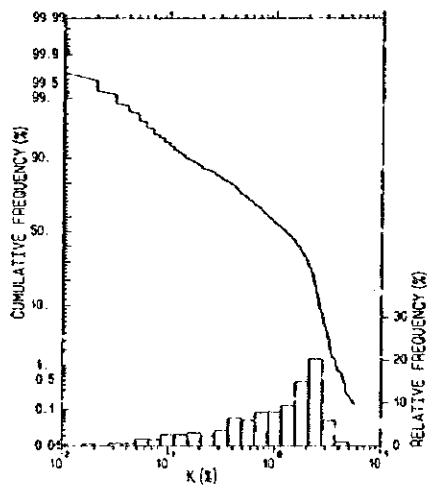
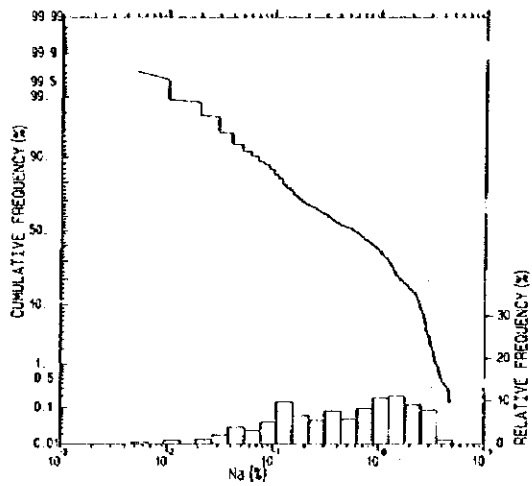




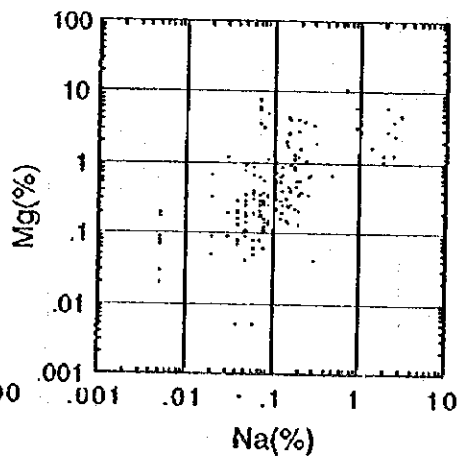
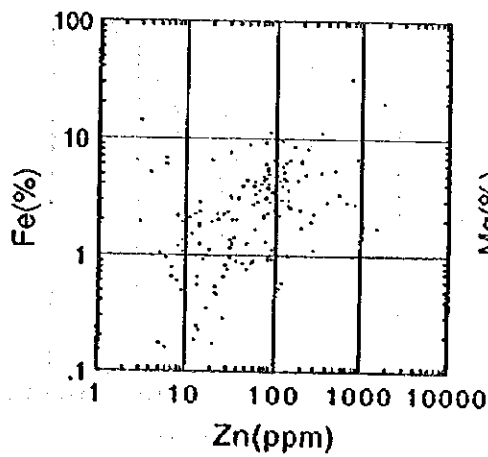
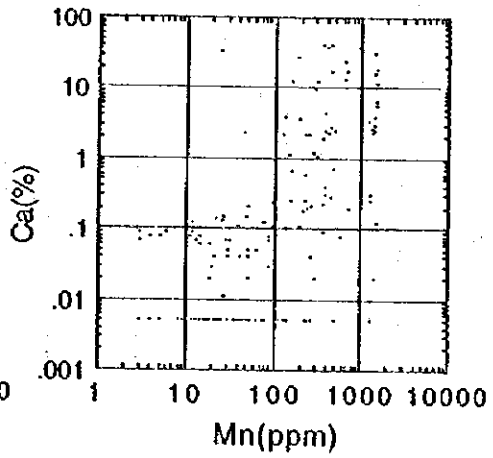
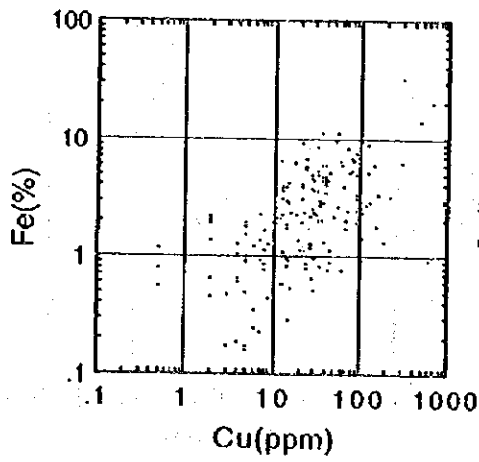
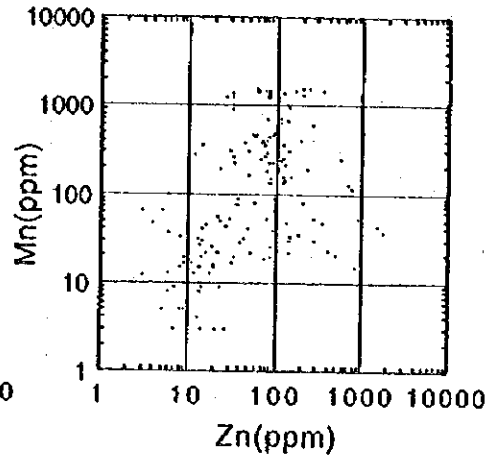
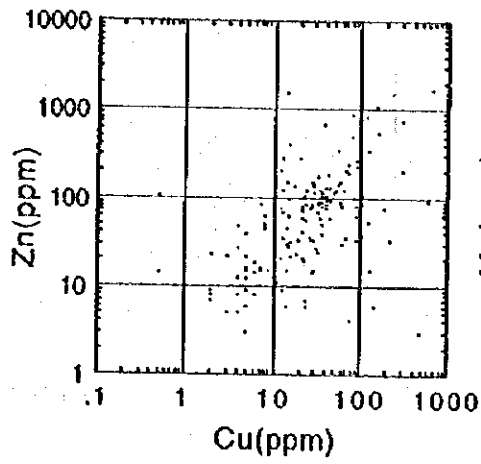
AREA IXCATEPEC + AREA APAXTLA







AREA CAMPO SECO



Tab.II-3-7. LISTA DE ANALISIS DE LOS MINERALES

AREA IXCATEPEC + AREA APAXTLA

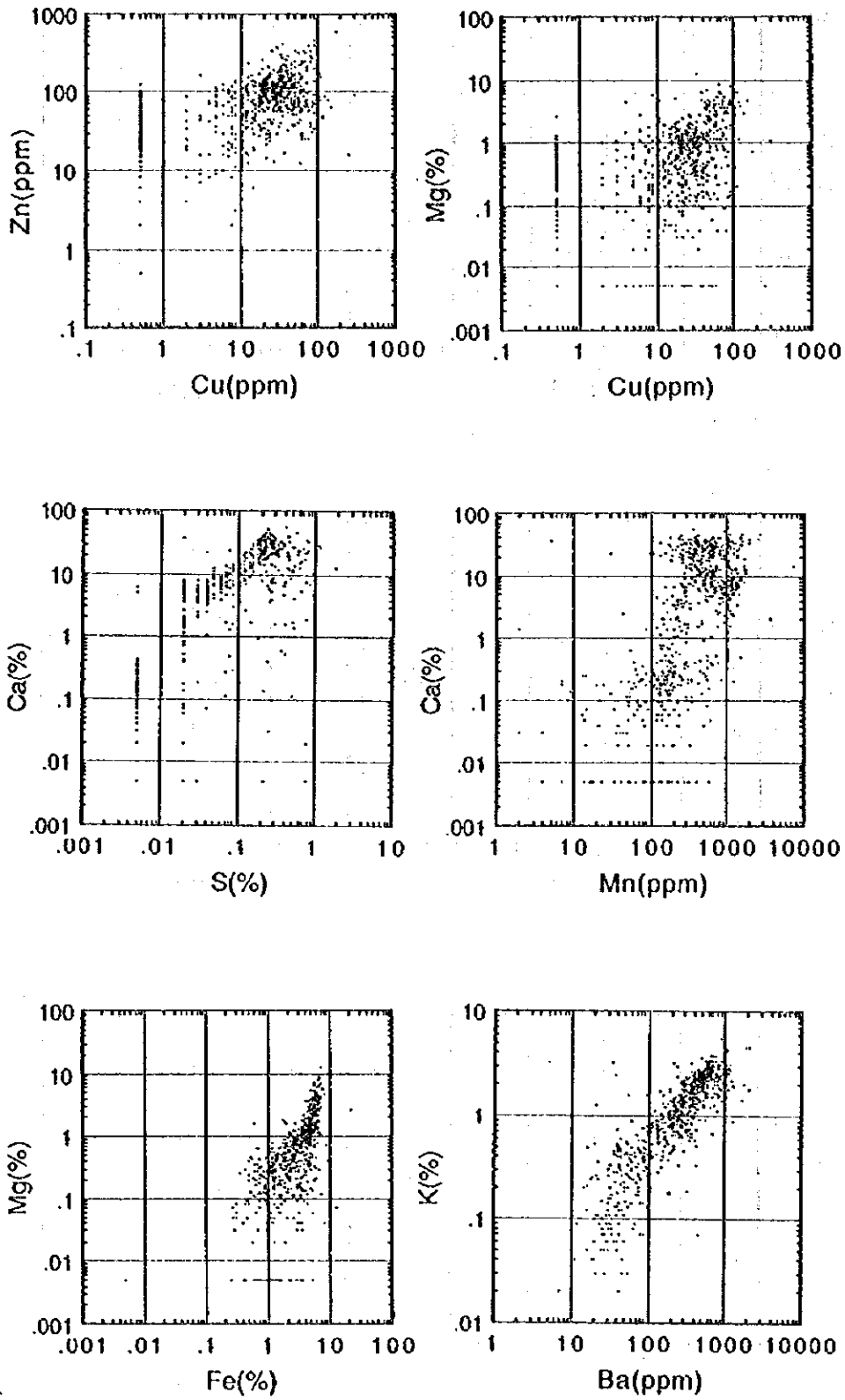
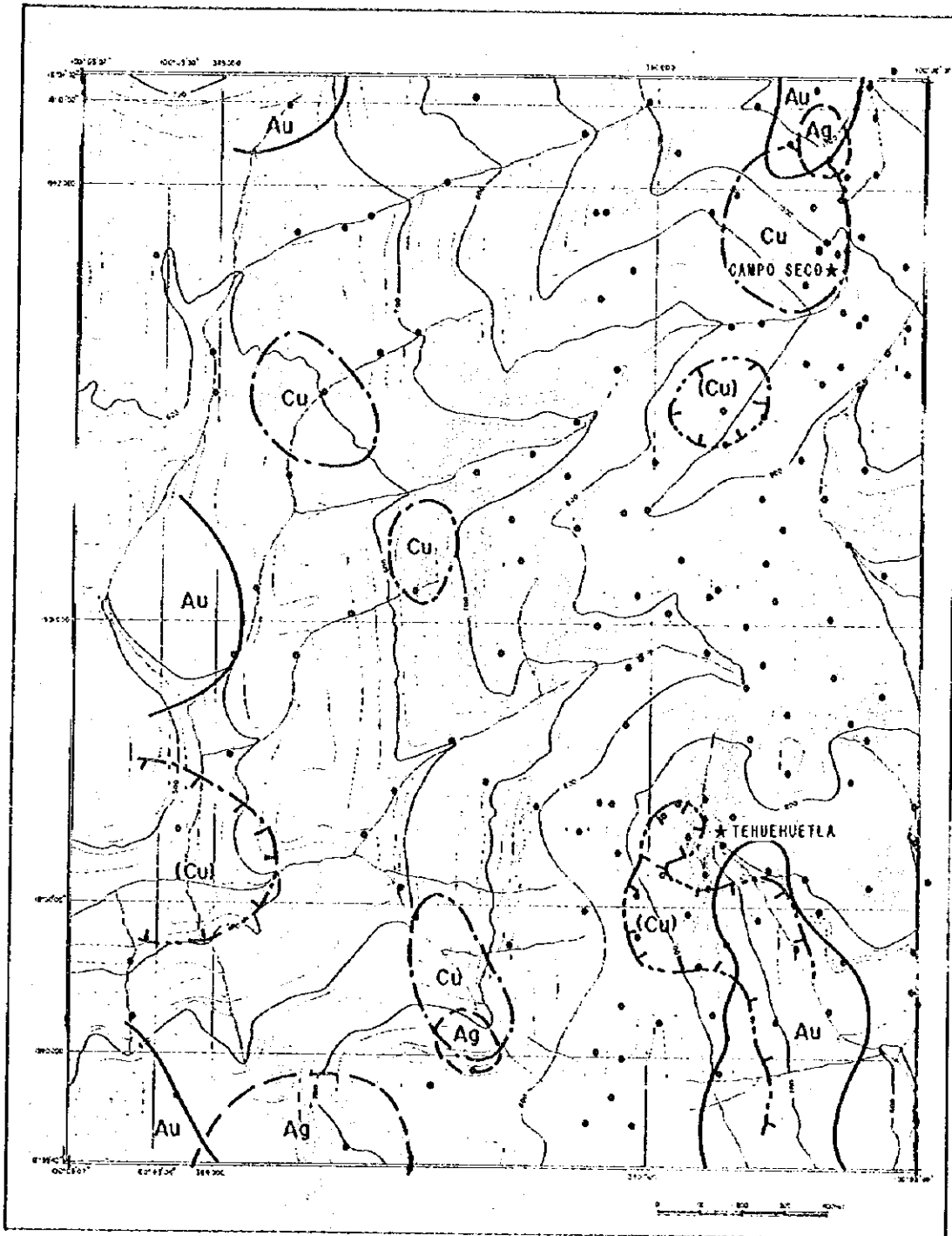


Fig.II-3-7 DIAGRAMAS DE CORRELACION







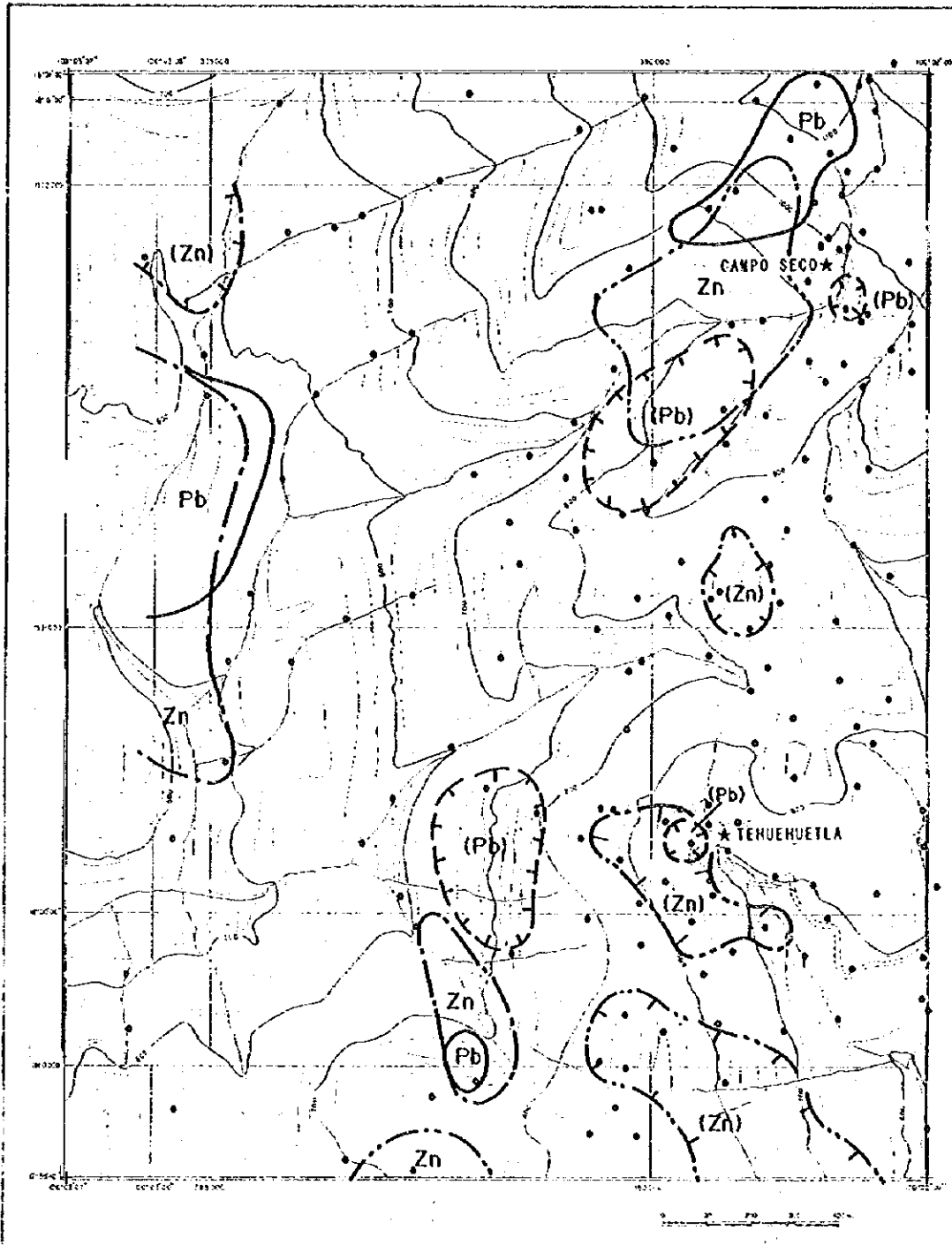
- |  |  |
|--|--|
|  Au anomalia alta |  Cu anomalia alta |
|  Ag anomalia alta |  Cu anomalia baja |

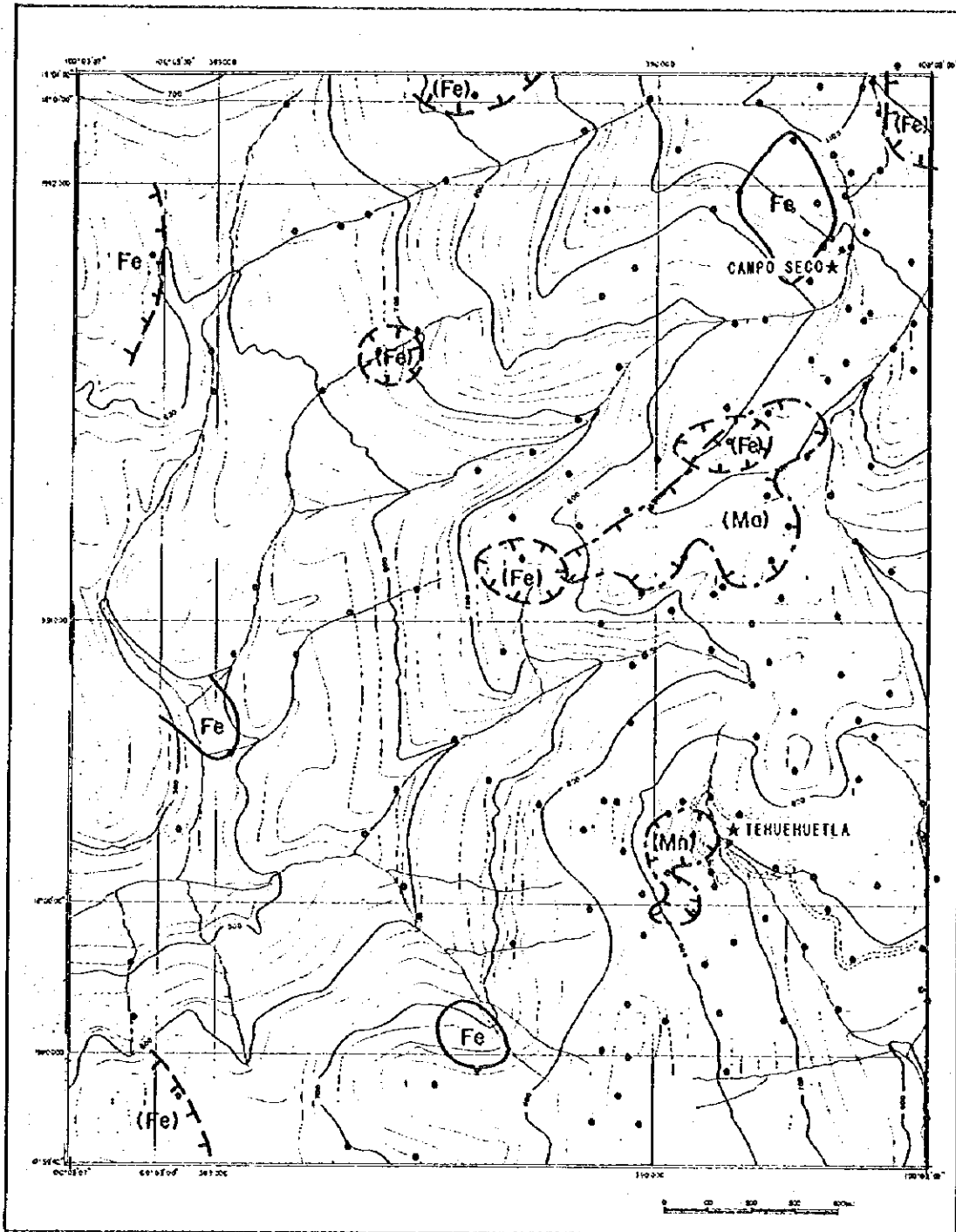
Fig.II-3-8 MAPA DE RESULTADOS DE GEOQUIMICA DEL AREA CAMPO SECO (Au,Ag,Cu)





- |  |    |          |      |  |    |          |      |
|--|----|----------|------|--|----|----------|------|
|  | Pb | anomalía | alta |  | Zn | anomalía | alta |
|  | Pb | anomalía | baja |  | Zn | anomalía | baja |

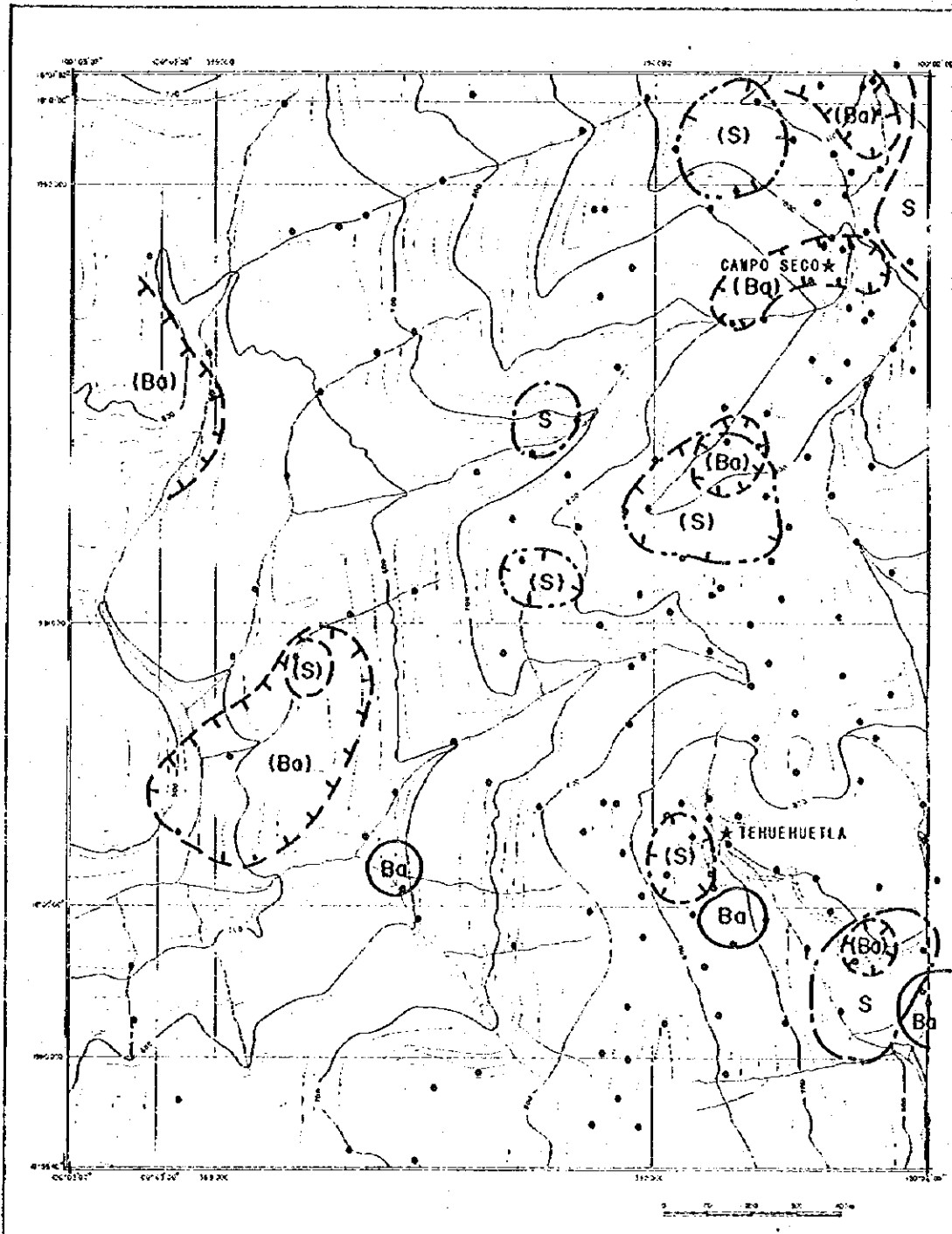
Fig.II-3-9 MAPA DE RESULTADOS DE GEOQUIMICA DEL AREA CAMPO SECO (Pb,Zn)



(Fe) Fe anomalia alta  
 (-Fe) Fe anomalia baja

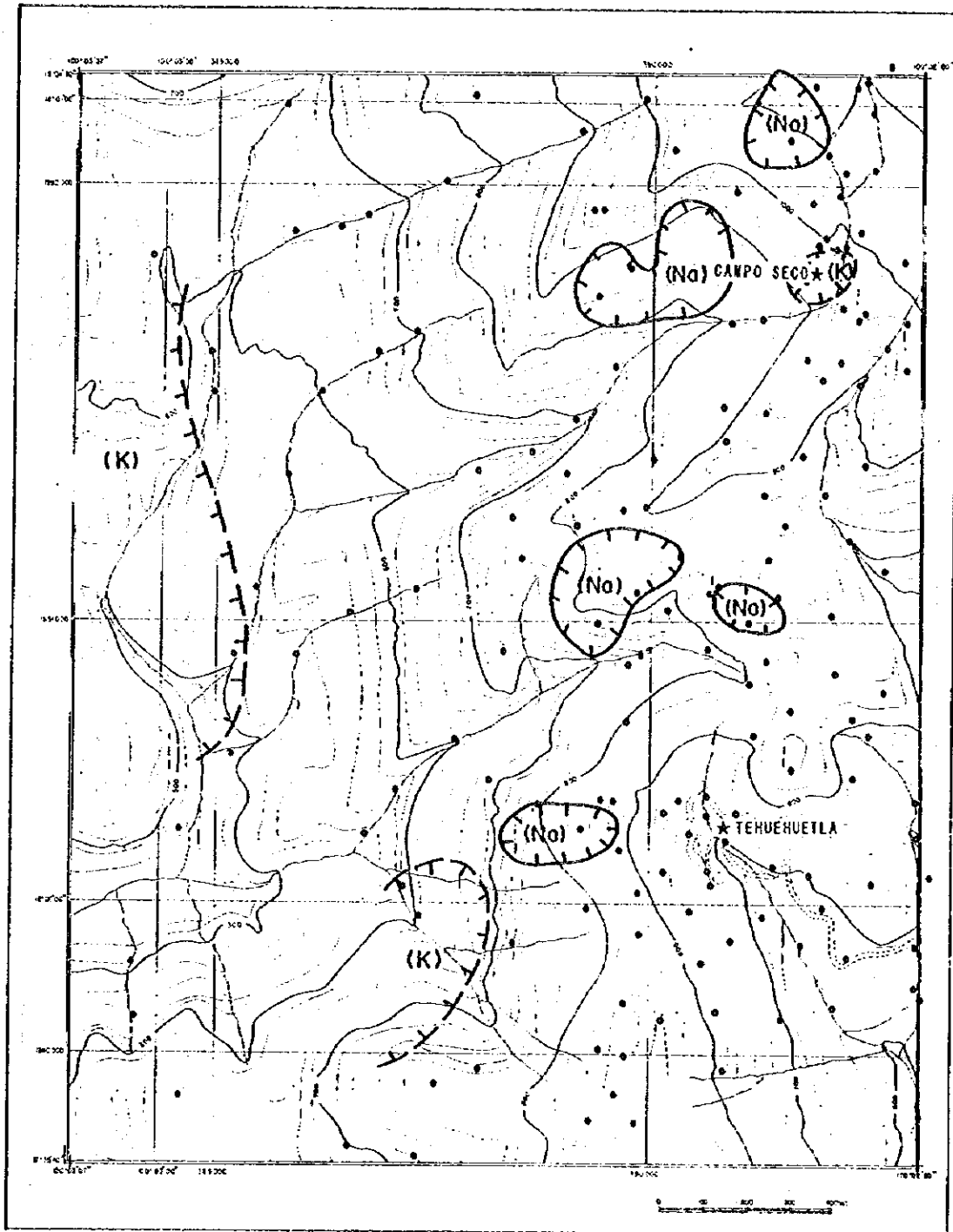
(-Mn) Mn anomalia baja

Fig.II-3-10 MAPA DE RESULTADOS DE GEOQUIMICA DEL AREA CAMPO SECO (Fe,Mn)



- |  |                  |  |                 |
|--|------------------|--|-----------------|
|  | Ba anomalia alta |  | S anomalia alta |
|  | Ba anomalia baja |  | S anomalia baja |

Fig.II-3-11 MAPA DE RESULTADOS DE GEOQUIMICA DEL AREA CAMPO SECO (Ba,S)



(Na) Na anomalía  
baja

(K) K anomalía  
baja

Fig.II-3-12 MAPA DE RESULTADOS DE GEOQUIMICA DEL AREA CAMPO SECO (Na,K)